

PENGARUH PENAMBAHAN TEPUNG IKAN LELE (*Clarias batrachus*)  
DENGAN KONSENTRASI BERBEDA TERHADAP KARAKTERISTIK EDIBLE  
*FILM BERBAHAN Eucheuma spinosum DAN Eucheuma cottonii*

SKRIPSI



PROGRAM STUDI TEKNOLOGI HASIL PERIKANAN  
JURUSAN MANAJEMEN SUMBERDAYA PERAIRAN  
FAKULTAS PERIKANAN DAN ILMU KELAUTAN  
UNIVERSITAS BRAWIJAYA  
MALANG  
2019

PENGARUH PENAMBAHAN TEPUNG IKAN LELE (*Clarias batrachus*)  
DENGAN KONSENTRASI BERBEDA TERHADAP KARAKTERISTIK EDIBLE  
*FILM* BERBAHAN *Eucheuma spinosum* DAN *Eucheuma cottonii*

**SKRIPSI**

Sebagai Salah Satu Syarat untuk Meraih Gelar Sarjana Perikanan  
di Fakultas Perikanan dan Ilmu Kelautan  
Universitas Brawijaya

Oleh :

SINTIA HANDAYANI

NIM. 125080300111017



PROGRAM STUDI TEKNOLOGI HASIL PERIKANAN  
JURUSAN MANAJEMEN SUMBERDAYA PERAIRAN  
FAKULTAS PERIKANAN DAN ILMU KELAUTAN  
UNIVERSITAS BRAWIJAYA  
MALANG  
2019

SKRIPSI

PENGARUH PENAMBAHAN TEPUNG IKAN LELE (*Clarias batrachus*)  
DENGAN KONSENTRASI BERBEDA TERHADAP KARAKTERISTIK EDIBLE  
*FILM BERBAHAN Eucheuma spinosum DAN Eucheuma cottonii*

Oleh:

SINTIA HANDAYANI

125080300111017

Telah dipertahankan di depan penguji  
pada tanggal 20 Mei 2019  
dan dinyatakan telah memenuhi syarat

Dosen Pembimbing I

Dr. Ir. Dwi Setijawati, M.Kes  
NIP. 19611022 198802 2 001

Tanggal : 12 JUL 2019

Menyetujui,

Dosen Pembimbing II

Prof. Dr. Ir. Happy Nursyam, MS  
NIP. 19600322 198601 1 001  
Tanggal : 12 JUL 2019

Mengetahui,

Ketua Jurusan

**Manajemen Sumberdaya Perairan**



Dr. Ir. Muhamad Firdaus, MP  
NIP. 19680919 200501 1 001

Tanggal: 12 JUL 2019

## IDENTITAS TIM PENGUJI

Judul : **PENGARUH PENAMBAHAN TEPUNG IKAN LELE (*Clarias batrachus*) DENGAN KONSENTRASI YANG BERBEDA TERHADAP KARAKTERISTIK KUALITAS EDIBLE FILM BERBAHAN CAMPURAN *Eucheuma.cottonii* DAN *Eucheuma spinosum***

Nama Mahasiswa : SINTIA HANDAYANI

NIM : 125080300111017

Program Studi : Teknologi Hasil Perikanan

### PENGUJI PEMBIMBING

Pembimbing 1 : Dr. Ir. DWI SETIJAWATI, M.Kes

Pembimbing 2 : Prof. Dr. Ir. HAPPY NURSYAM, MS

### PENGUJI BUKAN PEMBIMBING

Dosen penguji 1 : RAHMI NURDIANI, S.Pi,M.App.Sc,PhD

Dosen penguji 2 : Ir. SRI DAYUTI, MP

Tanggal Ujian : 20 Mei 2019

### **PERNYATAAN ORISINALITAS**

Dengan ini saya menyatakan bahwa dalam skripsi yang saya tulis dengan judul "Pengaruh Penambahan Tepung Ikan Lele (*Clarias batrachus*) dengan Konsentrasi Berbeda terhadap Karakteristik *Edible Film* Berbahan *Eucheuma spinosum* dan *Eucheuma cottonii*, benar merupakan hasil karya sendiri, dan sepanjang pengetahuan saya juga tidak terdapat karya atau pendapat yang pernah ditulis atau diterbitkan oleh orang lain kecuali yang tertulis dalam naskah ini disebutkan dalam daftar pustaka.



## UCAPAN TERIMAKASIH

Mengucap syukur kehadirat Allah SWT, karena atas limpahan rahmat dan hidayahnya Laporan Skripsi yang berjudul “Pengaruh Penambahan Tepung Ikan Lele (*Clarias batrachus*) dengan Konsentrasi Berbeda terhadap Karakteristik *Edible Film* Berbahan *Eucheuma spinosum* dan *Eucheuma cottonii*” dapat diselesaikan. Rasa hormat dan terima kasih penulis sampaikan kepada:

1. Dr. Ir. Dwi Setijawati, M. Kes. selaku Dosen Pembimbing Pertama, Prof. Dr. Ir. Happy Nursyam, MS. selaku Dosen Pembimbing Kedua yang telah memberikan semangat, doa, pengarahan dan bimbingan sejak penyusunan proposal sampai dengan selesaiya penyusunan laporan skripsi ini.
2. Kepada Ayah saya Eko Sudarsono, Ibu saya Siti Mariyam dan Adik saya Iche Egestiana Putri yang selalu memberikan do'a dan kasih sayangnya selama penyusunan laporan skripsi.
3. Serta teman-teman angkatan 2012 khususnya program studi THP yang tidak bisa saya sebutkan satu per satu, teman-teman seperguruan saya (Mbak Yulaika, Riska, Eka, Fina, Faridha, Evi dan Mbak Devy), teman teman kost D'88 (mbak Devina, mbak Lely, Tama, Dewi Kurnia, Risa, Kiki, Yana, Nia, Maritsa, Diana dan Tata) juga teman satu bimbingan saya (Iis Karyati dan Abdul Haris) yang selalu memberikan semangat untuk secepatnya menyelesaikan proposal laporan skripsi.

Laporan Skripsi ini masih perlu adanya penyempurnaan, sebagai peluang kritik dan saran dari para pembaca. Penulis berharap Laporan Skripsi ini bermanfaat dan dapat memberikan informasi bagi pihak yang membutuhkan.

Malang, 20 Mei 2019

Penulis

## RINGKASAN

**SINTIA HANDAYANI.** Laporan Skripsi dengan judul Pengaruh Penambahan Tepung Ikan Lele (*Clarias batrachus*) dengan Konsentrasi Berbeda terhadap Karakteristik *Edible Film* Berbahan *Eucheuma spinosum* dan *Eucheuma cottonii* (**Dr. Ir. Dwi Setijawati, M.Kes., dan Prof. Dr. Ir. Happy Nursyam, MS**)

---

*Eucheuma cottonii* dan *Eucheuma spinosum* merupakan jenis rumput laut yang banyak dibudidayakan di perairan Indonesia. Dua spesies rumput laut ini, mengandung senyawa karaginan (golongan hidrokoloid) yang dapat digunakan sebagai bahan dalam proses pengolahan *edible film*. *Edible film* adalah suatu produk dapat dibuat dari tiga jenis bahan yakni hidrokoloid (alginat, karaginan, pati), lipid (lilin/wax, asam lemak) dan komposit dari keduanya.. Hidrokoloid memiliki gugus hidroksi yang mampu berikatan dengan protein serta air, sehingga membentuk matriks yang kuat. Penggunaan ikan lele (*Clarias batrachus*), sebagai bahan berbasis protein dalam pengolahan *edible film* perlu dilakukan. Budidaya ikan lele telah dilakukan secara intensif di Indonesia sehingga produksi ikan lele berlimpah dan mudah didapatkan. Pemanfaatan campuran bahan berupa *Eucheuma spinosum* dan *Eucheuma cottonii* dan tepung ikan lele dalam proses pengolahan *edible film* perlu dilakukan.

Penelitian ini dilaksanakan pada bulan Januari hingga Juni 2016 dengan menggunakan metode penelitian eksperimen. Penelitian pendahuluan bertujuan untuk mengetahui gugus fungsional pada bahan dengan uji FTIR dan menentukan perbandingan konsentrasi terbaik antara spesies *Eucheuma spinosum* dan *Eucheuma cottonii* sebagai bahan *edible film*. Penelitian utama bertujuan untuk menentukan konsentrasi terbaik tepung ikan lele yang ditambahkan pada hasil penelitian pendahuluan kemudian dilakukan uji karakteristik fisik dan kimia. Data dianalisis menggunakan Rancangan Acak Lengkap (RAL) dengan 6 perlakuan dan 4 kali ulangan kemudian di uji lanjut Tukey dengan program SPSS 23.0. Penelitian dilaksanakan di Laboratorium Keamanan Hasil Perikanan, Laboratorium Perekayasaan Hasil Perikanan, Laboratorium Nutrisi Ikan Fakultas Perikanan dan Ilmu Kelautan dan Laboratorium Material Fakultas Matematika dan Ilmu Pengengetahuan Alam Universitas Brawijaya Malang.

Kombinasi Tepung Ikan Lele 2,5 %, *Eucheuma spinosum* 1,5 % dan *Eucheuma cottonii* 0,5 % pada keseluruhan campuran bahan merupakan kombinasi perbandingan bahan terbaik terhadap karakteristik fisik dan kimia *edible film*.

Semakin tinggi konsentrasi tepung ikan lele yang ditambahkan dalam campuran bahan pada proses pengolahan *edible film* akan menyebabkan nilai ketebalan cenderung semakin tinggi, nilai kuat tarik mengalai penurunan, nilai elongasi cenderung semakin menurun, nilai transmisi uap air mengalami penurunan, nilai kadar air cenderung semakin rendah dan nilai kelarutan cenderung mengalami penurunan dan kenaikan.

## KATA PENGANTAR

Dengan memanjatkan puji syukur kehadirat Allah SWT yang telah melimpahkan rahmat dan karunia-Nya sehingga penulis dapat menyajikan laporan skripsi yang berjudul Pengaruh Penambahan Tepung Ikan Lele (*Claria batrachus*) dengan Konsentrasi Yang Berbeda Terhadap Karakteristik *Edible Film* Berbahan Campuran Rumput Laut *Eucheuma cottonii* dan *Eucheuma spinosum*. Pada penulisan ini disajikan pokok-pokok bahasan yang terdiri dari pendahuluan pada bab 1, tinjauan pustaka pada bab 2, materi dan metodologi pada bab 3, hasil dan pembahasan pada bab 4, kesimpulan dan saran pada bab 5 serta lampiran. Dalam penulisan laporan ini penulis mengambil referensi dari buku, internet, artikel serta jurnal yang dapat mendukung penggeraan laporan skripsi ini. Penulis menyadari dalam penulisan dan pembuatan laporan skripsi ini tentunya ada banyak kekurangan, maka diharapkan kritik dan saran sehingga dapat menjadi lebih sempurna dan bermanfaat bagi yang membutuhkan. Semoga laporan skripsi ini dapat bermanfaat khususnya bagi penulis dan para pembaca sekalian terutama mahasiswa Fakultas Perikanan dan Ilmu Kelautan Universitas Brawijaya, untuk dijadikan sebagai tambahan wawasan.

Malang, 20 Mei 2019

Sintia Handayani

## DAFTAR ISI

	Halaman
<b>HALAMAN JUDUL.....</b>	<b>i</b>
<b>LEMBAR PENGESAHAN .....</b>	<b>iii</b>
<b>IDENTITAS TIM PENGUJI.....</b>	<b>iv</b>
<b>PERNYATAAN ORISINALITAS.....</b>	<b>v</b>
<b>UCAPAN TERIMAKASIH.....</b>	<b>vi</b>
<b>RINGKASAN .....</b>	<b>vii</b>
<b>KATA PENGANTAR .....</b>	<b>viii</b>
<b>DAFTAR ISI.....</b>	<b>ix</b>
<b>DAFTAR GAMBAR .....</b>	<b>xii</b>
<b>DAFTAR TABEL .....</b>	<b>xiii</b>
<b>DAFTAR LAMPIRAN .....</b>	<b>xiv</b>
<b>1. PENDAHULUAN</b>	
1.1 Latar Belakang .....	15
1.2 Rumusan Masalah .....	17
1.3 Tujuan Penelitian .....	17
1.4 Hipotesis Penelitian.....	17
1.5 Tempat dan Waktu Penelitian .....	17
<b>2. TINJAUAN PUSTAKA</b>	
2.1 Rumput Laut .....	19
2.1.1 Eucheuma cottonii .....	20
2.1.2 Eucheuma spinosum .....	22
2.2 <i>Edible Film</i>	
2.2.1 Definisi Edible film .....	23
2.2.2 Manfaat <i>Edible Film</i> .....	23
2.2.3 Bahan pembuatan <i>Edible Film</i> .....	24
2.2.4 Pembentukan <i>Edible Film</i> .....	25
2.2.5 Sifat Edible Film	
2.2.5.1 Ketebalan.....	26
2.2.5.2 Kuat Tarik .....	27
2.2.5.3 Elongasi.....	27
2.2.5.4 Transmisi Uap Air .....	28
2.2.5.5 Kadar Air.....	28
2.2.5.6 Kelarutan .....	29
2.2.6 Parameter kualitas <i>Edible Film</i> .....	29
2.3 Ikan Lele .....	30
2.4 Tepung Ikan.....	31
2.5 Plasticizer .....	32
<b>3. MATERI DAN METODE PENELITIAN</b>	
3.1 Materi Penelitian	
3.1.1 Alat Penelitian .....	34

3.1.2 Bahan Penelitian .....	34
<b>3.2 Metode Penelitian</b>	
3.2.1 Penelitian Pendahuluan.....	35
3.2.1.1 Rancangan Percobaan .....	35
3.2.1.2 Prosedur Penelitian Pendahuluan.....	36
3.2.2 Penelitian Utama .....	37
3.2.2.1 Perlakuan dan Rancangan Percobaan P. Utama .....	37
3.2.2.2 Rancangan Percobaan Penelitian Utama.....	39
3.2.2.3 Prosedur Penelitian Utama .....	39
3.2.2.4 Parameter Uji enelitian Utama .....	41
<b>3.3 Prosedur Analisa Parameter Uji</b>	
3.3.1 Prosedur Analisa Fisik	
3.3.1.1 Uji Kuat Tarik dan Elongasi.....	41
3.3.1.2 Uji Ketebalan .....	42
3.3.1.3 Uji Tranmisi Uap Air .....	42
3.3.1.4 Uji Kelarutan .....	43
3.3.2 Prosedur Analisa Uji Kimia	
3.3.2.1 Uji Kadar Air.....	43
3.3.2.2 Uji Kadar Abu.....	44
3.3.2.3 Uji Kadar Protein.....	45
3.3.2.4 Uji Kadar Lemak .....	46
3.3.2.5 Uji Kadar Karbohidrat.....	46
3.3.3 Uji FTIR .....	47
3.3.4 Uji Asam Amino .....	47
3.3.5 Uji SEM .....	48
<b>4. HASIL DAN PEMBAHASAN</b>	
<b>4.1 Bahan Baku</b>	
4.1.1 Rumput Laut.....	49
4.1.1.1 <i>Eucheuma spinosum</i> .....	49
4.1.1.2 <i>Eucheuma cottonii</i> .....	51
4.1.2 Tepung Ikan Lele	
4.1.2.1 FTIR Tepung Ikan Lele .....	53
4.1.2.2 Proksimat Tepung Ikan Lele.....	56
4.1.2.2.1 Analisa Kadar Air.....	56
4.1.2.2.2 Analisa Kadar Protein.....	57
4.1.2.2.3 Analisa Kadar Abu.....	58
4.1.2.2.4 Analisa Kadar Lemak .....	58
4.1.2.2.5 Analisa Kadar Karbohidrat.....	59
4.2 Analisa FTIR Campuran Bahan.....	59
4.2.1 <i>Eucheuma spinosum</i> dan <i>Eucheuma cottonii</i> .....	60
4.2.2 <i>Eucheuma spinosum</i> dan Tepung Ikan Lele .....	61
4.2.3 <i>Eucheuma cottonii</i> dan Tepung Ikan Lele .....	62
4.2.4 <i>E. spinosum</i> , <i>E.cottonii</i> dan Tepung Ikan Lele .....	63
4.3 Penelitian Pendahuluan .....	65
4.3.1 Kadar Air .....	65

4.3.2 Tranmisi Uap Air.....	67
4.3.3 Ketebalan .....	68
4.3.4 Elongasi .....	70
4.3.5 Kuat Tarik.....	71
4.4 Perlakuan Terpilih Penelitian Pendahuluan.....	72
4.5 Penelitian Utama.....	72
4.5.1 Hasil Analisa Ketebalan <i>Edible Film</i> .....	73
4.5.2 Hasil Analisa Kuat Tarik <i>Edible Film</i> .....	74
4.5.3 Hasil Analisa Elongasi <i>Edible Film</i> .....	76
4.5.4 Hasil Analisa Tranmisi Uap Air <i>Edible Film</i> .....	78
4.5.5 Hasil Analisa Kadar Air <i>Edible Film</i> .....	79
4.5.6 Hasil Analisa Kelarutan <i>Edible Film</i> .....	81
4.6 Perlakuan Terbaik Penelitian Utama .....	83
4.7 Analisa Morfologi Permukaan <i>Edible Film</i> dengan SEM.....	84
4.8 Analisis Asam Amino pada Perlakuan Terbaik .....	86
<b>5. KESIMPULAN DAN SARAN</b>	
5.1 Kesimpulan .....	88
5.2 Saran .....	89
<b>DAFTAR PUSTAKA .....</b>	90
<b>LAMPIRAN .....</b>	95

**DAFTAR GAMBAR**

<b>Gambar</b>	<b>Halaman</b>
1. <i>Eucheuma cottonii</i> .....	7
2. <i>Eucheuma spinosum</i> .....	8
3. Ikan Lele .....	16
4. Struktur Kimia Gliserol .....	19
5. Spektra hasil uji FTIR <i>Eucheuma spinosum</i> .....	46
6. Spektra hasil uji FTIR <i>Eucheuma cottoni</i> .....	48
7. Spektra hasil uji FTIR Tepung Ikan Lele .....	50
8. Spektra FTIR campuran bahan <i>E.cottonii</i> dan <i>E.spinosum</i> .....	56
9. Spektra FTIR campuran bahan <i>E.spinosum</i> dan Tepung Ikan Lele .....	57
10. Spektra FTIR <i>E.cottonii</i> dan Tepung Ikan Lele.....	58
11. Spektra FTIR <i>E.cottonii</i> , <i>E.spinosum</i> dan Tepung Ikan Lele .....	60
12. Hasil Kadar Air <i>edible film</i> .....	62
13. Hasil Tranmisi Uap air <i>edible film</i> .....	63
14. Hasil Ketebalan <i>Edible Film</i> .....	64
15. Hasil Elongasi <i>Edible Film</i> .....	66
16. Hasil Kuat Tarik <i>Edible Film</i> .....	67
17. Hasil Ketebalan <i>Edible Film PU</i> .....	69
18. Hasil Kuat Tarik <i>Edible Film PU</i> .....	71
19. Hasil Elongasi <i>Edible Film PU</i> .....	73
20. Hasil Tranmisi Uap Air <i>Edible film PU</i> .....	74
21. Hasil Kadar Air <i>Edible film PU</i> .....	76
22. Hasil Kelarutan Air <i>Edible film PU</i> .....	78
23. Mikrostruktur <i>Edible Film</i> Hasil Analisa SEM .....	81

**DAFTAR TABEL**

<b>Tabel</b>	<b>Halaman</b>
1. Kandungan unsur-unsur mikro pada rumput laut .....	16
2. Komposisi kimia rumput laut <i>Eucheuma cottonii</i> .....	17
3. Komposisi kimia rumput laut kering <i>Eucheuma spinosum</i> .....	19
4. Standar <i>edible film</i> .....	26
5. Kandungan Nutrisi dalam Tepung Ikan.....	28
6. Persyaratan Mutu Standar Tepung Ikan .....	28
7. Formulasi <i>edible film</i> berbahan <i>E. spinosum</i> dan <i>E. cottoni</i> .....	31
8. Rancangan percobaan penelitian pendahuluan .....	32
9. Formulasi <i>edible film</i> <i>E.spinosum</i> , <i>E.cottoni</i> dengan Tepung Ikan Lele.....	34
10. Rancangan percobaan penelitian utama.....	35
11. Gugus fungsi <i>Eucheuma spinosum</i> dibandingkan dengan Literatur .....	47
12. Gugus fungsi <i>Eucheuma cottonii</i> dibandingkan dengan Literatur .....	49
13. Gugus fungsi Tepung Ikan Lele dibandingkan dengan Literatur.....	51
14. Nilai Gizi Tepung Ikan Lele.....	52
15. Kesamaan Gugus Fungsi <i>Eucheuma spinosum</i> dan <i>Eucheuma cottonii</i> ....	56
16. Kesamaan Gugus Fungsi <i>Eucheuma spinosum</i> dan tepung ikan lele .....	57
17. Kesamaan Gugus Fungsi <i>Eucheuma cottonii</i> dan tepung ikan lele .....	59
18. Kesamaan Gugus Fungsi <i>E.spinosum</i> dan <i>E.cottonii</i> dan tepung.ikan lele .	60
19. Hasil uji karakteristik <i>edible film</i> pada penelitian pendahuluan .....	61
20. Hasil Analisa Karakteristik Fisik dan Kimia <i>Edible Film</i> .....	68
21. Karakteristik kimia dan fisika <i>Edible film</i> perlakuan terbaik dan standar <i>edible film</i> .....	80
22. Profil asam amino pada <i>edible film</i> berbahan <i>Eucheuma spinosum</i> , <i>Eucheuma cottonii</i> dan tepung ikan lele.....	83

**DAFTAR LAMPIRAN**

<b>Lampiran</b>	<b>Halaman</b>
1. Diagram Alir Pembuatan Tahap Awal Sol Rumput Laut Kering .....	89
2. Diagram Alir Pembuatan Tepung Ikan.....	90
3. Diagram Alir Pembuatan <i>Edible Film</i> Berbahan Campuran <i>Eucheuma cottoni</i> , <i>Eucheuma spinosum</i> dan Tepung Ikan Lele .....	91
4. Prosedur Analisa Kadar Air.....	92
5. Prosedur Analisa Protein .....	93
6. Prosedur Analisa Kadar Lemak.....	94
7. Prosedur Analisa Kadar Abu .....	95
8. Prosedur Analisa Kadar Karbohidrat.....	96
9. Prosedur Analisa Ketebalan.....	97
10. Prosedur Analisa Kuat Tarik dan Elongasi .....	98
11. Prosedur Analisa Transmisi Uap Air.....	99
12. Prosedur Analisa Kelarutan .....	100
13. Data Perhitungan Ketebalan .....	101
14. Data Perhitungan Kuat Tarik .....	105
15. Data Perhitungan Elongasi .....	109
16. Data Perhitungan Tranmisi Uap Air.....	113
17. Data Perhitungan Kadar Air .....	117
18. Data Perhitungan Kelarutan .....	121

## 1. PENDAHULUAN

### 1.1 Latar Belakang

Rumput laut atau *seaweed* secara ilmiah dikenal dengan istilah alga atau ganggang. Rumput laut termasuk salah satu anggota alga yang merupakan tumbuhan berklorofil. Dilihat dari ukurannya, rumput laut terdiri dari jenis mikroskopik dan makroskopik. Rumput laut tumbuh hampir diseluruh bagian hidrosfir sampai batas kedalaman 200 meter (Poncomulyo *et al.*, 2008). *Eucheuma cottonii* dan *Eucheuma spinosum* merupakan jenis rumput laut yang banyak dibudidayakan di perairan Indonesia. Hal tersebut dikarenakan manfaat serta teknik budidayanya yang relatif mudah dan murah. *Eucheuma cottonii* merupakan rumput laut merah (*Rhodophyta*) yang kaya akan pigmen fotosintesi dan juga pigmen yang lainnya, yaitu klorofil a, α-karoten, β-karoten, fikobilin, neozantin dan zeanthin (Wulaningrum, 2012). Sedangkan *Eucheuma spinosum* mengandung karagenan yang merupakan polisakarida, suatu senyawa hidrokoloid yang terdiri atas ester kalium, natrium dan magnesium atau kalsium sulfat dengan galaktosa dan kopolimer 3,6 anhidrogalaktosa. Pemanfaatan karagenan antara lain untuk industri makanan dan obat-obatan, yaitu sebagai stabilisator, bahan pengental dan pengemulsi (Diharmi *et al.*, 2011).

*Edible film* secara umum dapat didefinikan sebagai lapisan tipis yang dibuat dari bahan-bahan yang layak untuk dimakan seperti protein, lipida dan polisakarida yang dilapiskan pada permukaan produk makanan dengan cara pencelupan, penyemprotan dan pengemasan (Pangesti *et al.*, 2014). *Edible film* itu sendiri dapat dibuat dari tiga jenis bahan yakni hidrokoloid (alginat, karaginan, pati), lipid (lilin/wax, asam lemak) dan komposit dari keduanya (Prasetyaningrum *et al.*, 2010). Diova *et al* (2013) juga menyatakan bahwa komponen penyusun *edible film* dapat dibagi menjadi tiga macam yaitu; hidrokoloid, lipida, dan

komposit. Kualitas *edible film* menurut Syarifuddin dan Yunianta (2015) dapat diketahui dari nilai analisa kadar air dan nilai analisa kelarutan. Semakin tinggi nilai kelarutan *edible film* yang dihasilkan, maka semakin mudah produk ini untuk dikonsumsi. Karena bahan utama yang digunakan berasal dari senyawa hidrokoloid (polimer larut air) dengan kemampuan yang dapat mengental dan membentuk sistem gel encer yang terbuat dari bahan alami.

Tepung ikan merupakan sumber protein hewani yang baik dan sumber mineral terutama kalsium dan fosfor. Protein tepung ikan memiliki kualitas yang baik karena mengandung asam amino esensial (methionine dan lisin) yang sangat dibutuhkan ikan. Tepung ikan dibuat dari ikan utuh atau limbah ikan industri (Khairuman dan Khairul, 2002). Karakteristik mekanik dan penghalang (barrier) *edible film* berbasis protein umumnya lebih baik daripada film berbasis polisakarida. Protein memiliki struktur yang spesifik (memiliki 20 monomer yang berbeda) yang menganugerahkan lebih luas potensi sifat fungsionalnya, terutama ikatan antar molekul yang tinggi. Protein dapat membentuk ikatan pada posisi yang berbeda sebagai fungsi dari suhu, kelarutan, pH, dan karakteristik aditifnya (*plasticizer*, agen pengikat). Konsentrasi protein, pH, suhu, waktu, kekuatan ion, dan kehadiran aditif, mampu memodifikasi kekuatan protein-protein dan interaksi protein-air, dengan demikian mengubah sifat fungsionalnya (Riyanto, 2014).

Pemanfaatan campuran bahan berupa *Eucheuma cottonii* dan *Eucheuma spinosum* yang memiliki senyawa karaginan dan tepung ikan lele sebagai sumber protein dalam usaha pengolahan produk *edible film* saat ini belum dilakukan. Pencampuran ketiga jenis bahan baku ini, diharapkan mampu menghasilkan produk *edible film* yang berkualitas, dapat memperbaiki sifat mekanik *edible film* yang dihasilkan dan mampu menghambat laju transmisi uap air serta dapat meningkatkan masa simpan produk yang dilapisi.

## 1.2 Rumusan Masalah

Rumusan masalah dalam penelitian ini adalah apakah penggunaan tepung ikan lele dengan konsentrasi yang berbeda dapat berpengaruh terhadap kualitas *edible film* berbahan rumput laut jenis *Eucheuma spinosum* dan *Eucheuma cottonii*.

## 1.3 Tujuan Penelitian

Tujuan dari penelitian ini adalah untuk mengetahui pengaruh penambahan tepung ikan lele dengan konsentrasi yang berbeda terhadap karakteristik *edible film* berbahan *Eucheuma spinosum* dan *Eucheuma cottonii*.

## 1.4 Hipotesis

Hipotesis yang mendasari penelitian ini adalah:

H<sub>0</sub> : diduga penambahan tepung ikan lele dengan konsentrasi yang berbeda pada pembuatan *edible film* berbahan rumput laut *Eucheuma spinosum* dan *Eucheuma cottonii* tidak berpengaruh terhadap kualitas *edible film* yang dihasilkan.

H<sub>1</sub> : diduga penambahan tepung ikan lele dengan konsentrasi yang berbeda pada pembuatan *edible film* berbahan rumput laut *Eucheuma spinosum* dan *Eucheuma cottonii* berpengaruh terhadap kualitas *edible film* yang dihasilkan.

## 1.5 Waktu dan Tempat

Penelitian tentang pengaruh penambahan tepung ikan lele terhadap karakteristik *edible film* dari sol rumput laut jenis *Eucheuma sp.* dengan penambahan plasticizer gliserol dilakukan pada tanggal 18 Januari sampai dengan 30 April 2016 di Laboratorium Keamanan Hasil Pangan, Nutrisi Dan Pakan Ikani,

Penanganan Hasil Perikanan Fakultas Perikanan Dan Ilmu Kelautan, dan Laboratorium Fisika Fakultas FMIPA Universitas Brawijaya, Malang.



## 2. TINJAUAN PUSTAKA

### 2.1 Rumput Laut

Rumput laut atau seaweed secara ilmiah dikenal dengan istilah alga atau ganggang. Rumput laut termasuk salah satu anggota alga yang merupakan tumbuhan berklorofil. Dilihat dari ukurannya, rumput laut terdiri dari jenis mikroskopik dan makroskopik (Poncomulyo *et al.*, 2008). Rumput laut (sea weeds) atau yang biasa juga disebut ganggang (algae) merupakan tumbuhan berklorofil dimana seluruh bagian tanaman dapat menyerupai akar, batang, daun, atau buah semuanya disebut talus (Hudha *et al.*, 2012)

Suparmi dan Achmad (2009) mengatakan bahwa rumput laut atau seaweed merupakan salah satu tumbuhan laut yang tergolong dalam makroalga benthik yang banyak hidup melekat di dasar perairan. Rumput laut merupakan ganggang yang hidup di laut dan tergolong dalam divisi *thallophyta*. Klasifikasi rumput laut berdasarkan kandungan pigmen terdiri dari 4 kelas, yaitu rumput laut hijau (*Chlorophyta*), rumput laut merah (*Rhodophyta*), rumput laut coklat (*Phaeophyta*) dan rumput laut pirang (*Chrysophyta*).

Rumput laut adalah tanaman tingkat rendah yang tidak memiliki perbedaan susunan kerangka seperti akar, batang dan daun. Meskipun wujudnya tampak seperti ada perbedaan, tetapi sesungguhnya merupakan bentuk thalus belaka. Rumput laut termasuk dalam jenis alga. Pada umumnya, alga dapat dikelompokkan menjadi empat kelas, yaitu alga hijau (*Chlorophyceae*), alga hijau biru (*Cyanophyceae*), alga coklat (*Phaeophyceae*), dan alga merah (*Rhodophyceae*) (Winarno, 1996).

**Tabel 1.** Kandungan unsur-unsur mikro pada rumput laut.

Unsur	Kisaran kandungan dalam % berat kering	
	Ganggang coklat	Ganggang merah
<b>Chlor</b>	9,8-15,0	1,5-3,5
<b>Kalium</b>	6,4-7,8	1,0-2,2
<b>Natrium</b>	2,6-3,8	1,0-7,9
<b>Magnesium</b>	1,0-1,9	0,3-1,0
<b>Belerang</b>	0,7-2,1	0,5-1,8
<b>Silikon</b>	0,5-0,6	0,2-0,3
<b>Fosfor</b>	0,3-0,6	0,2-0,3
<b>Kalsium</b>	0,2-0,3	0,4-1,5
<b>Besi</b>	0,1-0,2	0,1-0,15
<b>Jod</b>	0,1-0,8	0,1-0,15
<b>Brom</b>	0,003-0,14	Di atas 0,005

Sumber : Winarno (1996)

### 2.1.1 *Eucheuma cottonii*

*Eucheuma cottonii* merupakan salah satu jenis rumput laut yang banyak dibudidayakan di perairan Indonesia. Hal tersebut dikarenakan manfaat dari pikokoloidnya yang besar yaitu karaginan dan agar serta teknik budidayanya yang relative mudah dan murah. *Eucheuma cottonii* merupakan rumput laut merah (*Rhodophyta*) yang kaya akan pigmen fotosintesi dan juga pigmen yang lainnya. Yaitu klorofil a, α-karoten, β-karoten, fikobilin, neozantin dan zeanthin (Wulaningrum, 2012).

*Eucheuma cottonii* sering disebut dengan *Kappaphycus alvarezii* karena rumput laut ini mengasilkan karaginan jenis kappa karaginan dan merupakan salah satu jenis rumput laut yang termasuk dalam kelas alga merah (*Rhodophyta*), klasifikasi *Kappaphycus alvarezii* menurut Atmadja et al., (1996) adalah sebagai berikut:

Kingdom	: Plantae
Divisi	: Rhodophyta
Kelas	: Rhodophyceae
Ordo	: Gigartinales
Famili	: Solieriaceae
Genus	: <i>Eucheuma</i>
Spesies	: <i>Eucheuma cottonii</i>



**Gambar 1.** *Eucheuma cottonii*

(Sumber : [www.google.com/eucheumacottonii](http://www.google.com/eucheumacottonii))

*Eucheuma cottonii* mempunyai ciri-ciri fisik membentuk thallus silindris, permukaan licin, kartilagineous, warna hijau, warna kuning, abu-abu atau merah, penampakan thallus bervariasi mulai bentuk sederhana sampai kompleks. Duri-duri pada thallus runcing memanjang, agak jarang-jarang dan tidak bersusun melingkari thallus. Percabangan ke berbagai arah dengan batang-batang utama keluar saling berdekatan ke arah basal. Tumbuh melekat ke substrat dengan alat perekat berupa cakram. Cabang-cabang pertama an kedua tumbuh membentuk rumpun yang rimbun dengan ciri khusus mengarah ke arah datangnya sinar matahari (Atmadja, 1996).

**Tabel 2.** Komposisi kimia rumput laut *Eucheuma cottonii*

Komponen	Jumlah
Protein (%)	0,7
Lemak (%)	0,2
Abu (%)	3,4
Serat pangan tidak larut (g/100g)*	58,6
Serat pangan larut (g/100g)*	10,7
Mineral Zn (mg/g)	0,01
Mineral Mg (mg/g)	2,88
Mineral Ca (mg/g)	2,80
Mineral K (mg/g)	87,10
Mineral Na (mg/g)	11,93

Sumber : santoso et al., (2003)

Keterangan \* = basis kering

### 2.1.2 *Eucheuma spinosum*

*Eucheuma spinosum* merupakan salah satu jenis rumput laut dari kelas ganggang merah (*Rhodophyceae*). Klasifikasi *Eucheuma spinosum* menurut Atmadja *et al.*, (1996) adalah sebagai berikut:

Kingdom	: Plantae
Divisi	: Rhodophyta
Kelas	: Rhodophyceae
Ordo	: Gigartinales
Famili	: Solieriaceae
Genus	: <i>Eucheuma</i>
Spesies	: <i>Eucheuma spinosum</i>



**Gambar 2.** *Eucheuma spinosum*  
(Sumber : Dokumen Pribadi)

*Eucheuma spinosum* biasa dikenal dengan nama ilmiah *Eucheuma denticulatum* dan *Eucheuma muricatum* merupakan salah satu rumput laut penghasil utama iota karaginan. *Eucheuma spinosum* mempunyai ciri fisik berbentuk thallus bulat tegak, dengan ukuran panjang 5-30 cm, transparan, warna coklat kekuningan sampai merah kekuningan. Permukaan thallus tertutup oleh tonjolan yang berbentuk seperti duri-duri runcing yang tidak beraturan, duri tersebut ada yang memanjang seolah berbentuk seperti cabang. Tanaman tegak karena percabangannya yang rimbun dapat membentuk rumpun. Percabangan thallus tumbuh pada bagian yang tua ataupun muda tidak beraturan (Atmadja, 1996).

*Eucheuma spinosum* tergolong dalam kelas alga merah (*Rhodophyceae*) berbentuk thallus silindris, permukaan licin, berwarna coklat tua, hijau-coklat, hijau kuning atau merah-ungu. Ciri khusus secara morfologis, jenis ini memiliki duri-duri yang tumbuh berderet melingkar. *Eucheuma spinosum* mengandung karagenan yang merupakan polisakarida, suatu senyawa hidrokoloid yang terdiri atas ester kalium, natrium dan magnesium atau kalsium sulfat dengan galaktosa dan kopolimer 3,6 anhidrogalaktosa. Pemanfaatan karagenan antara lain untuk industri makanan dan obat-obatan. yaitu sebagai stabilisator, bahan pengental dan pengemulsi (Diharmi *et al.*, 2011).

**Tabel 3.** Komposisi kimia rumput laut kering *Eucheuma spinosum*

Komponen	Jumlah
Air (%)	12,90
Protein kasar (%)	5,12
Lemak (%)	0,13
Karbohidrat (%)	13,38
Serat kasar (%)	1,39
Abu (%)	14,21
Kalsium (ppm)	52,85
Besi (ppm)	0,108
Tembaga (ppm)	0,768
Vitamin B1 (mg/100 g)	0,21
Vitamin B2 (mg/100 g)	2,26
Vitamin C (mg/100 g)	43,00
Karaginan (%)	65,75

Sumber: Poncomulyo (2006)

## 2.2 *Edible Film*

### 2.2.1 Definisi *Edible film*

*Edible film* merupakan lapisan tipis yang melapisi bahan pangan yang layak dikonsumsi, dan dapat terdegradasi oleh alam (Kusumawati, 2013). *Edible film* secara umum dapat didefinisikan sebagai lapisan tipis yang dibuat dari bahan-bahan yang layak untuk dimakan seperti protein, lipida dan polisakarida yang dilapiskan pada atau antara permukaan produk makanan dengan cara pencelupan, penyemprotan dan pengemasan (Pangesti *et al.*, 2014). *Edible film*

memiliki sifat dapat langsung dimakan dengan produk yang dikemas, sebagai penghambat transfer massa (misalnya kelembaban, oksigen, lemak dan zat terlarut) dan atau sebagai *carrier* bahan makanan atau aditif dan atau untuk meningkatkan penanganan makanan. *Edible film* itu sendiri dapat dibuat dari tiga jenis bahan yakni hidrokoloid (alginat, karaginan, pati), lipid (lilin/wax, asam lemak), , dan komposit dari keduanya (Prasetyaningrum, 2010)

*Edible film* ialah plastik *biodegradable* yang terbuat dari bahan organik yang berasal dari bahan-bahan terbarukan dan ekonomis yang dapat diuraikan kembali oleh mikroorganisme secara alami menjadi senyawa yang ramah lingkungan (Setiani *et al.*, 2013). Ditambahkan oleh Nurhayati dan Agusman (2011), bahwa *edible film* merupakan lapisan tipis dan kontinyu yang berupa interaksi rantai polimer serta dapat menghasilkan agregat polimer yang stabil dan lebih besar.

### **2.2.2 Manfaat *Edible Film***

*Edible film* digunakan sebagai pengemas makanan yang berfungsi untuk penghambat transfer massa (misalnya kelembapan, oksigen, lemak dan zat terlarut) dan sebagai *carrier* bahan makanan atau aditif dan untuk meningkatkan penanganan makanan (Prasetyaningrum *et al.*, 2010). Ditambahkan oleh Pangesti *et al.*, (2014) kelebihan utama *edible film* terletak pada sifat biodegradablenya, sehingga tidak menimbulkan pencemaran lingkungan seperti halnya bahan pengemas sintetik.

*Edible film* merupakan suatu kemasan primer yang ramah lingkungan yang berfungsi untuk mengemas dan melindungi pangan, dan dapat menampakkan produk pangan karena bersifat transparan, serta dapat langsung dimakan bersama produk yang dikemas karena terbuat dari bahan pangan tertentu. Selain

itu, *edible film* juga dapat berfungsi sebagai bahan pembawa senyawa-senyawa seperti zat antibakteri, antioksidan, flavor maupun zat warna (Huri dan fithri, 2014)

Dalam pembuatan *edible film* diharapkan dapat melindungi makanan dengan baik, yaitu dapat menahan transfer uap air maupun air dari bahan pangan ke lingkungan dan sebaliknya, memiliki permeabilitas terhadap gas tertentu, dan dapat mempertahankan aroma bahan pangan sehingga dapat menjaga dan meningkatkan mutu bahan pangan tersebut. Selain itu plastik yang bersifat *biodegradable* dan dapat dimakan ini diharapkan mempunyai sifat mekanis yang baik sehingga dapat berfungsi sebagai pelindung makanan terhadap pengaruh mekanik dari lingkungan (Purwanti, 2010).

### **2.2.3 Bahan Pembuatan *Edible Film***

Bahan yang digunakan sebagai pembentuk *edible film* adalah hidrokoloid, lipida dan komposit. Hidrokoloid dapat dibentuk dari senyawa polisakarida maupun protein (Dhanapal *et al.*, 2012). Hidrokoloid dapat berupa karaginan, pektin, pati, selulosa, alginat dan polisakarida. Lipida dapat berupa asilgliserol, asam lemak (asam stearat dan asam palmitat) dan lilin. Komposit merupakan bahan yang mengandung komponen hidrokoloid dan lipid (Handito, 2011).

Hidrokoloid menurut Setijawati *et al.*, (2011), dapat dihasilkan dari rumput laut jenis *Eucheuma* yakni *Eucheuma cottonii* dan *Eucheuma spinosum*. Rumput laut ini mangandung senyawa karaginan. Senyawa karaginan menurut Distantina *et al.*, (2012), merupakan polisakarida linier berupa galaktan tersulfatas yang diekstrak dari salah satu jenis rumput laut. Pemanfaatan karaginan lebih mengacu pada fungsinya (pembentuk gel, perbaikan tekstur, pengental dan pengikat air), bukan dari segi nutrisinya.

Salah satu alternatif pembuatan *edible film* dari *biopolimer* adalah menggunakan hidrokoloid dari jenis polipeptida (protein) yaitu dengan tepung ikan lele (*Clarias batrachus*).

#### **2.2.4 Pembentukan *Edible Film***

Tahapan yang harus dilakukan dalam proses pengolahan *edible film* adalah pembentukan emulsi, pencetakan bahan emulsi ke permukaan cetakan (Permukaan harus datar dan licin) dan pengeringan. Beberapa faktor yang dapat berpengaruh pada tahap pembentukan emulsi adalah jenis emulsifier, sifat-sifat fisik dan kimia bahan emulsi, ukuran partikel bahan, jenis alat pengemulsi serta jumlah dan konsentrasi emulsifier (Sari *et al.*, 2008). Suhu yang digunakan untuk mengeringkan campuran bahan *edible film* menurut Sutono dan Pranoto (2013), adalah 50 °C, selama 24 jam.

Pada tahap pembuatan emulsi, campuran bahan baku dengan konsentrasi tertentu ditambahkan aquades. Campuran bahan di aduk dan dipanaskan dengan menggunakan hot plate pada suhu 60-80 °C. Pada tahapan ini rata-rata bahan berupa rumput laut yang ditambahkan berkisar 5%, yakni 5 gram bahan yang ditambahkan aquades hingga volume keseluruhan pada wadah mencapai 100 ml (Fardhyanti dan Syara, 2015). Proses pemasakan dan struktur material bahan yang digunakan akan berpengaruh terhadap nilai transmisi uap air yang akan mempengaruhi kualitas *edible film* yang dihasilkan (Sudaryati *et al.*, 2010).

#### **2.2.5 Sifat *Edible Film***

##### **2.2.5.1 Ketebalan**

Ketebalan merupakan salah satu parameter penting yang berpengaruh terhadap penggunaan *edible film* dalam pembentukan produk yang akan dikemasnya. Ketebalan dapat mempengaruhi laju trasnsmisi uap air, gas, dan

senyawa volatile serta sifat fisik lainnya seperti kuat tarik dan pemanjangan yang dihasilkan saat pemutusan *edible film* (Sinaga *et al.*, 2013).

Ketebalan pada *edible film* diukur dengan menggunakan mikrometer, pengukuran dilakukan dengan cara menempatkan *edible film* diantara rahang mikrometer, sampel diuji dengan mengukurkan mikrometer pada lima titik yang berbeda pada permukaan *edible film*, kemudian dirata-rata untuk mendapatkan nilai ketebalan *edible film*. Micrometer yang digunakan mempunyai ketelitian 0,001 mm (Poeloengasih dan Marseno, 2003).

#### **2.2.5.2 Tensile Strength**

Kuat tarik *edible film* merupakan tarikan maksimal yang dapat dicapai sampai *edible film* tetap bertahan sebelum akhirnya sobek. Sifat kuat tarik merupakan sifat fisik yang berhubungan dengan kekuatan film untuk menahan kerusakan fisik produk pada saat pengemasan. *Edible film* dengan nilai kuat tarik yang tinggi diharapkan dapat melindungi produk dari kerusakan (Murdinah *et al.*, 2007).

Pembuatan *edible film* dari protein dapat mempengaruhi kuat tarik film tersebut, kuat tarik akan menurun karena reduksi interaksi intermolekul rantai protein sehingga matriks film yang terbentuk akan semakin sedikit. Kuat tarik *edible film* yang dihasilkan juga berbanding terbalik dengan nilai ketebalan *edible film* (Sinaga *et al.*, 2013).

#### **2.2.5.3 Elongasi**

Elongasi atau persen pemanjangan adalah nilai perubahan panjang film pada saat film ditarik. Perubahan panjang tersebut dapat dilihat pada saat film sobek saat penarikan (Murdinah *et al.*, 2007). Pemanjangan ketika putus pada saat penarikan film menunjukkan perubahan panjang film maksimum saat

memperoleh gaya tarik sampai *film* putus dibandingkan dengan panjang awalnya. Ketebalan *edible film* juga berbanding lurus terhadap pemnjangan saat pemutusan *edible film* (Sinaga *et al.*, 2013).

#### **2.2.5.4 Laju Tranmisi Uap Air**

Laju transmisi uap air atau *Water Vapour Transmission Rate (WVTR)* adalah laju transmisi uap air melalui satu unit luasan bahan dengan ketebalan tertentu dan permukaannya rata, sebagai akibat dari suatu perbedaan untu tekanan uap antara dua permukaan tertentu pada suhu dan kondisi tertentu (Krochta *et al.*, 1997 dalam Jacoeb *et al.*, 2014).

Permeabilitas uap air ialah jumlah uap air yang hilang persatuan waktu dibagi dengan luas area *edible film*. Oleh karena itu salah satu fungsi *edible film* adalah untuk menahan migrasi uap air, maka permeabilitasnya terhadap uap air harus serendah mungkin (Gontard, 1993 dalam Nugroho *et al.*, 2013)

#### **2.2.5.5 Kadar Air**

Kadar air dalam bahan pangan merupakan salah satu faktor yang mempengaruhi aktivitas enzim, mikroba, kimia, serta reaksi-reaksi non enzimatis, sehingga menimbulkan perubahan pada sifat-sifat organoleptik, penampakan, tekstur, cita rasa dan nilai gizi (Astawan dan Aviana, 2003)

Kadar air dapat menentukan karakteristik serta lama simpan suatu bahan pangan, sehingga keberadaannya dalam bahan pangan sangat penting. Komposisi air pada bahan pangan seperti air bebas dan air terikat, dapat berpengaruh pada laju dan lama pengeringan bahan pangan. Air terikat adalah air yang terdapat dalam bahan pangan. Air bebas adalah air yang secara fisik terikat dalam jaringan matriks bahan seperti membran, kapiler, dan serat (Winarno, 2002).

Pengujian kadar air dilakukan guna untuk mengetahui kandungan air dalam *edible film* yang dihasilkan. Kadar air sangat mempengaruhi *kualitas edible film* ketika disimpan maupun diaplikasikan sebagai pengemas suatu produk (Diova et al., 2013).

Pengukuran kadar air pada *edible film* adalah dengan menggunakan metode oven yang hanya dapat mengukur jumlah air bebas dalam bahan karena akan sulit untuk menguapkan air terikat pada bahan hanya dengan pemanasan suhu 105°C (Kusumawati, 2013).

#### 2.2.5.6 Kelarutan

Klarutan adalah persentase nilai klarutan *edible film* di dalam air suling dengan waktu tertentu. Nilai persentase klarutan yang tinggi menunjukkan bahwa *edible film* semakin mudah untuk dikonsumsi (Syarifuddin dan Yunianta, 2015). Jenis *plasticizer* yang digunakan akan berpengaruh terhadap nilai persentase klarutan, karena pada umumnya *plasticizer* mempunyai sifat hidrofilik yang akan membentuk interaksi yang kuat dengan air (akibat adanya ikatan hidrogen) sehingga semakin banyak konsentrasi *plasticizer* yang digunakan maka nilai persentase klarutan juga akan semakin besar (Antoniou et al., 2014). Klarutan *film* dalam air didefinisikan sebagai persentase berat kering *film* setelah perendaman dalam aquades selama 24 jam (Dick et al., 2015).

#### 2.2.6 Parameter Kualitas Edible Film

Sifat-sifat *edible film* seperti sifat mekanik dapat menentukan kualitas *edible film* yang dihasilkan. Sifat mekanik ini meliputi nilai kuat tarik (*tensile strength*) dan perpanjangan (*elongation*) serta kuat tarik. Selain sifat mekanik sifat kimia (nilai kadar air) juga mempengaruhi *film* yang diasarkan. Sifat mekanik *edible*

*film* ditentukan oleh komposisi bahan disamping proses pembuatan dan metode aplikasinya yang dapat mempengaruhi fungsi dan penampilan *edible film*. Standar *edible film* dapat dilihat pada **Tabel 4**. Dibawah ini:

**Tabel 4.** Standar *edible film*

Jenis standar <i>edible film</i>	Standar
Ketebalan maksimum	0,25 mm
Transmisi uap air maksimum	7 g/m <sup>2</sup> /hari
Tensile strength minimal	50 gf/cm <sup>2</sup> (0,005Mpa)
Perpanjangan minimal	70%

Sumber: JIS (Japanese Industrial Standard) (1975).

### 2.3 Ikan Lele

Dalam taksonomi hewan, menurut Suryaningsih (2014), ikan Lele diklasifikasikan sebagai berikut:

Regnum	: Animalia
Phylum	: Vertebrata
Superclassis	: Pisces
Classis	: Osteichthyes
Ordo	: Ostariophysi
Subordo	: Siluroidae
Familia	: Clariidae
Genus	: Clarias
Spesies	: <i>Clarias batrachus</i>



**Gambar 3.** Ikan Lele  
(Sumber: [www.google.com/ikanlele](http://www.google.com/ikanlele))

Ikan lele mempunyai bentuk badan yang berbeda dengan ikan lainnya, sehingga dapat dengan mudah dibedakan dengan jenis-jenis ikan lain. Ikan lele memiliki bentuk badan yang memanjang, berkepala pipih, tidak bersisik, memiliki empat pasang kumis yang memanjang sebagai alat peraba, dan memiliki alat pernapasan tambahan larborescent organ. Bagian depan badan ikan lele membulat, sedang bagian tengah dan belakang berbentuk pipih (Suryaningsih, 2014)

Mulut terletak pada ujung moncong (terminal) dengan dilengkapi 4 buah sungut (kumis). Mulut lele dilengkapi gigi atau hanya berupa permukaan kasar di mulut bagian depan. Di dekat sungut, terdapat alat olfaktori yang berfungsi untuk perabaan dan penciuman serta penglihatan yang kurang berfungsi dengan baik. Lele memiliki tiga buah sirip tunggal, yakni sirip punggung (dorsal), sirip ekor (caudal), dan sirip dubur (anal). Sirip punggung dan sirip dubur tersebut berfungsi untuk menjaga keseimbangan. Sirip dadanya dilengkapi dengan sirip yang keras dan runcing yang disebut patil.

#### **2.4 Tepung ikan**

Tepung ikan merupakan sumber protein hewani yang baik dan sumber mineral terutama kalsium dan fosfor. Protein tepung ikan memiliki kualitas yang baik karena mengandung asam amino esensial (methionine dan lisin) yang sangat dibutuhkan ikan. Tepung ikan dibuat dari ikan utuh atau limbah ikan industri (Khairuman dan Khairul, 2002)

Teknologi pengolahan tepung ikan didasarkan pada proses pemasakan dan pengeringan bahan mentah ikan. Terdapat dua metode utama pengolahan tepung ikan yang telah diteparkan secara komersial, yaitu pengolahan sistem kering. Proses sistem basah digunakan untuk produksi tepung ikan dengan bahan mentah ikan berlemak tinggi ( $>5\%$ ) seperti ikan lemuru. Pengolahannya meliputi pengukusan, pengepresan, pengeringan, penggilingan, hingga diperoleh tepung ikan kering. Cara kering digunakan untuk ikan-ikan yang kandungan lemaknya rendah (5%). Prosesnya meliputi: penggilingan kasar, pengeringan, pengepresan, penggilingan halus, hingga diperoleh tepung ikan yang cukup halus (Apriliana 2010).

Afrianto dan Evy (1989) mengatakan bahwa komposisi tepung ikan tidak saja tergantung pada spesies ikan yang digunakan, tetapi juga dipengaruhi oleh bentuk

dan kualitas bahan baku yang digunakan. Adapun komposisi tepung ikan adalah sebagai berikut :

**Tabel 5.** Kandungan Nutrisi dalam Tepung Ikan

Komponen Nutrisi	Jumlah (%)
Protein	60 – 75
Lemak	6 – 14
Kadar Air	4 – 12
Kadar Abu	6 – 18

Persyaratan mutu standar tepung ikan dapat dilihat pada **Tabel 6.** dibawah ini:

**Tabel 6.** Persyaratan Mutu Standar Tepung Ikan

Komposisi	Mutu I	Mutu II	Mutu III
Kadar Air (%) maksimum	10	12	12
Protein kasar (%) minimum	65	55	45
Abu (%) maksimum	1,5	2,5	3
Lemak (%) maksimum	20	25	30
Serat kasar	8	10	12
Ca (%)	2,5-5,0	2,5-6,0	2,5-7,0
P (%)	1,6-3,2	1,6-4,0	1,6-4,7
NaCl (%) maksimum	2	3	4

Sumber: SNI (1996).

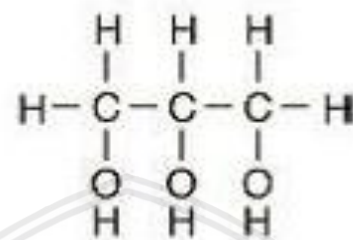
## 2.5 Plasticizer

*Edible film* yang terbuat dari protein dan polisakarida bersifat rapuh, sehingga membutuhkan plasticizer untuk meningkatkan elastisitas film. Molekul plasticizer mengurangi daya ikat rantai protein serta meningkatkan elastisitas dan fleksibilitas bahan film. Jumlah plasticizer yang ditambahkan ke dalam persiapan pembentukan film hidrokoloid bervariasi antara 10% dan 60% berat hidrokoloid. Yang paling umum digunakan sebagai plasticizer adalah: gliserol, sorbitol, poliol (propilen glikol), polietilen glikol, oligosakarida dan air (Murni,2013).

Plastisizer berfungsi untuk meningkatkan elastisitas dengan mengurangi derajat ikatan hydrogen dan meningkatkan jarak antar molekul dari polimer. Syarat

plastisizer yang digunakan sebagai zat pelembut adalah stabil (inert), yaitu tidak terdegradasi oleh panas dan cahaya, tidak merubah warna polimer dan tidak menyebabkan korosi (Akbar, 2013).

Struktur kimia gliserol dapat dilihat pada **Gambar 4**.



**Gambar 4.** Struktur kimia gliserol (Winarno 1997)

### 3. METODE PENELITIAN

#### 3.1 Materi Penelitian

##### 3.1.1 Alat

Adapun peralatan yang digunakan dalam penelitian ini dibagi menjadi dua berdasarkan proses dan tahap penelitian, yaitu proses pembuatan edible film dari rumput laut segar peralatan yang digunakan adalah beaker glass 500ml, gelas ukur 100ml, baskom, blender, pisau, nampan plastic, timbangan digital, spatula, solet, kain lap, jam dan waterbath. Sedangkan alat yang digunakan untuk proses pembuatan tepung ikan adalah pisau, nampan, baskom, oven, loyang, kompor, panci, blancu, blender, ayakan dan jam.

Peralatan yang digunakan untuk uji fisik edible film diantaranya adalah thermometer, beaker glass 500 ml, kulkas, gunting, beakerglass 25 ml, gelas ukur 10 ml, penggaris, imada force measurement tipe ZP-200N, hand micrometer, sedangkan alat yang digunakan untuk uji kimia edible film adalah botol timbang, desikator, *crushable tank*, loyang, timbangan dan oven.

##### 3.1.2 Bahan

Bahan utama yang digunakan dalam penelitian ini adalah rumput laut *eucheuma spinosum* dan *eucheuma cottonii* serta ikan Lele (*Clarias batrachus*) bahan-bahan yang digunakan dalam pembuatan *edible film* adalah rumput laut *eucheuma spinosum* dan *euchema cottoni* kering dan bersih, air, aquadest, kertas label, dan gliserol. Bahan-bahan yang digunakan untuk membuat tepung ikan lele adalah ikan lele dan air, sedangkan bahan yang digunakan untuk uji kimia dan fisika adalah silica gel, tissue dan kertas label.

### 3.2 Metode Penelitian

Metode yang digunakan dalam penelitian ini adalah metode eksperimen, yang terbagi dalam dua tahapan yaitu, penelitian pendahuluan dan penelitian utama. Penelitian eksperimen adalah penelitian yang dilakukan secara sengaja dengan memberikan perlakuan atau treatmen tertentu terhadap subjek penelitian untuk membangkitkan keadaan atau kejadian yang akan diteliti serta bagaimana akibatnya (Jaedun, 2011).

#### 3.2.1 Penelitian Pendahuluan

Penelitian pendahuluan perlu dilakukan guna mendapatkan acuan data dan hasil untuk penelitian utama, agar hasil yang diperoleh dari penelitian utama valid. Penelitian pendahuluan yang dilakukan meliputi penelitian eksperimen untuk menentukan konsentrasi bahan yang akan digunakan untuk penelitian utama. Perlakuan pada penelitian meliputi konsentrasi dari rumput laut segar jenis *Eucheuma spinosum* dan *Eucheuma cottonii*. Pada penelitian ini menggunakan satu variable yaitu variable bentuk rumput laut segar (sol) sebagai bahan dalam pembuatan *edible film*, sedangkan konsentrasi rumput laut yang digunakan adalah 2% dari keseluruhan konsentrasi bahan penyusun *Edible*. Perbandingan yang digunakan adalah A1 (*E. spinosum* 2%), A2 (*E. cottonii* 2%), A3 (*E. spinosum* 1% : *E. cottonii* 1%), A4 (*E. spinosum* 0.5% : *E. cottonii* 1.5%), A5 (*E. spinosum* 1.5% : *E. cottonii* 0.5%). Formulasi *edible film* dari sol *Eucheuma spinosum* dan *Eucheuma cottonii* dapat dilihat pada **Tabel 7.** berikut:

**Tabel 7.** Formulasi *edible film* berbahan *E. spinosum* dan *E. cottonii*

Perlakuan (perbandingan <i>Eucheuma spinosum</i> dan <i>Eucheuma cottonii</i> )	Konsentrasi	
	<i>Eucheuma spinosum</i> (%)	<i>Eucheuma cottonii</i> (%)
A1	2	0
A2	0	2
A3	1	1
A4	0.5	1.5
A5	1.5	0.5

\*formulasi lain : Plasticizer 1% dan Aquades 97%

### 3.2.1.1 Rancangan Percobaan

Rancangan penelitian pendahuluan ini menggunakan rancangan acak lengkap (RAL) terhadap perbandingan konsentrasi bahan yang digunakan dengan 100% total keseluruhan bahan dalam pembuatan *Edible* yang berpengaruh terhadap kualitas *Edible film* sehingga menghasilkan konsentrasi yang terbaik.

Desain rancangan percobaan untuk penelitian pendahuluan dapat dilihat pada **Tabel 8**. Dibawah ini:

**Tabel 8.** Rancangan percobaan penelitian pendahuluan

<b>Perlakuan</b>	<b>Ulangan</b>				
	1	2	3	4	5
A1	A1.1	A1.2	A1.3	A1.4	A1.5
A2	A2.1	A2.2	A2.3	A2.4	A2.5
A3	A3.1	A3.2	A3.3	A3.4	A3.5
A4	A4.1	A4.2	A4.3	A4.4	A4.5
A5	A5.1	A5.2	A5.3	A5.4	A5.5

Keterangan:

A1 : perbandingan *E. spinosum* 2 (2%) : *E. cottonii* 0 (0%)

A2 : perbandingan *E. spinosum* 0 (0%) : *E. cottonii* 2 (2%)

A3 : Perbandingan *E. spinosum* 1 (1%) : *E. cottonii* 1 (1%)

A4 : Perbandingan *E. spinosum* 0,5 (0.5%) : *E. cottonii* 1,5 (1.5%)

A5 : Perbandingan *E. spinosum* 1,5 (1.5%) : *E. cottonii* 0,5 (0.5%)

Penentuan banyaknya ulangan yang dipakai pada penelitian pendahuluan adalah sebagai berikut:

$$Y_{ij} = \mu + \alpha_i + \epsilon_{ij}$$

Keterangan:

$Y_{ij}$  : nilai pengamatan pada perlakuan ke-*i*, ulangan ke-*j*

$\mu$  : rataan umum

$\alpha_i$  : pengaruh perlakuan ke-*i*

$\epsilon_{ij}$  : galat pada perlakuan ke-*i*, ulangan ke-*j*

Penentuan ulangan adalah sebagai berikut:

$t(n-1) \geq 15$  dengan  $t$  = jumlah perlakuan  $n$  = jumlah ulangan

$5(n-1) \geq 15$

$5n-5 \geq 15$

$5n \geq 20$

$n \geq 4$

### 3.2.1.2 Prosedur Penelitian Pendahuluan

Prosedur kerja penelitian pendahuluan adalah pembuatan sol rumput laut *E. spinosum* dan *E. cottonii* didasarkan pada metode penelitian Hardoko (2008) yang telah dimodifikasi yaitu, pertama rumput laut *E. spinosum* dan *E. cottonii* dari petani dicuci bersih dengan air mengalir untuk menghilangkan pasir, lumut dan kotoran lain yang menempel pada rumput laut dengan menggunakan sikat gigi. Setelah itu rumput laut yang sudah bersih dijemur di bawah sinar matahari sampai kering untuk mengurangi kadar air pada bahan. Dilanjutkan dengan perendaman 2 gram rumput laut dalam 97 ml aquades selama 8 – 24 jam, hingga tekstur rumput laut dapat dipatahkan dengan jari, kemudian ditambahkan gliserol sebagai *plasticizer* sebanyak 1 ml dan diblender hingga halus. Selanjutnya dapanaskan dalam *waterbath* dengan suhu 80°C selama 30 menit hingga membentuk sol rumput laut. Kemudian sol rumput laut dituang dalam nampan plastik lalu dikeringkan dalam oven dengan suhu 50 – 60°C selama lebih kurang 24 jam hingga berbentuk lembaran. Setelah 24 jam akan terbentuk *lembaran edible film*, kemudian diangkat dan dilakukan pengujian.

### 3.2.2 Penelitian Utama

Penelitian utama ini dilakukan dengan tujuan untuk mengetahui perbandingan konsentrasi bahan yang digunakan dengan tepung ikan lele yang berpengaruh terhadap kualitas *edible film* dari rumput laut segar, sehingga didapatkan perbandingan konsentrasi yang optimum dalam pembuatan *edible film*.

#### 3.2.2.1 Perlakuan Dan Rancangan Percobaan Penelitian Utama

Perlakuan terbaik dari hasil penelitian pendahuluan digunakan sebagai acuan dalam penelitian utama, dengan kombinasi perlakuan penambahan tepung

ikan lele. Faktor perlakuan yang digunakan dalam penelitian utama ini adalah perbandingan konsentrasi bahan dengan tepung ikan lele sebanyak A1 (0,5%), A2 (1%), A3 (1,5%), A4 (2%), A5 (2,5) dan A6 (3%) dengan penambahan gliserol 1% dari 100% keseluruhan total bahan penyusun *edible film*. Formulasi *edible film* berbahan rumput laut *Eucheuma spinosum* dan *Eucheuma cottonii* dengan penambahan tepung ikan lele dapat dilihat pada **Tabel 9** dibawah ini:

**Tabel 9.** Formulasi *edible film* berbahan rumput laut *Eucheuma spinosum* dan *Eucheuma cottonii* dengan penambahan tepung ikan lele.

Perlakuan	Konsentrasi Padatan		Tepung Ikan Lele
	Rumput Laut <i>E. spinosum</i>	<i>E. cottonii</i>	
A1	1,5	0,5	0,5
A2	1,5	0,5	1
A3	1,5	0,5	1,5
A4	1,5	0,5	2
A5	1,5	0,5	2,5
A6	1,5	0,5	3

Berdasarkan perlakuan yang digunakan, maka penelitian ini dapat dirancang menggunakan rancangan acak lengkap (RAL) dengan perlakuan perbandingan konsentrasi dilakukan dalam lima kali ulangan. Model matematik untuk RAL adalah sebagai berikut:

$$Y_{ij} = \mu + \alpha_i + \epsilon_{ij}$$

Keterangan:

$Y_{ij}$  : nilai pengamatan pada perlakuan ke-*i*, ulangan ke-*j*

$\mu$  : rataan umum

$\alpha_i$  : pengaruh perlakuan ke-*i*

$\epsilon_{ij}$  : galat pada perlakuan ke-*i*, ulangan ke-*j*

Penentuan ulangan adalah sebagai berikut:

$$t(n-1) \geq 15$$

dengan  $t$  = jumlah perlakuan  $n$  = jumlah ulangan

$$6(n-1) \geq 15$$

$$6n-6 \geq 15$$

$$6n \geq 21$$

$$n \geq 3,5 \approx 4$$

### 3.2.2.2 Rancangan Percobaan Penelitian Utama

Desain rancangan percobaan pada penelitian utama yang akan dilakukan dapat dilihat pada **Tabel 10**.

**Tabel 10.** Rancangan percobaan penelitian utama

<b>Perlakuan</b>	<b>Ulangan</b>			
	1	2	3	4
<b>A1</b>	A1.1	A1.2	A1.3	A1.4
<b>A2</b>	A2.1	A2.2	A2.3	A2.4
<b>A3</b>	A3.1	A3.2	A3.3	A3.4
<b>A4</b>	A4.1	A4.2	A4.3	A4.4
<b>A5</b>	A5.1	A5.2	A5.3	A5.4
<b>A6</b>	A6.1	A6.2	A6.3	A6.4

Keterangan:

- |                      |   |
|----------------------|---|
| A1 (1,5 : 0,5 : 0,5) | : <i>E. spinosum</i> 1,5% : <i>E. cottonii</i> 0,5%: tepung lele 0,5% |
| A2 (1,5 : 0,5 : 1)   | : <i>E. spinosum</i> 1,5% : <i>E. cottonii</i> 0,5%: tepung lele 1%   |
| A3 (1,5 : 0,5 : 1,5) | : <i>E. spinosum</i> 1,5%: <i>E. cottonii</i> 0,5%: tepung lele 1,5%  |
| A4 (1,5 : 0,5 : 2)   | : <i>E. spinosum</i> 1,5%: <i>E. cottonii</i> 0,5%: tepung lele 2%    |
| A5 (1,5 : 0,5 : 2,5) | : <i>E. spinosum</i> 1,5%: <i>E. cottonii</i> 0,5%: tepung lele 2,5%  |
| A6 (1,5 : 0,5 : 3)   | : <i>E. spinosum</i> 1,5%: <i>E. cottonii</i> 0,5%: tepung lele 3%    |

### 3.2.2.3 Prosedur Penelitian Utama

Langkah kerja dalam penelitian utama terdiri dalam beberapa tahapan, diantara adalah:

#### 1). Pembuatan tepung ikan lele

Prosedur pembuatan tepung ikan menurut Pang *et al.*, (2013), melewati beberapa tahapan, pertama proses penghilangan duri dan pemisahan daging dengan tulang, duri dan kulit pada ikan lele. Kemudian pengecilan ukuran atau pelumatan pada daging dengan menggunakan cooper, setelah itu dilakukan pengukusan. Pengukusan ikan bertujuan untuk mengkoagulasi (menggumpalkan) protein dan mempermudah pemisahan air dan minyak. Selama pengukusan kandungan minyak pada ikan telah keluar. Pengukusan dilakukan pada daging ikan yang telah lembut, pengukusan dilakukan selama ± 1 jam, setelah pengukusan dilakukan pengeringan pada oven dengan suhu 105°C selama ± 45

menit untuk mengurangi kadar air pada bahan, kemudian *pressing* atau pemerasan bertujuan untuk memisahkan sebagian besar air dan minyak. Daging ikan yang telah direbus diperas menggunakan kain blancu, namun pemerasan tidak perlu dilakukan untuk bahan yang mengandung sedikit minyak, kemudian dilakukan pengeringan, pengeringan ialah proses pengeluaran air atau pemisahan air dalam jumlah yang relatif kecil dari bahan dengan menggunakan energi panas. Pengeringan dilakukan dengan oven pada suhu  $105^{\circ}\text{C}$  selama  $\pm 60$  menit, kemudian penggilingan yang bertujuan untuk menghancurkan gumpalan-gumpalan daging. Proses terakhir adalah pengayakan, pengayakan merupakan pemisahan berbagai campuran partikel padatan yang mempunyai berbagai ukuran bahan dengan menggunakan ayakan berukuran  $\pm 100$  mesh.

## 2). Prosedur pembuatan *edible film*

Prosedur dalam pembuatan *edible film* dari sol rumput laut segar didasarkan pada metode penelitian Irfandi (2014), yang telah dimodifikasi yaitu, Rumput laut kering ditimbang sebanyak konsentrasi (*E. spinosum* 1,5% : *E. cottonii* 0,5%), kemudian direndam dalam aquades sebanyak lebih kurang 94 mL selama  $\pm 24$  jam sampai tekstur rumput laut dapat dipatahkan dengan jari. Kemudian diblender dan ditambahkan gliserol sebanyak 1 mL dan tepung ikan lele sesuai konsentrasi (A1= 0,5%; A2= 1%; A3= 1,5%; A4= 2%; A5= 2,5%; A6= 3%) dan diblender kembali untuk menghomogenkan campuran bahan. Kemudian dipanaskan pada *waterbath* dengan suhu  $80\text{-}90^{\circ}\text{C}$  selama 30 menit. Kemudian sol dituang dalam nampang plastik dan diratakan, lalu dikeringkan dengan oven pada suhu  $50\text{-}55^{\circ}\text{C}$  selama 24 jam hingga membentuk lembaran tipis *edible film*, kemudian diangkat dan dilakukan pengujian.

### 3.2.2.4 Parameter Uji Penelitian Utama

Parameter uji yang dilakukan pada penelitian utama meliputi parameter fisik dari *edible film* yang meliputi uji kuat tarik/*tensile strength* dan elongasi (Setiani *et al.*, 2013), ketebalan (Warkoyo *et al.*, 2014), laju transmisi uap air (*American Standard Testing and Material*, 1980), dan kelarutan (Dick *et al.*, 2015), serta parameter kimia yaitu uji proksimat (*Association of Analytical Communities*, 2005), FTIR (Anam *et al.*, 2007), analisa asam amino (*Association of Analytical Communities*, 2005), Uji SEM (Setiani *et al.*, 2013) pada perlakuan terbaik.

## 3.3 Prosedur Analisa Parameter Uji

### 3.3.2 Prosedur Analisa Fisika

#### 3.3.2.1 Uji *Tensile Strength* dan Elongasi (Setiani *et al.*, 2013)

Pengujian kuat tarik atau *tensile strength* dilakukan dengan cara ujung sampel dijepit dengan menggunakan mesin penguji *tensile*. Selanjutnya dicatat nilai ketebalan dan panjang awal sampel. Kemudian tekan tombol *start* pada komputer, alat akan menarik sampel dengan kecepatan 100 mm/menit sampai sampel putus. Nilai kuat tarik didapatkan dari hasil pembagian tegangan maksimum dengan luas penampang melintang. Luas penampang melintang didapatkan dari hasil perkalian panjang awal sampel dengan ketebalan awal sampel. Rumus untuk menghitung kuat tarik dan elongasi adalah sebagai berikut:

$$\pi = \frac{F_{\max}}{A}$$

Keterangan:  $\pi$  : Kuat tarik (Mpa)  
 $F_{\max}$ : Tegangan maksimum (N)  
 $A$  : luas penampang melintang ( $\text{mm}^2$ )

Pengukuran elongasi dilakukan dengan cara yang sama seperti pada pengukuran kuat tarik, namun perpanjangan atau elongasi dinyatakan dalam persentase, dengan rumus:

$$\text{Elongasi (\%)} = \frac{\text{Regangan saat putus (mm)}}{\text{Panjang awal (mm)}} \times 100\%$$

### 3.3.2.2 Pengukuran Ketebalan (Warkoyo et al., 2014)

Pengukuran ketebalan pada *edible film* dilakukan dengan menggunakan mikrometer manual (mitutoyo, japan) dengan ketelitian 0,001 mm. pengukuran ketebalan dilakukan pada beberapa titik yang berbeda untuk mendapatkan ketelitian kemudian dirata-rata untuk mendapatkan hasil nilai ketebalan.

### 3.3.2.3 Pengujian Laju Transmisi Uap Air (*American Standard Testing and Material*, 1980)

Sebelum melakukan pengujian sampel *film* dipotong sesuai ukuran, kemudian potongan *film* direkatkan pada wadah pertama yang berisi 5,2 ml aquades (1/4 tinggi wadah), lalu wadah yang sudah berisi aquades dan telah tertutup *film* ditempatkan pada wadah kedua yang berisi silica gel untuk mengendalikan kelembapan. Sebelum itu, silica gel dikeringkan pada suhu 180°C selama 3 jam. Lalu wadahnya disimpan pada suhu 25°C. pengukuran dilakukan setelah penyimpanan pada jam ke 24. Laju transmisi uap air dihitung dengan rumus:

$$WVP = \frac{\Delta W}{t \times A}$$

Keterangan: W : perubahan berat *edible film* setelah 24 jam

t : waktu (24 jam)

A : luas area permukaan *film* (m<sup>2</sup>)

### 3.3.1.4 Kelarutan (Dick et al., 2015)

Kelarutan film didefinisikan sebagai persentase *film* kering setelah perendaman dalam aquades selama 24 jam. *Film* kering hasil dari uji kadar air

ditimbang sebagai berat kering awal ( $W_i$ ), kemudian dicelupkan ke dalam 30 mL aquades pada suhu 25°C selama 24 jam, lalu dilanjutkan dengan *centrifuge* pada kecepatan 150 rpm selama 10 menit. Kemudian residu (padatan tak larut) dikeringkan dalam oven dengan suhu 105°C selama 24 jam kemudian ditimbang beratnya ( $W_f$ ). Persen kelarutan dapat dihitung dengan rumus berikut:

$$WS (\%) = \frac{Wi - Wf}{Wi} \times 100$$

### 3.3.2 Prosedur Analisa Kimia

#### 3.3.2.1 Pengujian Kadar Air (Association of Analytical Communities, 2005)

Metode yang digunakan dalam analisis kadar air ialah metode oven, dengan menguapkan kandungan air ( $H_2O$ ) bebas yang terdapat dalam sampel. Selanjutnya sampel ditimbang hingga didapatkan bobot yang konstan, diasumsikan kandungan air bebas dalam sampel sudah teruapkan. Selisih berat sebelum dan sesudah pengeringan merupakan banyaknya kandungan air yang diuapkan. Prosedur uji analisis kadar air ialah, cawan dioven terlebih dahulu selama 30 menit pada suhu 100-105°C, kemudian didinginkan dalam desikator untuk menghilangkan uap air dan ditimbang sebagai berat A. sampel ditimbang sebanyak 2 gram kemudian diletakkan dalam cawan yang sudah dikeringkan lalu ditimbang sebagai berat B, kemudian dioven pada suhu 100-105°C selama 6 jam, kemudian didinginkan dalam desikator untuk menghilangkan uap air selama 30 menit dan ditimbang sebagai berat C. kadar air dapat dihitung dengan rumus:

$$\text{Kadar air (\%)} = \frac{B-C}{B-A} \times 100 \%$$

Keterangan:

- A : berat cawan kosong setelah dioven (g)
- B : berat cawan dan sampel sebelum dioven (g)
- C : berat cawan dan sampel setelah dioven (g)

### **3.3.2.2 Pengujian Kadar Abu (*Association of Analytical Communities, 2005*)**

Kadar abu dianalisa dengan metode oven. Prinsipnya ialah pengabuan atau pembakaran bahan-bahan organik yang diuraikan menjadi karbondioksida ( $\text{CO}_2$ ) dan air ( $\text{H}_2\text{O}$ ), namun bahan-bahan anorganik tidak terbakar, zat inilah yang disebut abu. Prosedur uji kadar abu ialah: cawan dioven terlebih dahulu selama 30 menit dengan suhu  $100\text{-}105^\circ\text{C}$ , kemudian dimasukkan dalam desikator selama 30 menit untuk menghilangkan uap air dan ditimbang sebagai berat A. kemudian sampel ditimbang sebanyak 2 gram dan dimasukkan dalam cawan dan ditimbang sebagai berat B, selanjutnya cawan yang berisi sampel dibakar diatas tungku pembakar sampai tidak lagi mengeluarkan asap, setelah itu dilakukan pengabuan di dalam tanur bersuhu  $550\text{-}600^\circ\text{C}$  sampai pengabuan sempurna. Kemudian sampel dari tanur dikeluarkan dan dimasukkan dalam desikator kemudian ditimbang sebagai berat C. Kadar abu dapat dihitung dengan rumus:

$$\text{Kadar abu (\%)} = \frac{\text{C-A}}{\text{B-A}} \times 100 \%$$

Keterangan:

- A : berat cawan kosong (g)
- B : berat cawan dan sampel sebelum pengabuan (g)
- C : berat sampel dan cawan setelah pengabuan (g)

### **3.3.2.3 Pengujian Kadar Protein (*Association of Analytical Communities, 2005*)**

Metode yang digunakan dalam Analisis protein ialah metode *kjeldhal*. Prinsipnya ialah oksidasi bahan berkarbon dan konversi nitrogen menjadi ammonia oleh asam sulfat, kemudian ammonia akan bereaksi dengan kelebihan asam membentuk ammonium sulfat yang akan diuraikan dan dijadikan basa oleh NaOH. Ammonia yang diuapkan akan diikat dengan asam borat. Nitrogen yang terkandung dalam larutan ditentukan jumlahnya dengan titrasi menggunakan larutan asam.

Prosedur analisis protein ialah sebagai berikut: sampel ditimbang sebanyak 0,1-0,5 g, kemudian dimasukkan dalam labu kjeldhall 100 mL, dan ditambahkan dengan  $\frac{1}{4}$  tablet kjeldhal, kemudian diDestruksi (pemanasan dalam keadaan mendidih) sampai larutan menjadi hijau jernih dan SO<sub>2</sub> hilang. Larutan dibiarkan dingin dan dipindahkan ke labu 50 mL dan diencerkan dengan aquades sampai tanda tera, dimasukkan ke dalam alat destilasi, ditambahkan dengan 5-10 mL NaOH 30-33% dan dilakukan destilasi. Destilat ditampung dalam larutan 10 mL asam borat 3% dan beberapa tetes indicator (larutan *bromcresol green* 0,1% dan larutan metil merah 0,1% dalam alcohol 95% secara terpisah dan dicampurkan antara 10 mL *bromcresol green* dengan 2 mL metil merah) kemudian dititrasi dengan larutan HCl 0,02 N sampai larutan berubah warnanya menjadi merah muda. Kadar protein dihitung dengan rumus:

$$\text{Protein (\%)} = \frac{(V_a - V_b) \text{ HCl} \times N \text{ HCl} \times 14,007 \times 6,25}{W \times 1000} \times 100\%$$

Dengan:

- V<sub>a</sub> : ml HCl untuk titrasi sampel
- V<sub>b</sub> : ml HCl untuk titrasi blanko
- N : normalitas HCl standar yang digunakan
- 14,007 : berat atom Nitrogen
- 6,25 : faktor konversi protein untuk ikan
- W : berat sampel (g)

Kadar protein dinyatakan dalam g/100 g sampel (%)

### 3.3.2.4 Pengujian Kadar Lemak (*Association of Analytical Communities, 2005*)

Analisis kadar lemak menggunakan metode sokhlet. Dengan prinsip ekstraksi lemak dalam sampel dengan pelarut lemak non polar. Prosedur analisis kadar lemak sebagai berikut: labu lemak dioven selama 30 menit pada suhu 100-105°C, kemudian didingankan dalam desikator untuk menghilangkan uap air dan ditimbang sebagai berat A. sampel ditimbang sebanyak 2 gram sebagai berat B

lalu dibungkus dengan kertas saring, dan ditutup dengan kapas lalu dimasukkan dalam alat ekstraksi sokhlet yang telah dihubungkan dengan labu lemak. Pelarut heksan dituangkan pada sampel hingga terendam dan dilakukan refluks atau ekstraksi lemak selama 5-6 jam sampai pelarut yang turun dalam labu lemak berwarna jernih. Pelarut lemak yang telah digunakan, disuling dan ditampung setelah itu ekstrak lemak yang ada dalam labu lemak dikeringkan dalam oven bersuhu 100-105°C selama 1 jam, lalu labu lemak didinginkan dalam desikator dan ditimbang sebagai berat C. kadar lemak dapat dihitung dengan rumus:

$$\% \text{ lemak total} = \frac{(C-A)}{B} \times 100\%$$

Keterangan:

- A : berat labu alas bulat (g)
- B : berat sampel (g)
- C : berat labu alas bulat + lemak hasil ekstraksi (g)

### 3.3.2.5 Pengujian Karbohidrat (Standar Nasional Indonesia, 1992)

Pengukuran kadar karbohidrat total dalam sampel dihitung berdasarkan perhitungan (dalam %) yang ditentukan dengan metode *by difference* yaitu dengan perhitungan melibatkan kadar air, kadar abu, kadar protein dan kadar lemak. Perhitungan %karbohidrat ialah sebagai berikut:

$$\% \text{karbohidrat} = 100\% - \% (\text{protein} + \text{lemak} + \text{abu} + \text{air}).$$

### 3.3.3 Uji FTIR (Anam et al., 2007)

FTIR (*Fourier Transform Infrared*) merupakan salah satu metode spektroskopi inframerah untuk analisa hasil spektrumnya dan dilengkapi dengan transformasi fourier. Metode spektroskopi yang digunakan adalah metode absorpsi. Metode absorpsi ialah metode spektroskopi yang didasarkan pada perbedaan penyerapan radiasi inframerah. Dua syarat yang harus dipenuhi dalam absorpsi inframerah oleh suatu materi, yaitu kesesuaian frekuensi radiasi

inframerah dengan *frekuensi fibrasional* molekul sampel serta perubahan momen dipol selama berfibrasi.

Inti spektroskopi FTIR ialah interferometer Michelson, alat untuk menganalisis frekuensi dalam sinyal gabungannya. Spektrum inframerah tersebut dihasilkan dari pentrasmision cahaya yang melewati sampel, pengukuran intensitas cahaya dengan detektor dan dibandingkan dengan intensitas tanpa sampel untuk fungsi panjang gelombang. Spektrum inframerah yang dihasilkan kemudian diplot untuk intensitas fungsi energi bilangan gelombang ( $\text{cm}^{-1}$ ) atau panjang gelombang ( $\mu\text{m}$ ).

Analisa gugus fungsi dengan FTIR pada bahan-bahan *edible film* dilakukan dengan, sampel ditempatkan ke dalam *set holder*, kemudian dicari spektrum yang sesuai. Hasilnya akan didapatkan difraktogram hubungan antara bilangan gelombang dengan intensitas. Spektrum FTIR direkam menggunakan spektrometer pada suhu ruang.

### **3.3.4 Analisa Asam Amino (*Association of Analytical Communities, 2005*)**

Analisa asam amino menggunakan HPLC (*High Performance Liquid Chromatography*). Cromatografi cair merupakan teknik pemisahan yang digunakan untuk memisahkan senyawa yang tidak tahan panas terhadap pemanasan, seperti asam amino, peptide dan protein. Analisa asam amino menggunakan HPLC terdiri atas 4 tahapan, yaitu tahap pembuatan hidrolisat protein, tahap pengeringan, tahap derivatisasi, dan tahap injeksi serta analisis asam amino.

### 3.3.5 Uji SEM (Setiani *et al.*, 2013)

Uji SEM (*Scanning Electron Microscop*) pada *edible film* dilakukan untuk menganalisis morfologi *edible film*. Prosedur uji SEM pada *edible film* ialah sampel *edible film* ditempelkan pada *set holder* dengan perekat ganda, kemudian dilapisi dengan logam emas dalam keadaan vakum. Setelah itu, sampel dimasukkan pada tempatnya di dalam SEM, kemudian gambar topografi diamati dan dilakukan perbesaran sesuai keinginan.



## 4. HASIL DAN PEMBAHASAN

### 4.1 Bahan Baku

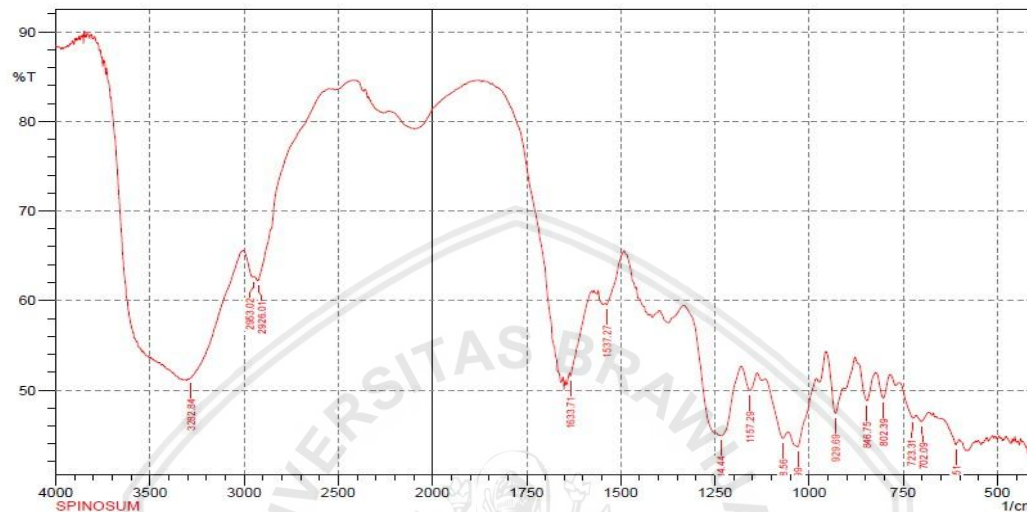
#### 4.1.1 Rumput Laut

Bahan baku yang digunakan dalam penelitian ini berupa rumput laut dari jenis *Eucheuma spinosum* dan *Eucheuma cottonii* yang diperoleh dari daerah Madura. Rumput laut tersebut digunakan sebagai bahan baku dalam pembuatan *edible film* dengan bentuk sol. Pengolahan rumput laut menjadi produk kering dan produk basah siap olah dan siap makan masih sangat sedikit jumlahnya. Pembuatan *edible film* dengan sol rumput laut ini merupakan salah satu cara untuk mengolah produksi rumput laut yang melimpah dan penanganan pasca panen dengan teknologi pemanfaatan yang mudah pengaplikasiannya oleh nelayan. Hidrokoloid dapat diperoleh dari rumput laut dalam bentuk sol tanpa mengalami proses pengolahan yang rumit, murah, mudah dan kandungan nutrisinya tetap terjaga. Sol rumput laut dan karagenan sama-sama mempunyai kemampuan dalam membentuk gel (Trowulan, 2005). Selain rumput laut bahan baku yang digunakan adalah ikan lele yang akan dibuat tepung ikan. Ikan lele diperoleh dari pasar Dinoyo, Malang.

##### 4.1.1.1 *Eucheuma spinosum*

*Eucheuma spinosum* adalah salah satu jenis rumput laut dari alga merah yang dapat menghasilkan karagenan jenis iota karagenan. *Eucheuma spinosum* juga dapat membentuk sol. Sol *Eucheuma spinosum* dan iota karagenan sama-sama mempunyai kemampuan untuk membentuk gel. Perbedaan keduanya hanya terletak pada kekuatan gelnya saja, dimana iota karagenan mempunyai sifat gel yang lebih kuat karena kandungan 6-sulfat ester telah dihilang pada proses pembuatan karagenan dengan penambahan alkali. *Eucheuma spinosum* menghasilkan sol yang jernih dan membentuk gel yang elastis (Trowulan, 2005).

Analisis gugus fungsi pada *Eucheuma spinosum* menggunakan FTIR merk SHIMADZHU di laboratorium sentral MIPA Universitas Negeri Malang. Pengukuran data dilakukan pada daerah bilangan gelombang 500-4000 cm<sup>-1</sup>. Spektra hasil uji FTIR dapat dilihat pada **Gambar 5**. Berikut ini:



**Gambar 5.** Spektra hasil uji FTIR *Eucheuma spinosum*

Berdasarkan hasil karakteristik dengan spektra pada Gambar 5. menunjukkan beberapa gugus fungsional yang terkandung pada *Eucheuma spinosum*. Hasil serapan inframerah menunjukkan adanya gugus C-H cincin aromatik pada bilangan gelombang  $702\text{-}846\text{ cm}^{-1}$  yang biasanya muncul pada bilangan gelombang  $690\text{-}900\text{ cm}^{-1}$ , daerah serapan inframerah pada bilangan gelombang  $929,69\text{ cm}^{-1}$  menunjukkan adanya gugus C-H alkena yang biasanya muncul pada bilangan gelombang  $675\text{-}995\text{ cm}^{-1}$ , serapan inframerah pada bilangan gelombang  $1068\text{-}1234\text{ cm}^{-1}$  menunjukkan adanya gugus C-O gugus alkohol, eter, asam karboksilat, ester yang biasanya muncul pada bilangan gelombang  $1050\text{-}1300\text{ cm}^{-1}$ , bilangan gelombang  $1537,27\text{ cm}^{-1}$  yang menunjukkan adanya gugus  $\text{NO}_2$  senyawa nitro yang biasanya muncul pada bilangan gelombang  $1500\text{-}1570\text{ cm}^{-1}$  dan gugus C=C cincin aromatik yang biasanya muncul pada bilangan gelombang  $1500\text{-}1600\text{ cm}^{-1}$ , adanya gugus C=C alkena yang ditunjukkan dengan adanya bilangan gelombang pada serapan inframerah

1633,71 cm<sup>-1</sup> yang biasanya muncul pada bilangan gelombang 1610-1680 cm<sup>-1</sup>, serapan inframerah 2926-2953 cm<sup>-1</sup> yang menunjukkan adanya gugus C-H alkana yang biasanya muncul pada bilangan gelombang 2850-2970 cm<sup>-1</sup> dan 1340-1470 cm<sup>-1</sup>, dan adanya gugus O-H fenol/alkohol ikatan hidrogen yang muncul pada bilangan gelombang 3282,84 cm<sup>-1</sup> yang biasanya muncul pada bilangan gelombang 3200-3600 cm<sup>-1</sup>.

Hasil analisa spektra FTIR *Eucheuma spinosum* tersebut selanjutnya dibandingkan dengan hasil penelitian Diharmi *et al.*, (2011) tentang karakteristik karagenan hasil isolasi *Eucheuma spinosum* (alga merah) dari perairan Sumenep, Madura yang disajikan pada **Tabel 11**.

**Tabel 11.** Gugus fungsi *Eucheuma spinosum* dibandingkan dengan Literatur

Puncak Gelombang (cm <sup>-1</sup> )*	puncak Gelombang (cm <sup>-1</sup> )**	Gugus Fungsi
1068,56	1070	C-O
3283,84	3201,82	O-H

Keterangan : \*) : daerah serapan inframerah *Eucheuma spinosum* hasil penelitian

\*\*) : Diharmi *et al.*, (2011)

Hasil spektra FTIR *Eucheuma spinosum* pada Tabel 11, menunjukkan adanya gugus fungsi yang sesuai dengan penelitian yang dilakukan oleh Diharmi *et al.*, (2011), terdapat gugus C-O alkohol/eter/asam karboksilat/ester pada bilangan gelombang 1070 cm<sup>-1</sup>, serta pada bilangan gelombang 3201,82 cm<sup>-1</sup> yang menunjukkan adanya gugus O-H fenol/alkohol ikatan hidrogen.

#### 4.1.1.2 *Eucheuma cottonii*

*Eucheuma cottonii* merupakan salah satu rumput laut dari jenis alga merah. *Eucheuma cottonii* mampu menghasilkan kappa karagenan, sehingga sering disebut sebagai *Kappaphycus alvarezii*. *Eucheuma cottonii* yang didapatkan dari Madura kemudian dicuci bersih dan di keringkan, kemudian dilakukan analisis gugus fungsi menggunakan FTIR merk SHIMADZU di laboratorium sentral MIPA

Universitas Negeri Malang. Pengukuran data dilakukan pada daerah serapan inframerah bilangan gelombang antara 500-4000 cm<sup>-1</sup>. Spektra hasil uji FTIR dapat dilihat pada **Gambar 6.** berikut ini:



**Gambar 6.** Spektra hasil uji FTIR *Eucheuma cottonii*

Berdasarkan hasil karakteristik dengan spektra pada Gambar 6. Menunjukkan beberapa gugus fungsional yang terkandung pada *Eucheuma cottonii*. Daerah serapan inframerah pada bilangan gelombang 702-848,68 cm<sup>-1</sup> yang menunjukkan adanya gugus C-H cincin aromatik yang biasanya muncul pada bilangan gelombang 3010-3100 cm<sup>-1</sup> dan 690-900 cm<sup>-1</sup>, adanya gugus C-H alkena yang muncul pada bilangan gelombang 702-929,69 cm<sup>-1</sup> yang biasanya muncul pada bilangan gelombang 3010-3095 cm<sup>-1</sup> dan 675-995 cm<sup>-1</sup>, daerah serapan inframerah pada bilangan gelombang 1068-1234,44 cm<sup>-1</sup> yang menunjukkan adanya gugus C-O alkohol/eter/asam karboksilat/ester yang biasanya muncul pada bilangan gelombang 1050-1300 cm<sup>-1</sup>, adanya gugus C=C alkena yang ditunjukkan pada bilangan gelombang 1614,42 cm<sup>-1</sup> yang biasanya muncul pada bilangan gelombang 1610-1680 cm<sup>-1</sup>, muncul bilangan gelombang 2092-2929,87 cm<sup>-1</sup> yang menunjukkan adanya gugus C-H alkana yang biasanya muncul pada bilangan gelombang 2850-2970 cm<sup>-1</sup> dan 1340-1470 cm<sup>-1</sup>, daerah serapan

inframerah pada bilangan gelombang 3271,27 cm<sup>-1</sup> menunjukkan adanya gugus O-H alkohol ikatan hidrogen/fenol yang biasanya muncul pada bilangan gelombang 3200-3600 cm<sup>-1</sup>, muncul gugus N-H amina/amida pada bilangan gelombang 3305,99 cm<sup>-1</sup> yang biasanya muncul pada bilangan gelombang 3300-3500 cm<sup>-1</sup>.

Hasil analisa spektra FTIR *Eucheuma cottonii* tersebut selanjutnya dibandingkan dengan hasil penelitian Zulferiyenni *et al.*, (2014) tentang pengaruh konsentrasi glierol dan tapioka terhadap karakteristik *biodegradable film* berbasis ampas rumput laut *Eucheuma cottonii* yang disajikan pada **Tabel 12**.

**Tabel 12.** Gugus fungsi *Eucheuma cottonii* dibandingkan dengan Literatur

Puncak Gelombang (cm <sup>-1</sup> )*	Puncak Gelombang (cm <sup>-1</sup> )**	Gugus Fungsi
929,69	899,35	C-H
1614,42	1646,06	C=C
2929,87	2903,90	C-H

Keterangan : \*) : Daerah serapan inframerah *Eucheuma cottonii* hasil penelitian  
\*\*) : Zulferiyenni *et al.*, (2014)

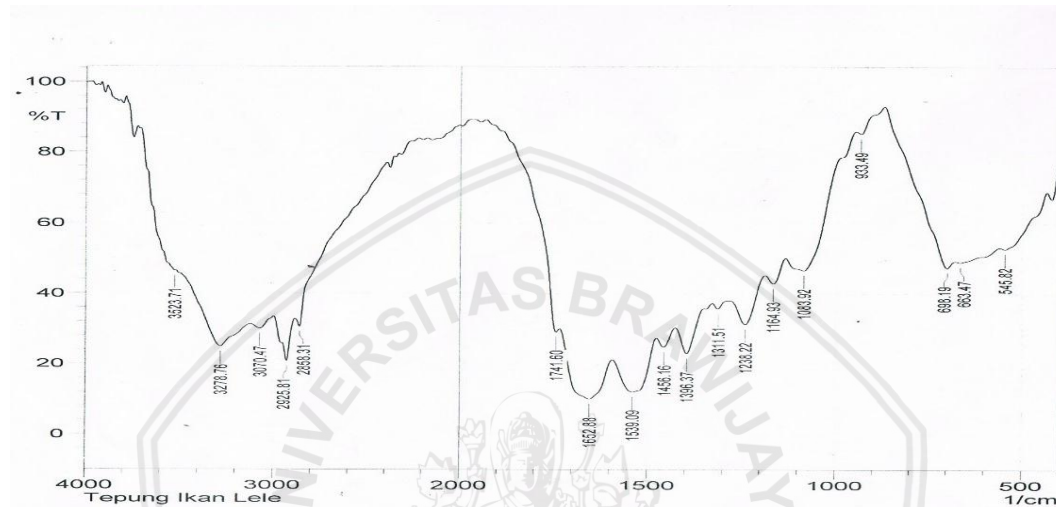
Hasil spektra FTIR *Eucheuma cottonii* pada Tabel 12, menunjukkan adanya gugus fungsi yang sesuai dengan penelitian yang dilakukan oleh Zulferiyenni *et al.*, (2014), yaitu terdapat gugus C-H alkena pada bilangan gelombang 899,45 cm<sup>-1</sup>, selanjutnya pada bilangan gelombang 1646,06 cm<sup>-1</sup> yang menunjukkan adanya gugus C=C alkena, dan terdapat gugus C-H alkana pada bilangan gelombang 2903,90 cm<sup>-1</sup>.

#### 4.1.2 Tepung Ikan Lele

##### 4.1.2.1 FTIR Tepung Ikan Lele

Tepung ikan merupakan salah satu produk hasil perikanan tinggi protein hewani. Tepung ikan ialah produk yang diperoleh dari penggilingan ikan dengan kadar air rendah dan diperoleh dari suatu reduksi bahan mentah menjadi produk yang sebagian besar terdiri dari komponen protein ikan. Salah satu ikan yang

berpotensi adalah ikan lele. Ikan lele yang sudah dibuat tepung selanjutnya dilakukan uji FTIR. Analisis gugus fungsi pada tepung ikan lele menggunakan FTIR merk SHIMADZHU di laboratorium kimia FMIPA universitas brawijaya, Malang. Pengukuran data dilakukan pada daerah bilangan gelombang 500-4000 cm<sup>-1</sup>. Spektra hasil uji FTIR dapat dilihat pada **Gambar 7.** berikut ini:



**Gambar 7.** Spektra hasil uji FTIR tepung ikan lele

Berdasarkan hasil karakteristik dengan spektra pada Gambar 7. menunjukkan beberapa gugus fungsional yang terkandung pada tepung ikan lele yang muncul pada berbagai daerah serapan inframerah. Daerah serapan inframerah yang pertama yaitu pada bilangan gelombang 700,11 cm<sup>-1</sup> yang menunjukkan adanya gugus C-H cincin aromatik yang biasanya muncul pada bilangan gelombang 690-900 cm<sup>-1</sup>, gugus C-H alkena muncul pada bilangan gelombang 935,41 cm<sup>-1</sup> yang biasanya muncul pada daerah serapan inframerah 675-995 cm<sup>-1</sup>, adanya daerah serapan inframerah pada bilangan gelombang 1114-1238,22 cm<sup>-1</sup> yang menunjukkan adanya gugus C-O alkohol/eter/asam karboksilat/ester yang biasanya muncul pada bilangan gelombang 1050-1300 cm<sup>-1</sup>, adanya gugus C-N amina/amida pada bilangan gelombang 1311,51 cm<sup>-1</sup> yang biasanya muncul pada daerah serapan inframerah 1180-1360 cm<sup>-1</sup> dan adanya gugus NO<sub>2</sub> senyawa nitro yang biasanya muncul pada bilangan gelombang 1500-

1570 cm<sup>-1</sup> dan 1300-1370 cm<sup>-1</sup>, pada bilangan gelombang 1394-1461,94 cm<sup>-1</sup> menunjukkan adanya senyawa C-H alkana yang biasanya muncul pada bilangan gelombang 2850-2970 cm<sup>-1</sup> dan 1340-1470 cm<sup>-1</sup>, adanya gugus C=C cincin aromatik pada bilangan gelombang 1539,09 cm<sup>-1</sup> yang biasanya muncul pada bilangan gelombang 1500-1600 cm<sup>-1</sup>, pada bilangan gelombang 1650,96 cm<sup>-1</sup> menunjukkan adanya gugus C=C alkena yang biasanya muncul pada bilangan gelombang 1610-1680 cm<sup>-1</sup>, daerah serapan inframerah pada bilangan gelombang 1745,46 cm<sup>-1</sup> menunjukkan adanya gugus C=O aldehid/keton/asam karboksilat/ester yang biasanya muncul pada bilangan gelombang 1690-1760 cm<sup>-1</sup>, daerah serapan inframerah berikutnya pada bilangan gelombang 2852-2923,89 cm<sup>-1</sup> yang menunjukkan adanya gugus C-H alkana yang biasanya muncul pada bilangan gelombang 2850-2970 cm<sup>-1</sup> dan 1340-1470 cm<sup>-1</sup>, pada bilangan gelombang 3072,39 cm<sup>-1</sup> menunjukkan adanya gugus C-H alkena yang biasanya muncul pada bilangan gelombang 3010-3095 cm<sup>-1</sup> dan gugus C-H cincin aromatik yang biasanya muncul pada bilangan gelombang 3010-3100 cm<sup>-1</sup>, adanya gugus O-H alkohol ikatan hidrogen/fenol pada bilangan gelombang 3274-3523,71 cm<sup>-1</sup> yang menunjukkan adanya gugus yang biasanya muncul pada bilangan gelombang 3200-3600 cm<sup>-1</sup>.

Hasil analisa spektra FTIR tepung ikan lele tersebut selanjutnya dibandingkan dengan hasil penelitian Martianingsih dan Lukman (2010) yang disajikan pada **Tabel 13**.

**Tabel 13.** Gugus fungsi Tepung Ikan Lele dibandingkan dengan Literatur

Puncak Gelombang (cm <sup>-1</sup> )*	Puncak Gelombang (cm <sup>-1</sup> )**	Gugus Fungsi
2923,89	2926,9	C-H
3532,71	3437,8	O-H
3072,39	3047,9	C-H
1745,46	1650	C-O

Keterangan : \*) : Daerah serapan inframerah Tepung ikan hasil penelitian  
\*\*) : Martianingsih dan Lukman (2010)

Hasil spektra FTIR tepung ikan lele pada Tabel 13, menunjukkan adanya gugus fungsi yang sesuai dengan penelitian yang dilakukan oleh Martianingsih dan Lukman (2010), bahwa terdapat gugus C-H alkana pada bilangan gelombang  $2926,9\text{ cm}^{-1}$ , selanjutnya pada bilangan gelombang  $3437,8\text{ cm}^{-1}$  yang menunjukkan adanya gugus O-H alkohol ikatan hidrogen/fenol, dan gugus C-H aromatik yang muncul pada bilangan gelombang  $3047,9\text{ cm}^{-1}$ , serta pada bilangan gelombang  $1650\text{ cm}^{-1}$  yang menunjukkan adanya gugus C=O aldehid/keton/asam karboksilat/ester.

#### **4.1.2.2 Proksimat Tepung Ikan Lele**

Hasil pengujian analisis proksimat pada tepung ikan lele dapat dilihat pada

**Tabel 14.** Sebagai berikut :

**Tabel 14.** Nilai Gizi Tepung Ikan Lele

Komposisi	Nilai Gizi (%) <sup>*</sup>	Nilai Gizi Tepung Ikan (%)**		
		Mutu I	Mutu II	Mutu III
Kadar Air	8,68	10	12	12
Protein	65,98	65	55	45
Abu	8,19	1,5	2,5	3
Lemak	9,10	20	25	30
Karbohidrat	8,14	-	-	-

\*Nilai gizi tepung ikan hasil penelitian

\*\*Nilai gizi standart BSN (1996)

##### **4.1.2.2.1 Kadar Air Tepung Ikan Lele**

Berdasarkan Tabel 14, kadar air tepung ikan lele sebesar 8,68%, sedangkan menurut BSN (1996) mengenai SNI 01-2715-1996 kadar air yang dapat dimiliki tepung ikan maksimal 10% untuk tepung ikan mutu I, dan 12% untuk tepung ikan mutu II dan III. Berdasarkan standar mutu tepung ikan yang telah ditetapkan oleh BSN (1996) mengenai SNI 01-2715-1996 tersebut, maka tepung ikan pada penelitian ini memenuhi persyaratan mutu kadar air untuk tepung ikan mutu I. Rendahnya air pada penelitian ini dapat dipengaruhi oleh proses

pemerasan (*pressing*) dan juga proses pengeringan. Semakin lama proses pengeringan maka semakin rendah kadar air yang ada dalam tepung ikan tersebut. Proses penyimpanan juga dapat mempengaruhi kualitas tepung ikan apabila penyimpanannya kurang baik maka ia dapat menyerap uap air yang ada di lingkungannya karena tepung ikan bersifat hogroskopis. Menurut Fatmawati dan Mardiana (2014), nilai kadar air tepung ikan kurang dari 6% jarang ditemui, karena pada nilai tersebut tepung ikan akan bersifat higroskopis. Apabila kandungan kadar airnya terlalu sedikit maka akan terjadi keseimbangan dengan kelembapan tempat penyimpanan tepung. Jika kadar air berada diatas 10% maka akan menurunkan kualitas tepung ikan karena dapat meningkatkan aktivitas mikroorganisme. Menurut Purwaningsih *et al.*, (2013), suhu dan waktu pengolahan akan berpengaruh terhadap nilai kadar air suatu bahan pangan, semakin tinggi suhu dan lama waktu pengolahan akan mengakibatkan banyak air dalam bahan pangan keluar.

#### **4.1.2.2 Kadar Protein Tepung Ikan Lele**

Berdasarkan Tabel 14, kadar protein tepung ikan lele sebesar 65,98%. Sesuai dengan standart mutu ikan yang telah ditetapkan oleh BSN (1996) mengenai SNI 01-2715-1996, maka tepung ikan pada penelitian ini memenuhi persyaratan mutu protein untuk tepung ikan mutu I. Menurut Purwaningsih *et al.*, (2013), kadar protein dalam ikan dapat berubah bergantung pada jenis spesies dan cara pengolahannya. Pengolahan menggunakan suhu tinggi mengakibatkan jumlah air bebas menghilang dan terjadinya koagulasi sehingga tekstur daging semakin padat, protein akan mengalami denaturasi sehingga membentuk struktur yang lebih sederhana yang dapat menyebabkan berkurangnya kadar protein dalam suatu bahan, selain itu panas akan menyebabkan sebagian protein larut

dan ikut hilang bersama dengan air yang keluar dari daging, seperti protamin, histon, pepton dan proteosa.

#### **4.1.2.2.3 Kadar Abu Tepung Ikan Lele**

Berdasarkan Tabel 14, kadar abu tepung ikan lele sebesar 8,19%, kadar tersebut lebih tinggi dari kadar abu yang telah ditetapkan oleh BSN (1996) mengenai SNI 01-2715-1996 untuk kadar abu tepung ikan yang seharusnya memiliki nilai sebesar 1,5% untuk tepung ikan mutu I, 2,5% untuk tepung ikan mutu II, dan 3% untuk tepung ikan mutu III. Berdasarkan standar mutu tepung ikan yang telah ditetapkan oleh BSN (1996) mengenai SNI 01-2715-1996 tersebut, maka tepung ikan pada penelitian ini tidak memenuhi persyaratan mutu kadar abu dari ketiga mutu tepung ikan di atas. Hal ini diduga karena masih banyaknya kandungan mineral dalam tepung ikan lele karena proses pencucian bahan baku ikan yang kurang bersih serta proses penyanganan yang kurang maksimal. Selain itu, adanya kandungan abu yang tidak larut dalam asam yang cukup tinggi, yang menunjukkan adanya pasir atau kotoran lain pada sampel yang diuji (Lestari *et al.*, 2013).

#### **4.1.2.2.4 Kadar Lemak Tepung Ikan Lele**

Berdasarkan Tabel 14, kadar lemak tepung ikan lele sebesar 9,10%, kadar tersebut lebih rendah dari kadar lemak yang telah ditetapkan oleh BSN (1996) mengenai SNI 01-2715-1996 untuk kadar lemak tepung ikan yang seharusnya memiliki nilai maksimum 20% untuk tepung ikan mutu I, kadar lemak maksimum 25% untuk tepung ikan mutu II, dan kadar lemak maksimum 30% untuk tepung ikan mutu III. Berdasarkan standar mutu tepung ikan yang telah ditetapkan oleh BSN (1996) mengenai SNI 01-2715-1996 tersebut, maka tepung ikan pada penelitian ini memenuhi persyaratan mutu kadar abu dari ketiga mutu tepung ikan

di atas berdasarkan nilai kadar lemak. Rendahnya kadar lemak pada penelitian ini dikarenakan minyak sudah banyak terpisah dari produk sejak pengolahan tepung ikan, seperti pada proses pencucian, pengukusan, dan pemerasan (*pressing*). Hal ini sesuai dengan pendapat Laili (2010), yang menyatakan bahwa proses perebusan dan *pressing* pada pengolahan tepung ikan akan menghilangkan sebagian kandungan air dan minyak pada ikan. Kandungan lemak yang tinggi menyebabkan produk akan cepat mengalami perubahan mutu, terutama akan menyebabkan pembusukan yang diakibatkan dari proses oksidasi sehingga menimbulkan bau tengik. Menurut Purwaningsih *et al.*, (2013), rendahnya nilai kadar lemak dipengaruhi oleh suhu dan waktu pemanasan, hal ini berkaitan dengan sifat lemak yang berbentuk padat pada suhu kamar, sedangkan suhu yang digunakan untuk pengukusan adalah  $\pm 100^{\circ}\text{C}$  sehingga lemak akan mencair dan hilang bersama dengan air.

#### **4.1.2.2.5 Kadar Karbohidrat Tepung Ikan Lele**

Berdasarkan Tabel 14, kadar karbohidrat tepung ikan lele sebesar 8,05%. Kadar karbohidrat pada tepung ikan yang tinggi diduga disebabkan oleh peningkatan kandungan gizi yang lain karena biasanya perhitungan kadar karbohidrat menggunakan metode *by-difference* yang sangat berkantungan pada besarnya kadar gizi yang lain (Rustanti *et al.*, 2012). Menurut Mervina (2009), tingginya kandungan karbohidrat disebabkan karena terjadinya pengurangan sebagian besar air dan lemak pada proses pengepresan ikan sehingga kadar karbohidrat meningkat.

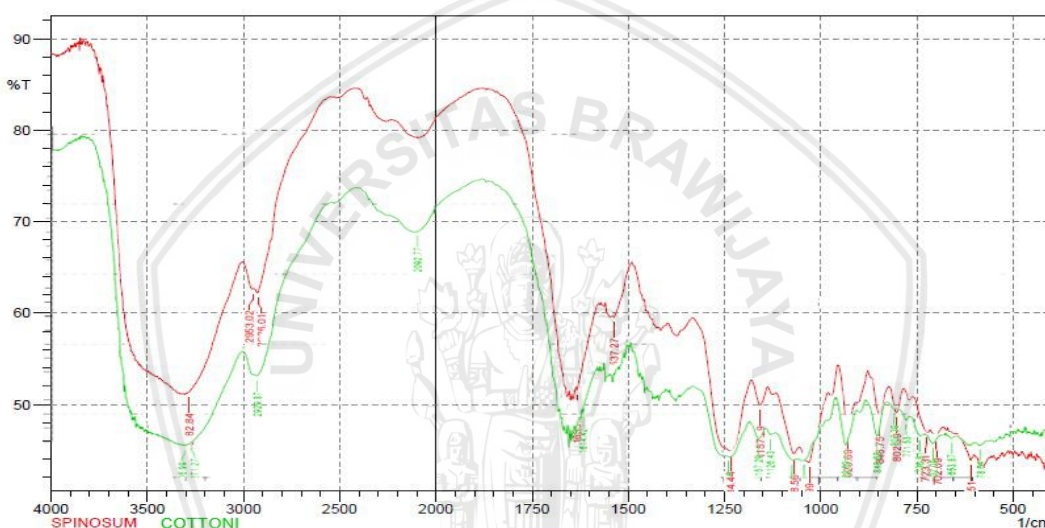
## **4.2 Hasil FTIR Campuran Bahan**

Analisa FTIR pada campuran bahan dalam pembuatan *edible film* dilakukan untuk mengetahui hasil serapan inframerah pada gugus fungsi yang tidak jauh

berbeda. Hal ini menunjukkan keidentikan senyawa yang dihasilkan antar komponen bahan penyusun *edible film* (Meilanny *et al.*, 2015).

#### 4.2.1 *Eucheuma spinosum* dan *Eucheuma cottonii*

Sifat kompatibilitas antara *Eucheuma spinosum* dan *Eucheuma cottonii* dapat terbentuk karena terdapat kesamaan pada gugus fungsional yang dimilikinya. Spektra penggabungan hasil uji FTIR dapat dilihat pada **Gambar 8** berikut ini:



**Gambar 8.** FTIR *E.cottonii* dan *E.spinosum*

Hasil analisa FTIR antara *Eucheuma spinosum* dan *Eucheuma cottonii* dapat dilihat pada **Tabel 15**.

**Tabel 15.** Kesamaan Gugus Fungsi *Eucheuma spinosum* dan *Eucheuma cottonii*

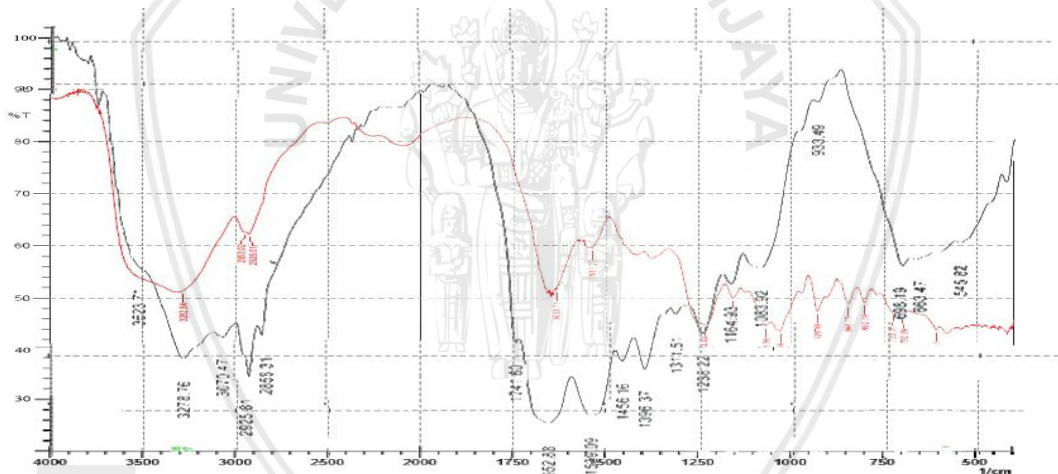
Bilangan Gelombang ( $\text{cm}^{-1}$ )		Gugus Fungsi
<i>Eucheuma spinosum</i>	<i>Eucheuma cottonii</i>	
702-846,75	702-848,68	C-H
702-929,69	702-929,69	C-H
1068-1234,44	1068-1234,44	C-O
1633,71	1614,42	C=C
2926-2953,02	2092-2929,87	C-H
3282,84	3271,27	O-H

Pada Tabel 15 menyatakan adanya kesamaan gugus fungsi yang dimiliki antara *Eucheuma spinosum* dan *Eucheuma cottonii* yaitu adanya gugus C-H cincin aromatik yang biasanya muncul pada bilangan gelombang  $690\text{-}900 \text{ cm}^{-1}$ , gugus

C-H alkena yang biasanya muncul pada bilangan gelombang 675-995 cm<sup>-1</sup>, gugus C-O alkohol/eter/seter/asam karboksilat yang biasanya muncul pada bilangan gelombang 1050-1300 cm<sup>-1</sup>, gugus C=C alkena yang biasanya muncul pada bilangan gelombang 1610-1680 cm<sup>-1</sup>, gugus C-H alkana yang biasanya muncul pada bilangan gelombang 2850-2970 cm<sup>-1</sup>, gugus O-H alkohol ikatan hidrogen/fenol yang biasanya muncul pada bilangan gelombang 3200-3600 cm<sup>-1</sup>.

#### 4.2.2 *Eucheuma spinosum* dan Tepung Ikan Lele

Sifat kompatibilitas antara *Eucheuma spinosum* dan tepung ikan lele dapat terbentuk jika terdapat kesamaan pada gugus fungsional yang dimiliki keduanya. Spektra penggabungan hasil uji FTIR dapat dilihat pada **Gambar 9** berikut ini:



**Gambar 9.** FTIR *Eucheuma spinosum* dan Tepung ikan lele

Hasil analisa FTIR antara *Eucheuma spinosum* dan tepung ikan lele dapat dilihat pada **Tabel 16**.

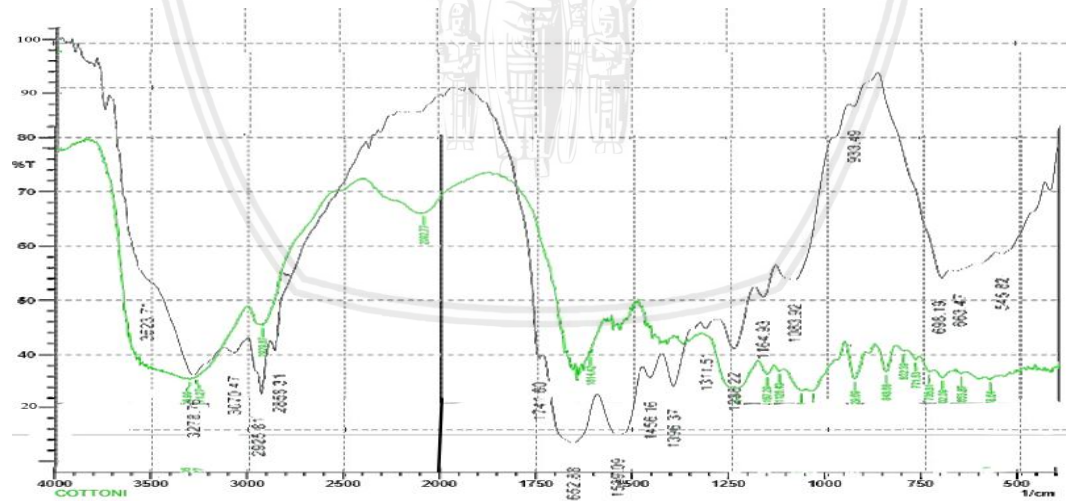
**Tabel 16.** Kesamaan Gugus Fungsi *Eucheuma spinosum* dan tepung ikan lele

Eucheuma spinosum	Tepung Ikan Lele	Gugus Fungsi
702,09	700,11	C-H
929,69	935,41	C-H
1068-1234,44	1114-1238,22	C-O
2926-2953,02	2852-2923,89	C-H
1633,71	1650,96	C=C
3282,84	3274,91	O-H

Pada Tabel 16. menyatakan adanya kesamaan gugus fungsi yang dimiliki antara *Eucheuma spinosum* dan tepung ikan lele yaitu adanya gugus C-H cincin aromatik yang biasanya muncul pada bilangan gelombang 690-900 cm<sup>-1</sup>, gugus C-H alkena yang biasanya muncul pada bilangan gelombang 675-995 cm<sup>-1</sup>, gugus C-O alkohol/eter/seter/asam karboksilat yang biasanya muncul pada bilangan gelombang 1050-1300 cm<sup>-1</sup>, gugus C-H alkana yang biasanya muncul pada bilangan gelombang 2850-2970 cm<sup>-1</sup>, gugus C=C alkena yang biasanya muncul pada bilangan gelombang 1610-1680 cm<sup>-1</sup>, gugus O-H alkohol ikatan hidrogen/fenol yang biasanya muncul pada bilangan gelombang 3200-3600 cm<sup>-1</sup>.

#### 4.2.3 *Eucheuma cottonii* dan Tepung Ikan Lele

Sifat kompatibilitas antara *Eucheuma cottonii* dan tepung ikan lele dapat terbentuk jika terdapat kesamaan pada gugus fungsional yang dimilikinya. Spektra penggabungan hasil uji FTIR dapat dilihat pada **Gambar 10** berikut ini:



**Gambar 10.** FTIR *Eucheuma cottonii* dan Tepung Ikan Lele

Hasil analisa FTIR antara *Eucheuma cottonii* dan tepung ikan lele dapat dilihat pada **Tabel 17**.

**Tabel 17.** Kesamaan Gugus Fungsi *Eucheuma cottonii* dan tepung ikan lele

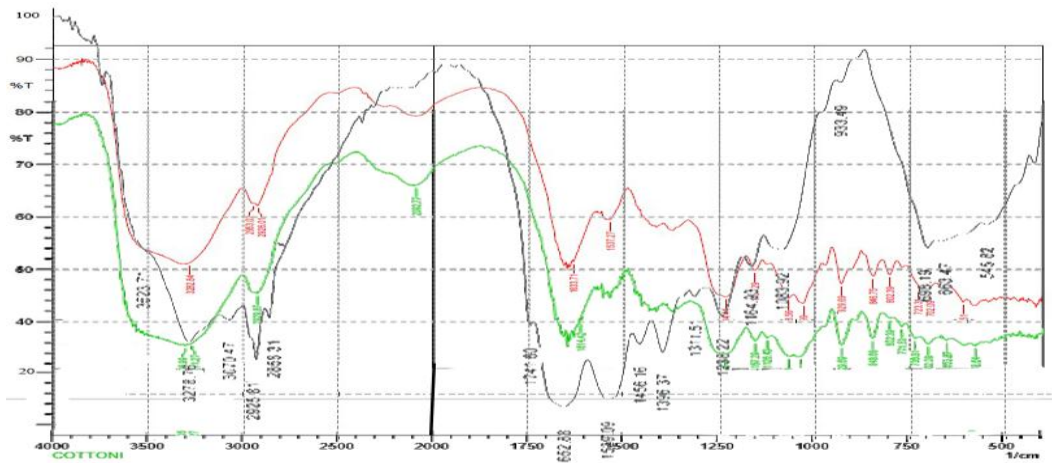
<i>Eucheuma cottonii</i>	Bilangan Gelombang (cm <sup>-1</sup> )	Tepung Ikan Lele	Gugus Fungsi
702,09		700,11	C-H
929,69		935,41	C-H
1068-1234,44		1114-1238,22	C-O
1614,42		1650,96	C=C
2092-2929,87		2852-2923,89	C-H
3271,27		3274,91	O-H

Pada Tabel 17. menyatakan adanya kesamaan gugus fungsi yang dimiliki antara *Eucheuma cottonii* dan tepung ikan lele yaitu adanya gugus C-H cincin aromatik yang biasanya muncul pada bilangan gelombang 690-900 cm<sup>-1</sup>, gugus C-H alkena yang biasanya muncul pada bilangan gelombang 675-995 cm<sup>-1</sup>, gugus C-O alkohol/eter/seter/asam karboksilat yang biasanya muncul pada bilangan gelombang 1050-1300 cm<sup>-1</sup>, gugus C-H alkana yang biasanya muncul pada bilangan gelombang 2850-2970 cm<sup>-1</sup>, gugus C=C alkena yang biasanya muncul pada bilangan gelombang 1610-1680 cm<sup>-1</sup>, gugus O-H alkohol ikatan hidrogen/fenol yang biasanya muncul pada bilangan gelombang 3200-3600 cm<sup>-1</sup>.

#### 4.2.4 *Eucheuma spinosum*, *Eucheuma cottonii* dan Tepung Ikan Lele

Sifat kompatibilitas antara *Eucheuma spinosum*, *Eucheuma cottonii* dan tepung ikan lele dapat terbentuk jika terdapat kesamaan pada gugus fungsional yang dimiliki ketiganya. Spektra penggabungan hasil uji FTIR dapat dilihat pada

**Gambar 11** berikut ini:



**Gambar 11.** FTIR *Eucheuma spinosum*, *Eucheuma cottonii* dan tepung ikan lele

Hasil analisa FTIR antara *Eucheuma spinosum*, *Eucheuma cottonii* dan tepung ikan lele dapat dilihat pada **Tabel 18**.

**Tabel 18.** Kesamaan Gugus Fungsi *Eucheuma spinosum*, *Eucheuma cottonii* dan tepung ikan lele

Bilangan Gelombang ( $\text{cm}^{-1}$ )			
<i>E. spinosum</i>	<i>E. cottonii</i>	Tepung Ikan lele	Gugus Fungsi
702,09	702,09	700,11	C-H
929,69	929,69	935,41	C-H
1068-1234,44	1068-1234,44	1114-1238,22	C-O
2926-2953,02	2092-2929,87	2852-2923,89	C-H
3282,84	3271,27	3274,91	O-H
1633,71	1614,42	1650,96	C=C

Pada Tabel 18 menyatakan adanya kesamaan gugus fungsi yang dimiliki antara *Eucheuma spinosum*, *Eucheuma cottonii* dan tepung ikan lele yaitu adanya gugus C-H cincin aromatik yang biasanya muncul pada bilangan gelombang 690-900  $\text{cm}^{-1}$ , gugus C-H alkena yang biasanya muncul pada bilangan gelombang 675-995  $\text{cm}^{-1}$ , gugus C-O alkohol/eter/seter/asam karboksilat yang biasanya muncul pada bilangan gelombang 1050-1300  $\text{cm}^{-1}$ , gugus C-H alkana yang biasanya muncul pada bilangan gelombang 2850-2970  $\text{cm}^{-1}$ , gugus C=C alkena yang biasanya muncul pada bilangan gelombang 1610-1680  $\text{cm}^{-1}$ , gugus O-H alkohol ikatan hidrogen/fenol yang biasanya muncul pada bilangan gelombang 3200-3600  $\text{cm}^{-1}$ .

### 4.3. Penelitian Pendahuluan

Penelitian pendahuluan bertujuan untuk menentukan perbandingan konsentrasi *Eucheuma cottonii* dan *Eucheuma spinosum* dalam pembuatan *edible film* yang mempunyai karakteristik terbaik. Pembuatan *edible film* dari *Eucheuma spinosum* dan *Eucheuma cottonii* ini dilakukan dengan 5 perlakuan konsentrasi, yaitu A1 (*E. spinosum* 2%), A2 (*E. cottonii* 2%), A3 (*E. spinosum* 1% : *E. cottonii* 1%), A4 (*E. spinosum* 0.5% : *E. cottonii* 1.5%), A5 (*E. spinosum* 1.5% : *E. cottonii* 0.5%), dengan 4 kali ulangan. Hasil uji karakteristik *edible film* pada penelitian pendahuluan dapat dilihat pada **Tabel 19.** dibawah ini:

**Tabel 19.** Hasil uji karakteristik *edible film* pada penelitian pendahuluan

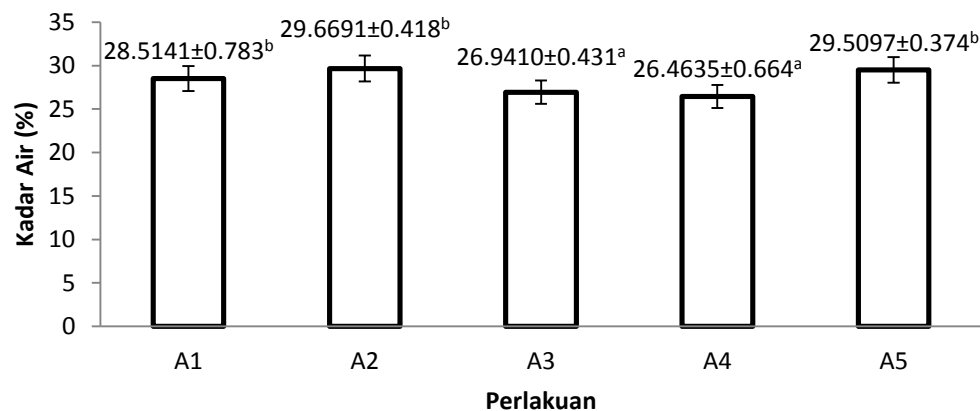
Perlakuan <i>E. spinosum</i> : <i>E. cottonii</i>	Kadar air (%)	Transmisi uap air (g/m <sup>2</sup> /hari)	Ketebalan (mm)	Elongasi (%)	Tensile strength (gf/cm <sup>2</sup> )
A1 (2:0)	28,51 ± 0,78 <sup>b</sup>	50,26 ± 0,49 <sup>d</sup>	0,06 ± 0,003 <sup>a</sup>	12,43 ± 0,50 <sup>bc</sup>	31,81 ± 0,85 <sup>a</sup>
A2 (0:2)	29,67 ± 0,42 <sup>b</sup>	50,00 ± 0,67 <sup>cd</sup>	0,09 ± 0,003 <sup>c</sup>	12,85 ± 0,61 <sup>c</sup>	47,97 ± 1,37 <sup>c</sup>
A3 (1:1)	26,94 ± 0,41 <sup>a</sup>	49,12 ± 0,40 <sup>c</sup>	0,07 ± 0,006 <sup>b</sup>	10,95 ± 0,64 <sup>a</sup>	37,75 ± 0,58 <sup>b</sup>
A4 (0.5:1.5)	26,46 ± 0,66 <sup>a</sup>	47,92 ± 0,57 <sup>b</sup>	0,08 ± 0,001 <sup>c</sup>	11,53 ± 0,48 <sup>ab</sup>	47,45 ± 0,71 <sup>c</sup>
A5 (1.5:0.5)	29,51 ± 0,37 <sup>b</sup>	27,86 ± 0,41 <sup>a</sup>	0,08 ± 0,001 <sup>c</sup>	13,33 ± 0,65 <sup>c</sup>	39,56 ± 1,18 <sup>b</sup>

Keterangan: notasi yang sama menunjukkan perlakuan tidak berbeda nyata ( $P>0,05$ )

Dari perbandingan di atas dapat dilihat bahwa perbandingan jumlah *Eucheuma spinosum* dan *Eucheuma cottonii* yang berbeda memberika pengaruh yang berbeda-beda pula pada masing-masing karakteristik *edible film*.

#### 4.3.1 Kadar Air *Edible Film*

Analisa sidik ragam pengaruh konsentrasi *Eucheuma spinosum* dan *Eucheuma cottonii* yang berbeda terhadap kadar air *edible film* memberikan pengaruh yang berbeda nyata. Pengaruh konsentrasi *Eucheuma spinosum* dan *Eucheuma cottonii* yang berbeda terhadap kadar air *edible film* dapat dilihat pada **Gambar 12.**



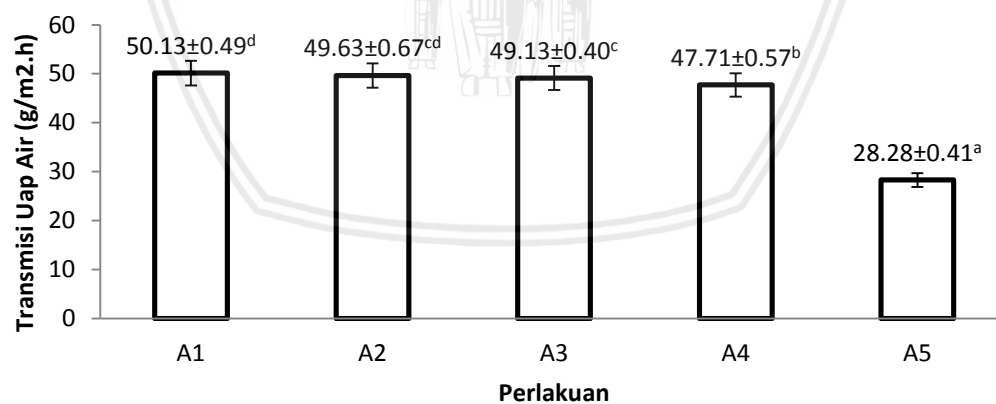
**Gambar 12.** Pengaruh konsentrasi *Eucheuma spinosum* dan *Eucheuma cottonii* yang berbeda terhadap kadar air *edible film*

Nilai kadar air tertinggi terdapat pada perlakuan A2 (*Eucheuma spinosum* dan *Eucheuma cottonii*, 0:2%) sebesar 29,6691% dan nilai terendah terdapat pada perlakuan A4 (*Eucheuma spinosum* dan *Eucheuma cottonii*, 0,5%:1,5%) sebesar 26,4635%. Penggunaan konsentrasi *Eucheuma spinosum* dan *Eucheuma cottonii* yang berbeda mampu memberikan pengaruh yang nyata terhadap nilai kadar air. Hal ini dikarenakan Bahan baku rumput laut yang digunakan memiliki kandungan kadar air yang tinggi serta penggunaan aquades sebagai pelarut bahan-bahan *edible film* juga dapat mengakibatkan meningkatnya kandungan kadar air dalam *edible film*. Hal ini diperkuat oleh pendapat dari Zaidar *et al* (2013), bahwa kandungan air yang tinggi dalam *Edible film*, dipengaruhi oleh banyaknya penggunaan pelarut air serta kandungan air pada rumput laut, yaitu sebesar 14,96%. Nilai kadar air terbaik terdapat pada perlakuan A4 (*Eucheuma spinosum* dan *Eucheuma cottonii*, 0,5%:1,5%) sebesar 26,4635%. Hal ini sesuai dengan pendapat Winarno (1997), kadar air dalam bahan pangan dapat menentukan daya awet dan kesegaran bahan pangan. Kadar air yang tinggi dapat menyebabkan bakteri, kapang dan khamir berkembang baik sehingga daya simpan produk menjadi rendah. Sehingga semakin rendah nilai kadar air maka kualitas *edible film* akan semakin bagus dan mampu meningkatkan masa simpan produk. Tingginya kadar air juga dipengaruhi oleh penggunaan *plasticizer* gliserol,

karena gliserol bersifat hidrofilik yang memiliki gugus hidroksil yang bisa membentuk ikatan hidrogen, dan pada saat pengeringan air akan sulit menguap, sehingga kadar air akan meningkat (Syarifuddin dan Yunianta, 2015). Menurut Trisnawati dan Fithri (2015), adanya berbagai gugus fungsional yang terdapat dalam struktur protein seperti NH<sub>2</sub>, NH, OH, dan CO dapat menyebabkan protein mampu mengikat molekul air melalui ikatan hidrogen. Karagenan mengandung serat pangan tidak larut yang lebih tinggi sehingga dapat mengikat air dan memerangkap dalam matriks setelah pembentukan gel karagenan.

#### 4.3.2 Tranmisi Uap Air *Edible Film*

Analisa sidik ragam pengaruh konsentrasi *Eucheuma spinosum* dan *Eucheuma cottonii* yang berbeda terhadap transmisi uap air *edible film* memberikan pengaruh yang berbeda nyata. Pengaruh konsentrasi *Eucheuma spinosum* dan *Eucheuma cottonii* yang berbeda terhadap transmisi uap air *edible film* dapat dilihat pada **Gambar 13**.



**Gambar 13.** Pengaruh konsentrasi *Eucheuma spinosum* dan *Eucheuma cottonii* yang berbeda terhadap transmisi uap air *edible film*

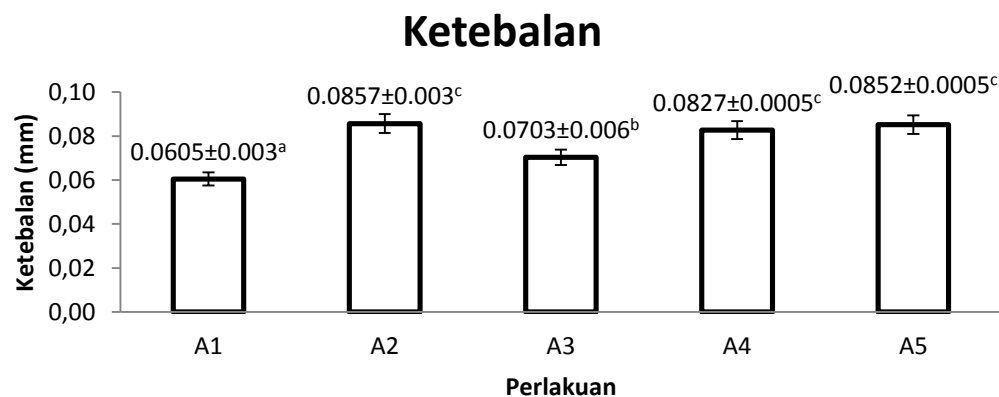
Nilai transmisi uap air tertinggi terdapat pada perlakuan A1 (*Eucheuma spinosum* dan *Eucheuma cottonii*, 2%:0) sebesar 50,13 g/m<sup>2</sup>.h dan nilai terendah terdapat pada perlakuan A5 (*Eucheuma spinosum* dan *Eucheuma cottonii*,

0,5%:1,5%) sebesar 28,28 g/m<sup>2</sup>.h. Penggunaan konsentrasi *Eucheuma spinosum* dan *Eucheuma cottonii* yang berbeda memberikan pengaruh yang nyata terhadap nilai transmisi uap air, hal ini dikarenakan penggunaan bahan yang berbasis hidrokoloid. Santoso *et al.*, (2013), mengungkapkan *edible film* yang terbuat dari hidrokoloid mempunyai struktur yang baik, namun laju penghambatan transmisi uap airnya kurang baik. Nilai transmisi uap air pada penelitian ini sangat jauh berada di atas jika dibandingkan dengan standar JIS (*Japanese Industrial Standart*) (1975), yaitu nilai transmisi uap air maksimal 7 g/m<sup>2</sup>.h. Tingginya nilai transmisi uap air dikarenakan penggunaan *plasticizer* gliserol yang bersifat hidrofilik sehingga transfer uap air dari lingkungan ke permukaan sampel *film* menjadi lebih cepat. Gliserol dengan ukuran molekulnya yang kecil akan masuk kedalam jaringan *amourphous film* lebih banyak sehingga ruang dan kesempatan air teradsorpsi dan transfer air dalam *film* akan semakin banyak (Syarifuddin dan Yunianta, 2015).

#### 4.3.3 Ketebalan *Edible Film*

Analisa sidik ragam pengaruh konsentrasi *Eucheuma spinosum* dan *Eucheuma cottonii* yang berbeda terhadap ketebalan *edible film* memberikan pengaruh yang berbeda nyata. Pengaruh konsentrasi *Eucheuma spinosum* dan *Eucheuma cottonii* yang berbeda terhadap ketebalan *edible film* dapat dilihat pada

**Gambar 14.**

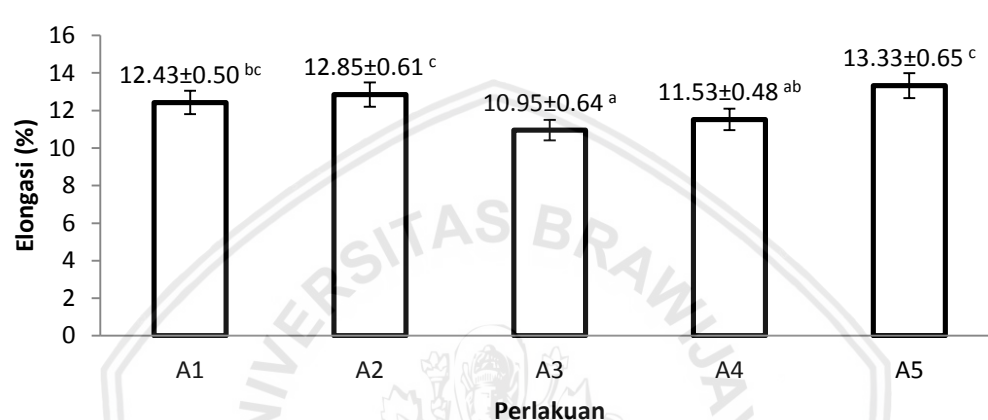


**Gambar 14.** Pengaruh konsentrasi *Eucheuma spinosum* dan *Eucheuma cottonii* yang berbeda terhadap ketebalan *edible film*

Nilai ketebalan tertinggi terdapat pada perlakuan A2 (*Eucheuma spinosum* dan *Eucheuma cottonii*, 0%:2%) sebesar 0,09 mm dan nilai terendah terdapat pada perlakuan A1 (*Eucheuma spinosum* dan *Eucheuma cottonii*, 2%:0%) sebesar 0,06 mm. Penggunaan konsentrasi *Eucheuma spinosum* dan *Eucheuma cottonii* yang berbeda memberikan pengaruh yang nyata terhadap nilai ketebalan *edible film*, hal ini dikarenakan pengaruh ketebalan cetakan dan permukaan alat pengering yang tidak rata, Huri dan Fithri (2014), menyatakan, nilai ketebalan *edible film* salah satunya dipengaruhi oleh faktor ketebalan cetakan. Nilai ketebalan pada penelitian ini sudah memenuhi standar JIS (*Japanese Industrial Standard*) (1975), yaitu nilai ketebalan maksimum adalah 0.25 mm. menurut Yulianti dan Ginting (2012), semakin tebal nilai *edible film* maka kemampuannya untuk menghambat laju transmisi gas dan uap air akan semakin tinggi, sehingga daya simpan produk akan semakin lama. Namun bila *film* terlalu tebal akan berpengaruh terhadap kenampakan, rasa dan tekstur produk saat dimakan. Sebaliknya jika *edible film* terlalu tipis maka akan mudah sobek.

#### 4.3.4 Elongasi *Edible Film*

Analisa sidik ragam pengaruh konsentrasi *Eucheuma spinosum* dan *Eucheuma cottonii* yang berbeda terhadap elongasi *edible film* memberikan pengaruh yang berbeda nyata. Pengaruh konsentrasi *Eucheuma spinosum* dan *Eucheuma cottonii* yang berbeda terhadap elongasi *edible film* dapat dilihat pada **Gambar 15.**



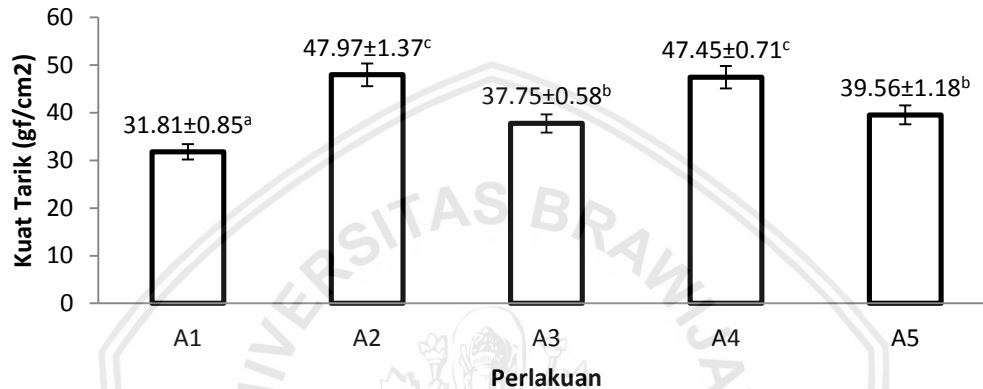
**Gambar 15.** Pengaruh konsentrasi *Eucheuma spinosum* dan *Eucheuma cottonii* yang berbeda terhadap elongasi *edible film*

Nilai elongasi tertinggi terdapat pada perlakuan A5 (*Eucheuma spinosum* dan *Eucheuma cottonii*, 1,5%:0,5%) sebesar 13,33% dan nilai terendah terdapat pada perlakuan A3 (*Eucheuma spinosum* dan *Eucheuma cottonii*, 1%:1%) sebesar 10,95%. Penggunaan konsentrasi *Eucheuma spinosum* dan *Eucheuma cottonii* yang berbeda memberikan pengaruh yang berbeda nyata terhadap nilai elongasi. Nilai elongasi pada penelitian ini tidak memenuhi standar JIS (*Japanese Industrial Standard*) (1975), yaitu nilai elongasi minimal adalah 70%. menurut Yulianti dan Ginting (2012), semakin tinggi nilai pemanjangan maka kualitas *edible* semakin baik, karena *film* akan lebih elastis dan tidak mudah sobek.

#### 4.3.5 Tensile Strength (Kuat Tarik) *Edible Film*

Analisa sidik ragam pengaruh konsentrasi *Eucheuma spinosum* dan *Eucheuma cottonii* yang berbeda terhadap kuat tarik *edible film* memberikan pengaruh yang berbeda nyata. Pengaruh konsentrasi *Eucheuma spinosum* dan *Eucheuma cottonii* yang berbeda terhadap kuat tarik *edible film* dapat dilihat pada

**Gambar 16.**



**Gambar 16.** Pengaruh konsentrasi *Eucheuma spinosum* dan *Eucheuma cottonii* yang berbeda terhadap kuat tarik *edible film*

Nilai kuat tarik tertinggi terdapat pada perlakuan A2 (*Eucheuma spinosum* dan *Eucheuma cottonii*, 0:2%) sebesar 47,97 gf/cm<sup>2</sup> dan nilai terendah terdapat pada perlakuan A1 (*Eucheuma spinosum* dan *Eucheuma cottonii*, 2%:0) sebesar 31,81 gf/cm<sup>2</sup>. Penggunaan konsentrasi *Eucheuma spinosum* dan *Eucheuma cottonii* yang berbeda memberikan pengaruh yang berbeda nyata terhadap nilai kuat tarik. Nilai kuat tarik pada penelitian ini berada dibawah standar JIS (*Japanese Industrial Standart*) (1975), nilai kuat tarik minimal adalah 50 gf/cm<sup>2</sup>, namun sudah mendekati nilai kuat tarik pada standar di atas. Menurut Yulianti dan Ginting (2012), semakin tinggi nilai kuat tarik maka, kekuatan *film* untuk menahan tekanan dan tarikan semakin tinggi. Nilai kuat tarik ini juga dipengaruhi oleh besarnya konsentrasi bahan yang ditambahkan dalam penyusun matriks *film* akan meningkatkan kekuatan matriks gel sehingga matriks *film* akan semakin kompak

dan menghasilkan kuat tarik *edible film* yang besar (Syarifuddin dan Yunianta, 2015).

#### 4.4 Perlakuan Terpilih Penelitian Pendahuluan

Penentuan perlakuan terbaik didapatkan dari menganalisa karakteristik fisik *edible film* berbahan *Eucheuma spinosum* dan *Eucheuma cottonii* serta tepung ikan lele dengan *plasticizer* gliserol menggunakan metode DeGarmo. Parameter perlakuan terbaik meliputi kadar air, ketebalan, transmisi uap air, elongasi dan kuat tarik.

Berdasarkan hasil analisa terhadap karakteristik *edible film*, perlakuan yang terbaik adalah pada perlakuan A5 dengan formulasi *Eucheuma spinosum* : *Eucheuma cottonii* = 1,5% : 0,5%. Hasil uji dari perlakuan A5 ialah kadar air sebesar 29,5097%, transmisi uap air 27,86 g/m<sup>2</sup>.h, ketebalan 0,08 mm, elongasi 13,33%, dan kuat tarik sebesar 42,06%.

#### 4.5 Penelitian Utama

Penelitian utama ini dilakukan dengan tujuan untuk mengetahui perbandingan konsentrasi bahan yang digunakan dengan tepung ikan lele yang berpengaruh terhadap kualitas *edible film* dari rumput laut segar, sehingga didapatkan perbandingan konsentrasi yang terbaik dalam pembuatan *edible film*. Berdasarkan hasil ANOVA dan uji lanjut tukey dengan menggunakan aplikasi SPSS 16.0, hasil uji setiap karakteristik *edible film* dapat dilihat pada **Tabel 20**.

**Table 20.** Hasil Analisa Karakteristik Fisik dan Kimia *Edible Film*

K. Sampel	Ketebalan (mm)	Kuat Tarik (gf/cm <sup>2</sup> )	Elongasi (%)	T.U. Air (g/m.hari)	K. Air (%)	Kelarutan (%)
A1	0.0948 ± 0.027 <sup>a</sup>	18.5309 ± 0.91 <sup>d</sup>	8.9430 ± 0.5 <sup>c</sup>	5.8196 ± 0.44 <sup>b</sup>	22.2853 ± 1.81 <sup>c</sup>	64.4695 ± 4.96 <sup>bc</sup>
A2	0.0940 ± 0.019 <sup>a</sup>	14.1654 ± 0.84 <sup>c</sup>	5.3401 ± 0.41 <sup>b</sup>	5.7851 ± 0.46 <sup>b</sup>	20.4061 ± 0.98 <sup>bc</sup>	68.1845 ± 2.78 <sup>c</sup>
A3	0.1061 ± 0.025 <sup>ab</sup>	13.7107 ± 0.81 <sup>c</sup>	5.3435 ± 0.37 <sup>b</sup>	5.8884 0.57 <sup>b</sup>	18.2535 ± 0.97 <sup>ab</sup>	58.4834 ± 2.15 <sup>ab</sup>
A4	0.1287 ± 0.019 <sup>ab</sup>	13.7858 ± 0.54 <sup>c</sup>	4.9902 ± 0.35 <sup>ab</sup>	5.4408 ± 0.37 <sup>b</sup>	18.0963 ± 0.92 <sup>ab</sup>	58.3072 ± 2.59 <sup>ab</sup>
A5	0.1292 ± 0.017 <sup>ab</sup>	12.0170 ± 0.54 <sup>b</sup>	4.2522 ± 0.39 <sup>a</sup>	5.0620 ± 0.13 <sup>ab</sup>	17.3508 ± 0.92 <sup>a</sup>	61.4636 ± 4.98 <sup>abc</sup>

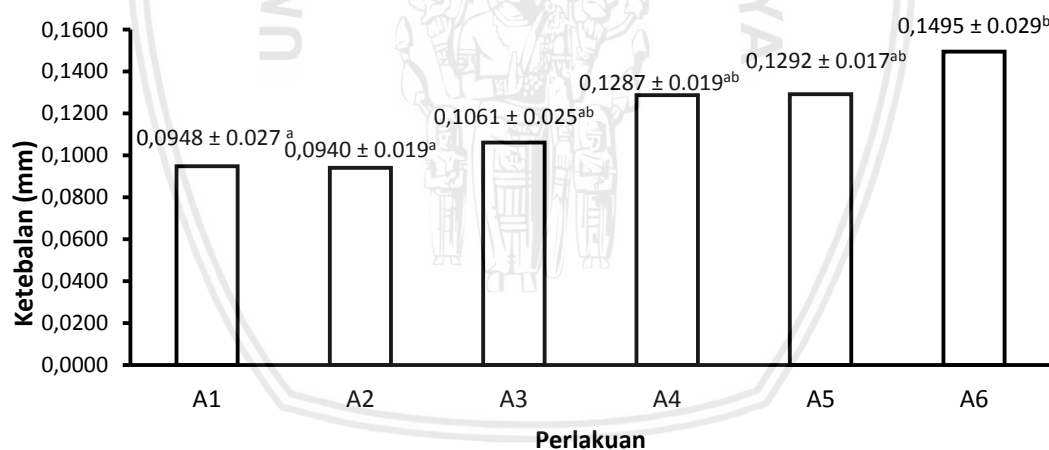
A6	$0.1495 \pm 0.029^b$	$9.0286 \pm 0.45^a$	$4.6082 \pm 0.2^{ab}$	$4.4077 \pm 0.24^a$	$16.0446 \pm 1.49^a$	$55.5188 \pm 4.76^a$
----	----------------------	---------------------	-----------------------	---------------------	----------------------	----------------------

Keterangan: Keseluruhan campuran bahan adalah 100g

- A1 : Tepung Ikan Lele 0,5g, *E. spinosum* 1,5g dan *E. cottonii* 0,5g.
- A2 : Tepung Ikan Lele 1g, *E. spinosum* 1,5g dan *E. cottonii* 0,5g.
- A3 : Tepung Ikan Lele 1,5g, *E. spinosum* 1,5g dan *E. cottonii* 0,5g.
- A4 : Tepung Ikan Lele 2g, *E. spinosum* 1,5g dan *E. cottonii* 0,5g.
- A5 : Tepung Ikan Lele 2,5g, *E. spinosum* 1,5g dan *E. cottonii* 0,5g.
- A6 : Tepung Ikan Lele 3g, *E. spinosum* 1,5g dan *E. cottonii* 0,5g.

#### 4.5.1 Ketebalan *Edible Film*

Analisis sidik ragam pengaruh konsentrasi *Eucheuma spinosum*, *Eucheuma cottonii* dan tepung ikan dengan konsentrasi yang berbeda terhadap ketebalan *edible film* menunjukkan hasil yang berbeda nyata. Pengaruh konsentrasi tepung ikan lele terhadap ketebalan *edible film* berbahan *Eucheuma spinosum* dan *Eucheuma cottonii* dengan plasticizer gliserol dapat dilihat pada **Gambar 17**.



**Gambar 17.** Hasil Ketebalan *Edible Film*

Ketebalan merupakan parameter penting yang berpengaruh terhadap penggunaan film dalam pembentukan produk yang akan dikemasnya. Ketebalan dapat mempengaruhi laju trnsmisi uap, gas, dan senyawa volatil serta sifat fisik lainnya seperti kekuatan tarik dan pemanjangan pada saat putus *edible film* yang dihasilkan (Sinaga, 2013). Berdasarkan hasil penelitian diperoleh rata-rata edible film yang memiliki ketebalan terendah pada penambahan tepung ikan 1 gram yang

memiliki nilai rata-rata 0,0940mm dan ketebalan tertinggi pada penambahan tepung ikan 3 gram dengan rata-rata 0,1495mm. Hasil analisa ketebalan menjelaskan bahwa, semakin tinggi konsentrasi tepung ikan lele yang ditambahkan dalam campuran bahan pada proses pengolahan *edible film* akan menyebabkan nilai ketebalan cenderung semakin tinggi. Hal ini disebabkan karena penambahan konsentrasi tepung ikan lele yang semakin tinggi menyebabkan kenaikan total padatan dalam *edible film*, sehingga terjadi peningkatan ketebalan *edible film*.

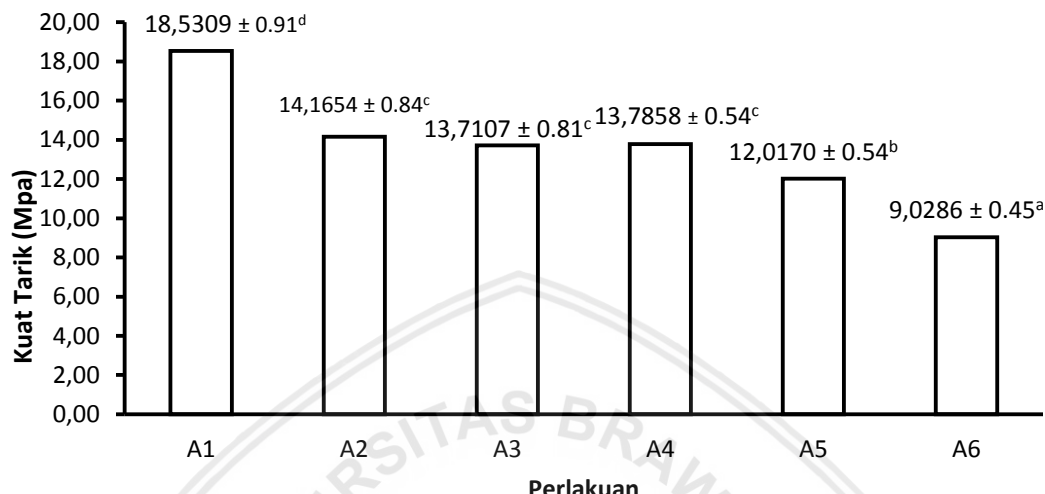
Nilai ketebalan *edible film* menurut JIS (*Japenesse Industrial Standard*) maksimal adalah 0,25mm. Hasil penelitian dengan rentang penambahan tepung ikan lele 0,5-3%, nilai ketebalan terbaik adalah dengan perlakuan penambahan tepung ikan lele 3% dengan nilai ketebalan 0,1495 mm nilai ketebalan terburuk adalah dengan perlakuan penambahan tepung ikan lele 0,5% dengan nilai ketebalan 0,0940 mm. Kusumawati dan Widya (2013), mengatakan bahwa ketebalan *edible film* dipengaruhi oleh banyaknya total padatan dalam larutan. Semakin tinggi total padatan, menyebabkan *edible film* semakin tebal.

Ketebalan *edible film* menurut Handito (2011), terutama memang dipengaruhi oleh konsentrasi padatan terlarut pada larutan pembentuk film. Selain itu, ketebalan *edible film* juga dipengaruhi oleh ukuran plat pencetak. Ketebalan *edible film*, akan berpengaruh pada nilai analisa kuat tarik, elongasi dan transmisi uap air. Semakin tinggi nilai ketebalan akan meningkatkan nilai kuat tarik serta menurunkan nilai elongasi dan nilai tranmisi uap air pada *edible film* yang dihasilkan.

#### 4.5.2 Kuat Tarik *Edible Film*

Analisis sidik ragam pengaruh konsentrasi *Eucheuma spinosum*, *Eucheuma cottonii* dan tepung ikan dengan konsentrasi yang berbeda terhadap kuat tarik

*edible film* menunjukkan hasil yang berbeda nyata. Pengaruh konsentrasi tepung ikan lele terhadap kuat tarik *edible film* berbahan *Eucheuma spinosum* dan *Eucheuma cottonii* dengan plasticizer gliserol dapat dilihat pada **Gambar 18**.



**Gambar 18.** Hasil Kuat Tarik *Edible Film*

Hasil analisis ragam pada Gambar 18. menunjukkan penggunaan rasio tepung ikan yang berbeda memberikan pengaruh beda nyata ( $P<0.05$ ) terhadap nilai kuat tarik *edible film* yang dihasilkan. Berdasarkan hasil penelitian diperoleh rata-rata *edible film* yang memiliki kuat tarik terendah pada penambahan tepung ikan 3 gram yang memiliki nilai rata-rata 9.0286 Mpa dan kuat tarik tertinggi pada penambahan tepung ikan 0,5 gram dengan rata-rata 18,530 Mpa. Nilai kuat tarik minimal *edible film* berdasarkan standard JIS (Japanese Industrial Standard) adalah 0,005 Mpa. Hasil penelitian dengan rentang penambahan tepung ikan lele 0,5-3%, nilai kuat tarik terbaik adalah dengan perlakuan penambahan tepung ikan lele 0,5% dengan nilai kuat tarik 18,5309 Mpa. Nilai kuat tarik terburuk adalah penambahan tepung ikan lele 3% dengan nilai kuat tarik 9.0286 Mpa.

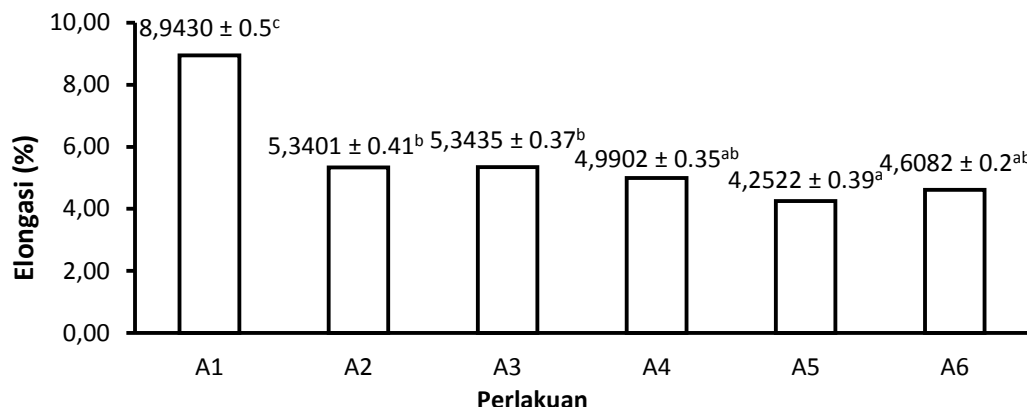
Hasil analisa kuat tarik menjelaskan bahwa, semakin tinggi konsentrasi tepung ikan lele yang ditambahkan dalam campuran bahan pada proses pengolahan *edible film* menyebabkan nilai kuat tarik mengalami penurunan. Hal ini menunjukkan bahwa kuat tarik yang dihasilkan berbanding terbalik dengan hasil

ketebalan. Sinaga (2013) menyatakan bahwa, penambahan gliserol akan meningkatkan ketebalan *edible film* yang dihasilkan sehingga dengan semakin bertambahnya ketebalan *edible film* yang dihasilkan akan menurunkan kekuatan tarik *edible film*. Hal ini menunjukkan bahwa kekuatan tarik dari *edible film* yang dihasilkan berbanding terbalik dengan ketebalan.

Prasetyaningrum *et al.*, (2010) semakin banyaknya padatan penyusun *edible film* akan meningkatkan persentase padatan yang ada dalam air dan sulit untuk membentuk larutan *film* dengan pencampuran yang baik atau ikatan yang dihasilkan tidak terlalu kuat dan menyebabkan kuat tarik *film* menurun. Semakin tinggi nilai kuat tarik *edible film* menurut Saputra *et al.* (2015), maka kualitasnya semakin tinggi. Secara umum, dengan penambahan gliserol sebagai *plastisizer* molekul-molekul di dalam larutan tersebut terletak diantara rantai ikatan biopolimer dan dapat berinteraksi dengan membentuk ikatan hidrogen dalam rantai ikatan antara polimer sehingga menyebabkan interaksi antar molekul biopolimer menjadi semakin berkurang. Hal ini menyebabkan berkurangnya kuat tarik film dengan adanya penambahan *Plastisizer*.

#### 4.5.3 Elongasi *Edible Film*

Analisis sidik ragam pengaruh konsentrasi *Eucheuma spinosum*, *Eucheuma cottonii* dan tepung ikan dengan konsentrasi yang berbeda terhadap elongasi *edible film* menunjukkan hasil yang berbeda nyata. Pengaruh konsentrasi tepung ikan lele terhadap kuat tarik *edible film* berbahan *Eucheuma spinosum* dan *Eucheuma cottonii* dengan *plasticizer* gliserol dapat dilihat pada **Gambar 19**.



**Gambar 19.** Hasil Elongasi *Edible Film*

Hasil analisis ragam pada Gambar 19. menunjukkan penggunaan rasio tepung ikan yang berbeda memberikan pengaruh beda nyata ( $P<0.05$ ) terhadap nilai elongasi *edible film* yang dihasilkan. Nilai analisa elongasi minimal *edible film* berdasarkan standard JIS (Japanese Industrial Standard) adalah 70 %. Hasil penelitian dengan rentang penambahan tepung ikan lele 0,5-3%, nilai elongasi terbaik adalah dengan perlakuan penambahan tepung ikan lele 0,5% dengan nilai 8,9430%. Nilai elongasi terburuk adalah dengan perlakuan penambahan tepung ikan lele 2,5% dengan nilai 4,2522%.

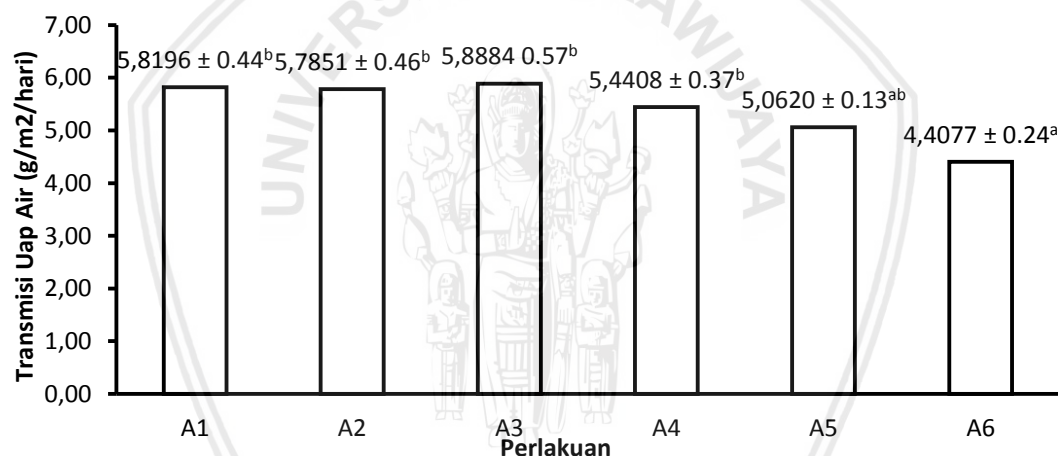
Pemanjangan pada saat putus menunjukkan perubahan panjang *film* maksimum saat memperoleh gaya tarik sampai *film* putus dibandingkan dengan panjang awalnya (Sinaga, 2013). Berdasarkan hasil penelitian diperoleh rata-rata edible film yang memiliki elongasi terendah pada penambahan tepung ikan 2,5 gram yang memiliki nilai rata-rata 4,2522% dan elongasi tertinggi pada penambahan tepung ikan 0,5 gram dengan rata-rata 8,9430%. Hal ini menunjukkan bahwa semakin tinggi konsentrasi bahan yang ditambahkan maka nilai elongasi semakin menurun. Coniwati *et al.*, (2014) menyatakan bahwa penurunan elastisitas ini disebabkan oleh semakin menurunnya jarak ikatan antarmolekulernya, karena titik jenuh telah terlampaui sehingga molekul-molekul pemplastis yang berlebih berada di dalam fase tersendiri di luar fase polimer dan

akan menurunkan gaya intermolekul antar rantai, menyebabkan gerakan rantai lebih bebas sehingga fleksibilitas mengalami peningkatan (semakin elastis).

#### 4.5.4 Tranmisi Uap Air *Edible Film*

Analisis sidik ragam pengaruh konsentrasi *Eucheuma spinosum*, *Eucheuma cottonii* dan tepung ikan dengan konsentrasi yang berbeda terhadap tranmisi uap *edible film* menunjukkan hasil yang berbeda nyata. Pengaruh konsentrasi tepung ikan lele terhadap tranmisi uap *edible film* berbahan *Eucheuma spinosum* dan *Eucheuma cottonii* dengan plasticizer gliserol dapat dilihat pada

**Gambar 20.**



**Gambar 20.** Hasil Tranmisi Uap Air *Edible Film*

Berdasarkan hasil penelitian diperoleh rata-rata edible film yang memiliki nilai transmisi uap terendah pada penambahan tepung ikan 3 gram dengan rata-rata 4,4077 g/m<sup>2</sup>/hari dan transmisi uap tertinggi pada penambahan tepung ikan 0,5 gram dengan rata-rata 5,8196 g/m<sup>2</sup>/hari. Hasil analisa transmisi uap air menjelaskan bahwa, semakin tinggi konsentrasi tepung ikan lele yang ditambahkan dalam campuran bahan pada proses pengolahan *edible film* akan menyebabkan nilai transmisi uap air cenderung semakin rendah. Hal ini dikarenakan penambahan konsentrasi tepung ikan yang semakin tinggi menyebabkan kenaikan

kekuatan matriks yang terbentuk dalam *edible film*, sehingga terjadi penurunan transmisi uap air *edible film*. Transmisi uap air *edible film* menurut Agustin (2012), dipengaruhi oleh kandungan jumlah matrik yang terbentuk. Kusumawati dan Widya (2013), menyatakan bahwa Matriks film yang semakin kuat dan rapat akan menyebabkan nilai transmisi uap air semakin rendah.

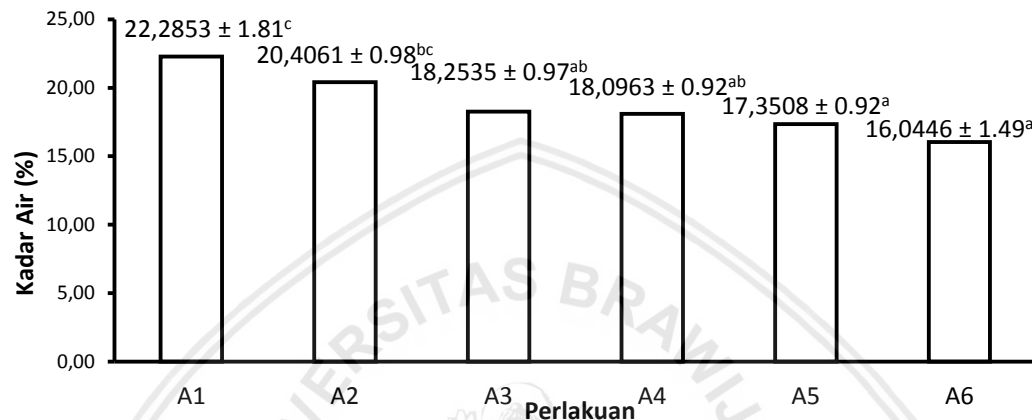
Menurut Katili *et al.*, (2013), nilai laju transmisi uap air sangat dipengaruhi oleh ketebalan, suhu, konsentrasi dan jenis *plasticizer*, dan sifat dasar bahan pembentuk *edible film*. Bahan dasar *edible film* yang bersifat hidrofilik memiliki sifat penghalang yang baik terhadap oksigen, lipid dan karbondioksida. Transmisi uap air *edible film* menurut Handito (2011), juga dipengaruhi oleh konsentrasi padatan terlarut pada larutan pembentuk film. Semakin tinggi total padatan pembentuk film menurut Kusumawati dan Widya (2013), menyebabkan *edible film* semakin tebal. Semakin tebal *edible film* yang terbentuk, akan mengurangi laju transmisi uap air karena sulit untuk ditembus uap air.

Saputra *et al.* (2015) mengatakan bahwa semakin tinggi nilai transmisi uap air *edible film* maka kualitasnya semakin rendah. Nilai analisa transmisi uap air maksimal *edible film* berdasarkan standard JIS (Japanese Industrial Standard) adalah 7 g/m<sup>2</sup>/hari. Hasil penelitian dengan rentang penambahan tepung ikan lele 0,5-3%, nilai transmisi uap air terbaik adalah dengan perlakuan penambahan tepung ikan lele 3% dengan nilai 4,4077 g/m<sup>2</sup>/hari. Nilai transmisi uap air terburuk adalah dengan perlakuan penambahan tepung ikan lele 0,5% dengan nilai 5,819 g/m<sup>2</sup>/hari.

#### 4.5.5 Kadar Air *Edible Film*

Pengujian kadar air dilakukan guna untuk mengetahui kandungan air dalam *edible film* yang dihasilkan. Kadar air sangat mempengaruhi *kualitas edible film* ketika disimpan maupun diaplikasikan sebagai pengemas suatu produk.

Analisis sidik ragam pengaruh konsentrasi *Eucheuma spinosum*, *Eucheuma cottonii* dan tepung ikan dengan konsentrasi yang berbeda terhadap kadar air *edible film* menunjukkan hasil yang berbeda nyata. Pengaruh konsentrasi tepung ikan lele terhadap kadar air *edible film* berbahan *Eucheuma spinosum* dan *Eucheuma cottonii* dengan *plasticizer* gliserol dapat dilihat pada **Gambar 21**.



**Gambar 21.** Hasil Kadar Air *Edible Film*

Berdasarkan hasil penelitian diperoleh rata-rata *edible film* yang memiliki kadar air terendah pada penambahan tepung ikan 3 gram yang memiliki nilai rata-rata 16,0446% dan kadar air tertinggi pada penambahan tepung ikan 0,5 gram dengan rata-rata 22,2853%. Penggunaan konsentrasi *Eucheuma spinosum* dan *Eucheuma cottonii* yang berbeda mampu memberikan pengaruh yang nyata terhadap nilai kadar air. Hasil analisa kadar air menjelaskan bahwa, semakin tinggi konsentrasi tepung ikan lele yang ditambahkan dalam campuran bahan pada proses pengolahan *edible film* akan menyebabkan nilai kadar air cenderung semakin rendah. Hal ini disebabkan karena penambahan konsentrasi tepung ikan lele yang semakin tinggi menyebabkan peningkatan jumlah polimer dan viskositas *edible film*, sehingga terjadi penurunan kadar air *edible film*. Kadar air *edible film* menurut Syarifuddin dan Yunianta (2015), dipengaruhi oleh banyaknya total polimer penyusun matriks *film*. Semakin tinggi total polimer penyusun matriks *film*, menyebabkan jumlah air yang tertinggal didalam matriks *film* akan semakin

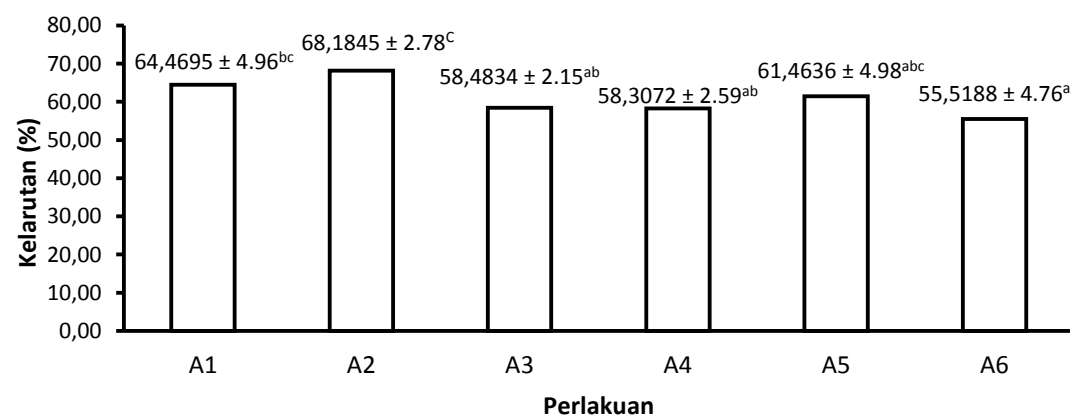
rendah. Diova et al., (2013), mengatakan bahwa nilai kadar air terendah menunjukkan bahwa *edible film* tersebut paling bagus dan mampu lebih lama dalam melindungi suatu produk yang dikemas. Kadar air yang tinggi ataupun rendah akan sangat mempengaruhi ketahanan dari suatu *edible film* yang dihasilkan.

Nilai analisa kadar air *edible film* berdasarkan penelitian Syarifuddin dan Yunianta (2015) adalah semakin tinggi nilai kadar air maka semakin rendah kualitas produk. Hasil penelitian dengan rentang penambahan tepung ikan lele 0,5-3%, nilai kadar air terbaik adalah dengan perlakuan penambahan tepung ikan lele 3% dengan nilai 16,0446%. Nilai kadar air terburuk adalah dengan perlakuan penambahan tepung ikan lele 0,5% dengan nilai 22,2853%.

#### 4.5.6 Kelarutan *Edible Film*

Analisis sidik ragam pengaruh konsentrasi *Eucheuma spinosum*, *Eucheuma cottonii* dan tepung ikan dengan konsentrasi yang berbeda terhadap kelarutan *edible film* menunjukkan hasil yang berbeda nyata. Pengaruh konsentrasi tepung ikan lele terhadap kelarutan *edible film* berbahan *Eucheuma spinosum* dan *Eucheuma cottonii* dengan plasticizer gliserol dapat dilihat pada

**Gambar 22.**



**Gambar 22.** Hasil Kelarutan *Edible Film*

Kelarutan merupakan tolak ukur untuk suatu film dapat larut ketika akan dikonsumsi dan juga untuk menentukan *biodegradable film* ketika akan dijadikan atau digunakan untuk pengemas. Kelarutan film untuk menunjukkan integritas film dalam lingkungan cair. Film dengan kelarutan yang tinggi menunjukkan bahwa ketahanan film terhadap air lebih rendah, serta menunjukkan sifat hidrofilisitas film tersebut (Fardhyanti, 2015)

Berdasarkan hasil penelitian diperoleh rata-rata edible film yang memiliki kelarutan terendah pada penambahan tepung ikan 3 gram yang memiliki nilai rata-rata 55,7688% dan kelarutan tertinggi pada penambahan tepung ikan 1 gram dengan rata-rata 68,1845%. Hasil analisa kelarutan menjelaskan bahwa, semakin tinggi konsentrasi tepung ikan lele yang ditambahkan dalam campuran bahan pada proses pengolahan *edible film* akan menyebabkan nilai kelarutan cenderung semakin rendah. Hal ini disebabkan karena penambahan konsentrasi tepung ikan lele yang semakin tinggi menyebabkan pada campuran bahan pada fase kontinyu akan membentuk lapisan film disekeliling granula dan menghambat keluarnya polimer dari granula, sehingga terjadi penurunan kelarutan *edible film*.

Pembentukan film dari protein menurut Riyanto et al. (2014), terjadi melalui tiga tahap. Denaturasi protein (pemutusan rantai intermolekularprotein dengan perlakuan panas), interaksi antar rantai protein membentuk struktur tiga dimensi baru dan stabilisasi lapisan yang terbentuk (membentuk kohesif dan matriks yang kontinyu). Protein yang merupakan hidrokoloid menurut Agustin (2011), pada fase kontinyu akan membentuk lapisan film disekeliling granula dan menghambat keluarnya polimer dari granula tersebut dan pada akhirnya menurunkan nilai kelarutan.

Nilai analisa kelarutan edible film berdasarkan pendapat dari Syarifuddin dan Yunianta (2015) adalah semakin tinggi nilai kelarutan maka semakin mudah produk untuk dikonsumsi. Hasil penelitian dengan rentang penambahan tepung

ikan lele 0,5-3 %, nilai kadar air terbaik adalah dengan perlakuan penambahan tepung ikan lele 1% dengan nilai 68,1845%. Nilai kadar air terburuk adalah dengan perlakuan penambahan tepung ikan lele 3% dengan nilai 55,7688 %.

#### 4.6 Perlakuan Terbaik Penelitian Utama

Penentuan perlakuan terbaik dilakukan dengan menggunakan metode pembobotan De Garmo *et al.*, (1984), penentuan pembobotan dilakukan dengan mengurutkan tingkat kepentingan parameter yang diamati. Pemilihan perlakuan terbaik pada perbandingan penggunaan bahan *eucheuma spinosum*, *Eucheuma cottonii*, dan tepung ikan lele dengan *plasticizer* gliserol terhadap karakteristik kualitas *edible film* dilakukan dengan membandingkan nilai setiap perlakuan. Perlakuan dengan nilai tertinggi merupakan perlakuan terbaik. Penentuan perlakuan terbaik ditentukan oleh beberapa parameter antara lain karakteristik kimia (kadar air), dan karakteristik fisika (ketebalan, elongasi, kuat tarik, transmisi uap air dan kelarutan). Perlakuan perbandingan bahan *eucheuma spinosum*, *Eucheuma cottonii*, dan tepung ikan lele dengan *plasticizer* gliserol terhadap karakteristik *edible film* yang terpilih selanjutnya dibandingkan dengan standar *edible film* dari JIS (*japanese industrial standart*) (1975).

Perlakuan terbaik yang didapatkan setelah dilakukan perhitungan dengan menggunakan metode De Garmo adalah perlakuan A5 (*Eucheuma spinosum*, *Eucheuma cottonii* dan tepung ikan lele : 1,5% : 0,5% : 2,5% ). Nilai hasil perlakuan terbaik dan standar *edible film* pada masing-masing parameter dapat dilihat pada

**Tabel 21.**

**Tabel 21.** Karakteristik kimia dan fisika *Edible film* perlakuan terbaik dan standar *edible film*

No	Parameter	Edible film	Standar edible film
1	Kadar air	17,3508%	10-30%**
2	Transmisi uap air	5,062 g/m <sup>2</sup> .h	Maks 7 g/m <sup>2</sup> .h*
3	Ketebalan	0.1292 mm	Maks 0.25 mm*

<b>4</b>	Elongasi	4,2522%	Min 70%*
<b>5</b>	Kuat Tarik	12.017 MPa	Min 0.05 MPa*
<b>6</b>	Kelarutan	61,4636%	41.71-62.35%**

Keterangan :

\* standar *edible film* dari JIS (*japanese industrial standart*) (1975).

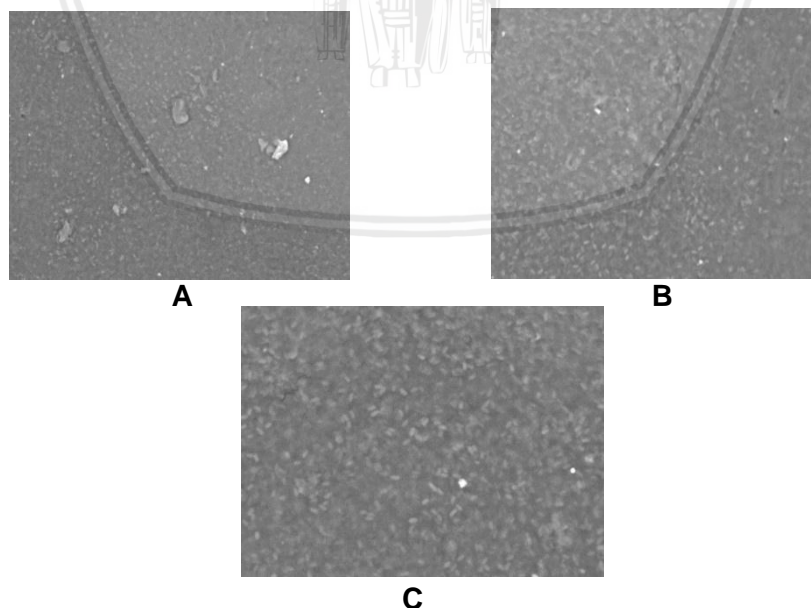
\*\* hasil penelitian Syarifuddin dan Yunianta (2015) pada pembuatan *edible film* berbahan pectin albedo jeruk bali dan pati garut.

Tabel 21 menunjukkan terdapat beberapa parameter dari *Edible film* perlakuan terbaik yang memenuhi standar *edible film* di atas, tetapi ada pula yang tidak memenuhi standar.

#### 4.7 Analisa Morfologi Permukaan *Edible Film* dengan SEM

Analisa SEM (*Scanning Electron Microscope*) berfungsi untuk melihat kompatibilitas campuran bahan serta menunjukkan morfologi permukaan dari produk *edible film* pada perlakuan terbaik yakni dengan menambahkan Tepung Ikan Lele 2,5 gram, *Eucheuma spinosum* 1,5 gram dan *Eucheuma cottonii* 0,5 gram pada 100g keseluruhan campuran bahan. Hasil analisa SEM disajikan pada

**Gambar 23.**



**Gambar 23.** Mikrostruktur *Edible Film* Hasil Analisa SEM. **(a)** Perbesaran 1000x **(b)** Perbesaran 1500 **(c)** Perbesaran 2000x

Hasil analisa SEM pada permukaan *edible film*, keseluruhan campuran bahan dapat tercampur secara sempurna. Kesempurnaan campuran bahan, dapat diketahui dengan tidak ditemukannya patahan/retakan pada permukaan *edible film*. Namun pada gambar menunjukkan bahwa adanya gelembung pada permukaan film. Hal ini dapat disebabkan oleh penyebaran gliserol yang tidak merata pada saat proses pembentukan. Coniwati *et al* (2014) menyatakan bahwa adanya gelembung-gelembung kecil yang tersebar pada permukaan film, menunjukkan penyebaran gliserol yang tidak merata pada permukaan film plastik. Semakin meningkatnya konsentrasi gliserol, maka gelembung yang terdapat pada permukaan film akan semakin sedikit dan rongga gelembung akan semakin membesar. Hal ini dikarenakan gliserol mempunyai sifat hidrofilik yaitu dapat menyerap air sehingga kelarutan gliserol juga semakin meningkat. Gelembung yang semakin sedikit dan rongga gelembung yang semakin membesar menyebabkan permukaan film yang semakin halus.

Agustin (2012), menyatakan bahwa hidrokoloid memiliki gugus hidroksi yang mampu berikatan dengan protein dan air sehingga membentuk matriks yang kuat. Pada saat pemanasan, protein miofibril mengalami gelasi dan karaginan meleleh menjadi larutan sehingga menjamin pencampuran sempurna dan pada saat dingin terbentuk matriks gel yang kuat, selain itu kemampuan karaginan mengikat air akan mengurangi keluarnya air dari matriks gel protein. Handito (2011), senyawa karagenan merupakan senyawa hidrokoloid.

Interaksi protei-karaginan menurut Agustin (2012), terjadi melalui ikatan elektrostatik yaitu muatan negatif gugus sulfat karaginan dengan muatan positif sisi samping asam amino pada permukaan miofibril protein dan pada akhirnya membentuk matriks gel protein yang kuat. Interaksi Karaginan-air terjadi melalui ikatan elektrostatik yaitu air dengan muatan negatif grup sulfat dari molekul

karaginan dan melalui ikatan hidrogen yaitu air pada gugus hidroksil desepanjang rantai karaginan.

#### 4.8 Asam Amino pada Perlakuan Terbaik

Analisa asam amino dilakukan untuk menduga komposisi asam amino dan menentukan kadar asam amino pada protein yang terkandung dalam *edible film* tepung ikan lele. Kualitas protein dapat dinilai dari perbandingan asam-asam amino yang menyusun protein tersebut. Asam amino penyusun protein dapat dibedakan menjadi dua, yaitu asam amino esensial dan asam amino non-esensial. Asam amino esensial merupakan asam amino yang tidak dapat disintesa oleh tubuh sehingga harus didapatkan dari luar tubuh manusia, sedangkan asam amino non-esensial adalah asam amino yang dapat disintesis oleh tubuh manusia dengan bahan baku asam amino lainnya (Winarno, 1997).

Hasil analisis profil asam amino pada *edible film* berbahan *Eucheuma spinosum*, *Eucheuma cottonii* dan tepung ikan lele dapat dilihat pada **Table 22**.

**Tabel 22.** Profil asam amino pada *edible film* berbahan *Eucheuma spinosum*, *Eucheuma cottonii* dan tepung ikan lele

Komposisi Asam Amino	Edible film tepung ikan lele (%)	Jenis asam amino
Arginin	1,24	Non-esensial
Histidin	0,43	Non-esensial
Isoleusin	0,75	Esensial
Leusin	0,97	Esensial
Lisin	1,40	Esensial
Methionin	0,68	Esensial
Fenilalanin	1,43	Esensial
Threonin	0,57	Esensial
Triptofan	0,17	Esensial
Valin	0,83	Esensial

Berdasarkan tabel di atas kandungan asam amino esensial pada *edible film* sebanyak 8 jenis dari 8 jenis asam amino esensial yang ada, yaitu isoleusin, leusin, lisin, methionine, fenilalanin, threonine, triptofan, dan valin, hal ini menunjukkan bahwa *edible film* dengan penambahan tepung ikan lele memiliki semua kandungan asam amino esensial yang dibutuhkan tubuh. Menurut

Suryaningrum *et al.*, (2010), asam amino esensial seperti lisin dan metionin sangat diperlukan tubuh untuk bahan dasar antibody darah, memperkuat sistem sirkulasi, mempertahankan pertumbuhan sel-sel normal, metabolisme lemak, menjaga kesehatan hati, menenangkan syaraf yang tegang dan lain-lain. Sedangkan asam amino non-esensial ada 2 jenis dari 12 jenis asam amino non-esensial, yaitu arginin dan histidin.

Rendahnya nilai asam amino ini disebabkan karena adanya pengurangan kandungan asam amino pada tepung ikan dan *edible film* akibat pengolahan menggunakan suhu tinggi yang akan menyebabkan terjadinya denaturasi protein. Denaturasi protein adalah berubahnya susunan ruang atau rantai polipeptida suatu molekul protein. Jika ikatan-ikatan yang membentuk konfigurasi molekul tersebut rusak, molekul akan mengembang. Selain itu penyusutan jumlah asam amino dapat disebabkan oleh beberapa faktor seperti, jenis pengolahan, suhu dan lama proses pengolahan (Purwaningsih *et al.*, 2013).

## 5. KESIMPULAN DAN SARAN

### 5.1 Kesimpulan

Kombinasi tepung ikan lele 2,5%, *Eucheuma spinosum* 1,5% dan *Eucheuma cottonii* 0,5 % pada keseluruhan campuran bahan merupakan kombinasi perbandingan bahan terbaik terhadap karakteristik fisik dan kimia *edible film*.

Semakin tinggi konsentrasi tepung ikan lele yang ditambahkan dalam campuran bahan pada proses pengolahan *edible film* akan menyebabkan: nilai ketebalan cenderung semakin tinggi, nilai kuat tarik mengalai penurunan, nilai elongasi cenderung semakin rendah, nilai transmisi uap air cenderung semakin rendah, nilai kadar air cenderung semakin rendah dan nilai kelarutan cenderung semakin rendah.

Hasil penelitian dengan rentang penambahan tepung ikan lele 0,5-3 %, menghasilkan nilai ketebalan terbaik adalah dengan perlakuan penambahan tepung ikan lele 3% dengan nilai ketebalan 0,1495 mm. Nilai kuat tarik terbaik adalah dengan perlakuan penambahan tepung ikan lele 0,5% dengan nilai kuat tarik 18,5309 MPa. Nilai elongasi terbaik adalah dengan perlakuan penambahan tepung ikan lele 3% dengan nilai elongasi 8,9430 %. Nilai transmisi uap air terbaik adalah dengan perlakuan penambahan tepung ikan lele 3% dengan nilai transmisi uap air 4,4077 g/m<sup>2</sup>.hari. Nilai kadar air terbaik adalah dengan perlakuan penambahan tepung ikan lele 3% dengan nilai kadar air 16,0446 %. Nilai kelarutan terbaik adalah dengan perlakuan penambahan tepung ikan lele 1% dengan nilai kelarutan 68,1845 %.

## 5.2 Saran

Perlu adanya penelitian lebih lanjut mengenai pembuatan *edible film* dengan formulasi bahan yang berbeda untuk menapatkan hasil yang terbaik. Peralatan yang digunakan dalam mencetak *edible film* harus benar benar rata agar hasil ketebalannya rata.



## DAFTAR PUSTAKA

- Agustin, Titiek I. 2012. Mutu Fisik dan Mikrostruktur Kamaboko Ikan Kurisi (*Nemipterus nematophorus*) dengan Penambahan Karaginan. JPHPI, 15(1), pp.17–26.
- Akbar, Fawzi., Z.anita., H.Harahap. 2013. Pengaruh Waktu Simpan Film Plastik Biodegradasi Dari Pati Kulit Singkong Terhadap Sifat Mekanikalnya. Universitas Sumatra Utara. Jurnal Teknik Kimia Vol. 2, No. 2.
- Anam, Choirul., Sirojudin dan K. Sofjan Firdausi. 2007. Analisis gugus Fungsi Pada Sampel Uji, Bensin dan Spiritus Menggunakan Metode Spektroskopi FTIR. ISSN berkala fisika, 10(1), pp.79-85.
- Amora, Saldhyna Di., dan Sukesi. 2013. Ekstraksi Senyawa Antioksidan pada Nugget-Rumput Laut Merah, *Eucheuma cottonii*. Institut Teknologi Sepuluh Nopember Jurnal Sains Dan Seni Pomits Vol. 2, No.2.
- AOAC. 2005. *Official Methods Of Analysis. Association of Official Analytical Chemists*. Benjamin Franklin Station, Washington.
- Apriyana, Ani. 2014. Pengaruh Penambahan Tepung Kepala Ikan Lele (*Clarias Sp*) Dalam Pembuatan Cilok Terhadap Kadar Protein Dan Sifat Organoleptiknya. Universitas Negeri Semarang. Jurnal Ilmu Kesehatan Masyarakat Vol.3, No.2.
- Astawan, M., Koswara S. dan Herdiani F. 2004. Pemanfaatan Rumput Laut (*Eucheuma cottonii*) untuk Meningkatkan Kadar Iodium dan Serat Pangan pada Selai dan Dodol. Teknologi dan Industri Pangan, 15(1), pp.61–69.
- ASTM. 1980. *Standard Test Methods for Water Vapor Transmission Rate of Materials*. ASTM Book of Standards, E-96-80.
- Atmadja, WS., Kadi A., Sulistijo.R. 1996. Pengenalan Jenis-jenis Rumput Laut Indonesia. Jakarta: Puslitbang oseanologi-LIPI.
- Coniwanti, Pamela., L.Laila., Mardiyah R.A. 2014. Pembuatan Film Plastik Biodegradabel Dari Pati Jagung Dengan Penambahan Kitosan Dan Pemplastis Gliserol. Universitas Sriwijaya. Jurnal Teknik Kimia No. 4, Vol. 20.
- Dhanapal, A., Sasikala P., Lavanya L., Kavitha V., Yazhini G. dan M.S. Banu. 2012. *Edible films from Polysaccharides. Food Science and Quality Management*, 3(1), pp.9–18.
- Dick, M., Tania M.H.C., Ahmed G., Muriel S., Alessandro D.O.R. dan Simone H. F. 2015. *Edible Film Production from Chia Seed Mucilage: Effect of Glyserol Concentration on its Physicochemical and Mecanical Properties. Carbohydrate Polymers*. 130, pp.198-205.
- Diharmi, A., Dedi F., Nuri A. dan Endang S.H. 2011. Karakteristik Komposisi Kimia Rumput Laut Merah (*Rhodophycea*) *Eucheuma spinosum* yang

Dibudidayakan dari Perairan Nusa Penida, Takalar, dan Sumenep. Penelitian Berkala Perikanan Terumbuk, 39(2), pp.61-66.

- Diova, D.A., YS.Darmanto., Laras Rianingsih. 2013. Karakteristik *Edible Film* Komposit Semirefined Karaginan Dari Rumput Laut *Eucheuma cottonii* dan Beeswax. Universitas Diponegoro. Jurnal Pengolahan dan Bioteknologi Hasil Perikanan, Vol. 2, No. 3.
- Distantina, S., Rochmadi, Wiratni dan M. Fahrurrozi. 2012. Mekanisme Proses Tahap Ekstraksi Karagenan dari *Eucheuma cottonii* menggunakan Pelarut Alkali. Agritech, 32(4), pp.397–402.
- Fardhyanti, D.S. dan Julianur S.S. 2015. Karakterisasi *Edible Film* Berbahan Dasar Ekstrak Karagenan dari Rumput Laut (*Eucheuma cottonii*). Bahan Alam Terbarukan, 4(2), pp.48–56.
- Handito, D. 2011. Pengaruh Konsentrasi Karagenan terhadap Sifat Fisik dan Mekanik *Edible Film*. Agroteksos, 21(2-3), pp.151–157.
- Hudha, Mohammad Istnaeny., Risa S., Suci D.S. 2012. Ekstraksi Karaginan Dari Rumput Laut (*Eucheuma Spinosum*) Dengan Variasi Suhu Pelarut Dan Waktu Operasi. Berkala Ilmiah Teknik Kimia Vol 1, No 1.
- Huri, Daman., dan Fithri C.N. 2014. Pengaruh Konsentrasi Gliserol Dan Ekstrak Ampas Kulit Apel Terhadap Karakteristik Fisik Dan Kimia *Edible Film*. Universitas Brawijaya Malang. Jurnal Pangan dan Agroindustri Vol. 2 No 4 p.29-40.
- Huse, M.A., Wignyanto., Ika A.D. 2014. Aplikasi *Edible Coating* dari Karagenan dan Gliserol untuk Mengurangi Penurunan Kerusakan Apel Romebeauty. Fakultas Teknik Pertanian, Universitas Brawijaya.
- Jacoeb, Agus.M., Roni Nugraha., Siluh utu Sri Dia Utari. 2014. Pembuatan *Edible Film* dari pati buah lindur dengan penambahan gliserol dan karaginan. Institut Pertanian Bogor. Vol. 17 Nomor 1.
- Kartili, S., Harsunu B.T. dan Irawan S. 2013. Pengaruh Konsentrasi Plasticizer Gliserol dan Komposisi Khitosan dalam Zat Pelarut terhadap Sifat Fisik *Edible Film* dari Khitosan. Teknologi, 6(1), pp.29–38.
- Kusumawati, Dyah Hayu., dan Widya Dwi Rukmi Putri. 2013. Karakteristik Fisik dan Kimia Edible Film Pati Jagung Yang Diinkorporasi Dengan Perasan Temu Hitam. Universitas Brawijaya Malang. Jurnal Pangan dan Agroindustri Vol. 1 No.1 p.90-100.
- Lestari, Lily Arsanti., Fatma Zuhrotun Nisa., Sudarmanto. 2013. Analisis Zat Gizi. Fakultas Kedokteran. Universitas Gadjah Mada.
- Murdinah., Muhamad Darmawan., Dina Fransiska. 2007. Karakteristik Edible Film Dari Komposit Alginat, Gluten Dan Lilin Lebah (Beeswax). Jurnal Pascapanen dan Bioteknologi Kelautan dan Perikanan Vol. 2 No. 1.

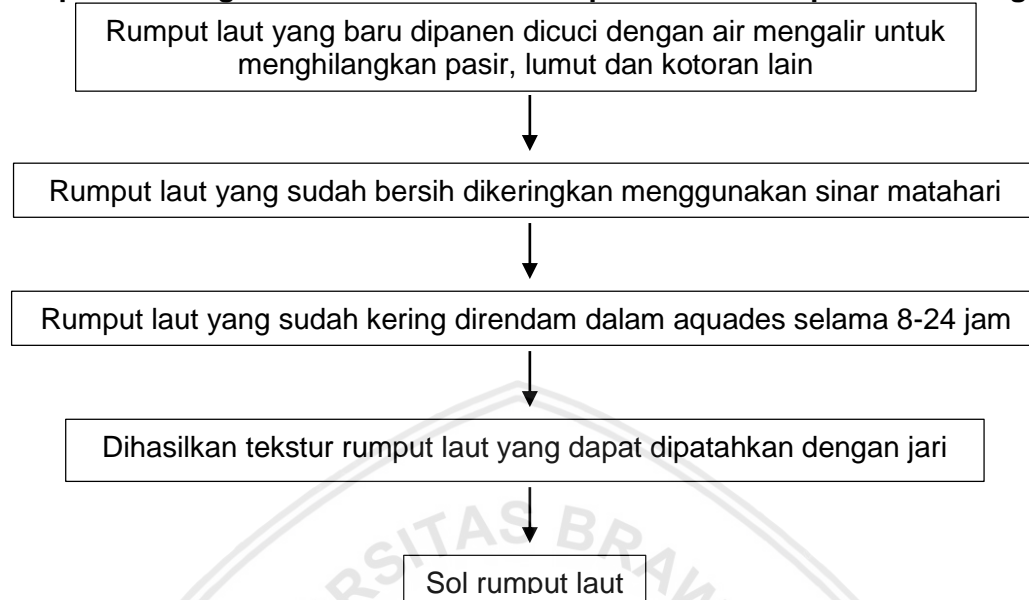
- Murni, Sri Wahyu., Harso.P., Desi.W., Novita.S. 2013. Pembuatan Edible Film dari Tepung Jagung (*Zea Mays L.*) dan Kitosan. UPN Veteran Yogyakarta. ISSN 1693-4393.
- Nurhayati., dan Agusman. 2011. *Edible Film* Kitosan Dari Limbah Udang Sebagai Pengemas Pangan Ramah Lingkungan. Balai Besar Riset Pengolahan Produk dan Bioteknologi Kelautan dan Perikanan. Squalen Vol. 6 No.1.
- Pangesti, Anggaeni Dwi., Abdul Rahim., Gatot S.H. 2014. Karakteristik Fisik, Mekanik Dan Sensoris Edible Film Dari Pati Talas Pada Berbagai Konsentrasi Asam Palmitat. Universitas Tadulako Palu. e-Journal. Agrotekbis 2 (6) : 604-610.
- Pawignya, Harsa., Dyah T.R., Boan T.V.H., Novie V. 2015. Pembuatan *Edible Film* dari Karagenan Rumput Laut *Eucheuma cottonii* untuk Mengawetkan Buah Nanas. Teknik Kimia, UPN Veteran Yogyakarta ISSN 1693-4393.
- Poeloengasih, C.Dewi dan Djagal W.Marseno. 2003. Karakteristik Edible film Komposit Protein Biji Kecipir dan Tapioka. Jurnal Teknol dan Industri Pangan. Vol. XIV nomor 3.
- Poncomulyo, Taurino., Herti.M., Lusi.K. 2008. Budidaya dan Pengolahan Rumput Laut. Gramedia Pustaka.
- Prasetyaningrum, Aji., Nur R., Deti N.K., Fransiska D.N.W. 2010. Karakterisasi Bioactive Edible Film Dari Komposit Alginat Dan Lilin Lebah Sebagai Bahan Pengemas Makanan Biodegrdable. Teknik Kimia, Universitas Diponegoro. ISSN : 1411-4216.
- Purwaningsih, Sri., Ella Salamah., Gian.P.Apriyana. 2013. Profil Protein Dan Asam Amino Keong Ipong-Ipong (*Fasciolaria Salmo*) Pada Pengolahan Yang Berbeda. Jurnal Gizi dan Pangan. Institut Pertanian Bogor. Vol.8 No. 1
- Purwanti, Ani. 2010. Analisis Kuat Tarik dan Elongasi Plastik Kitosan Terplastisasi Sorbitol. Institut Sains dan Teknologi AKPRIND Yogyakarta.
- Riyanto, B., Trilaksani W. dan Susyiana L.E. 2014. Nori Imitasi Lembaran dengan Konsep *Edible Film* Berbasis Protein Myofibrillar Ikan Nila. JPHPI, 17(3), pp.263–280.
- Santoso, Joko., Yumiko Yoshie., Takeshi Suzuki. 2004. Komosisi Mineral, Asam Lemak dan Serat pada Beberapa Jenis Rumput Laut Indonesia. Jurnal Ilmu Ilmu Perairan dan Perikanan Indonesia. Jllid 11, Nomoer 1:45-51.
- Saputra, E., K.H. Pramono, A.A. Abdillah dan M.A. Alamsjah. 2015. *An Edible Film Characteristic of Chitosan Made from Shrimp Waste as a Plasticizer. Natural Science Research*, 5(4), pp.118–125.
- Sari, T.I., Manurung H.P. dan Permadi F. 2008. Pembuatan *Edible Film* dari Kolang Kaling. Teknik Kimia, 15(4), pp.27–35.

- Setiani, Wini., Tety S., Lena R. 2013. Preparasi Dan Karakterisasi *Edible Film* Dari Poliblend Pati Sukun-Kitosan. UIN Sunan Gunung Djati Bandung. Valensi Vol. 3 No. 2.
- Setijawati, D., S. Wijana, Aulaniam I. dan I. Santoso. 2011. Viabilitas dan Struktur Mikrokapsul *Lactobacillus acidophilus* dengan Bahan Penyalut Karaginan Semi Murni Jenis *Eucheuma cottonii*. Teknologi Pangan, 2(1), pp.50–67.
- Sinaga, Loisa Lorensia., Melisa Seri Rejekina S., Mersi Suriani Sinaga. 2013. Karakteristik Edible Film Dari Ekstrak Kacang Kedelai Dengan Penambahan Tepung Tapioka Dan Gliserol Sebagai Bahan Pengemas Makanan. Universitas Sumatera Utara. Jurnal Teknik Kimia Vol. 2, No. 4.
- Sudaryati, H.P., Mulyani S.T. dan Hansyah E.R. 2010. Sifat Fisik dan Mekanis *Edible Film* dari Tepung Porang (*Amorphopallus oncophyllus*) dan Karboksinetilselulosa. Teknologi Pertanian, 11(3), pp.196–201.
- Suparmi., dan Achmad S. 2009. Kajian Pemanfaatan Sumber Daya Rumput Laut Dari Aspek Industri Dan Kesehatan. Sultan Agung Vol. XLIV No. 118.
- Suryaningsih, Suhestri. 2014. Biologi Ikan Lele. Fakultas Biologi, Universitas Jenderal Soedirman Purwokerto.
- Sutono, Doddy., Yudi Pranoto. 2013. Ekstrak Rumput Laut (*Kappaphycus alvarezii*) Sebagai Cross Linking Agent Pada Pembentukan *Edible Film* Gelatin Kulit Ikan Nila Hitam (*Oreochromis mossambicus*). Agritech Vol. 33, No. 2.
- Standart Nasional Indonesia (SNI 01-2891-1992). Cara Uji Makanan dan Minuman. Badan Standarisasi Nasional Indonesia: Jakarta.
- Syarifuddin, A. dan Yunianta. 2015. *Characterization of Edible Film from Grapefruit Albedo Pectin and Arrowroot Starch*. Pangan dan Agroindustri, 3(4), pp.1538–1547.
- Winarno, F.G. 2002. Kimia Pangan dan Gizi. Gramedia Pustaka Jakarta.
- Winarno, F.G. 1996. Teknologi Pengolahan Rumput Laut. Pustaka Sinar Harapan: Jakarta.
- Wiratmaja, I Gede., I Gusti Bagus Wijaya Kusuma., dan I Nyoman Suprapta Winaya. 2011. Pembuatan Etanol Generasi Kedua Dengan Memanfaatkan Limbah Rumput Laut *Eucheuma cottonii* Sebagai Bahan Baku. Universitas Udayana. Jurnal Ilmiah Teknik Mesin Cakra.M Vol. 5 No.1.
- Yulianti, R. dan Ginting E. 2012. Perbedaan Karakteristik Fisik *Edible Film* dari Umbi-umbian yang Dibuat dengan Penambahan Plasticizer. Penelitian Pertanian Tanaman Pangan, 31(2), pp.131–136.
- Zaidar, Emma., Rumondang Bulan., Zul Alvian., Sri Taurina.R.S., Dwi Lestari.A. 2013. Pembuatan Edible Film Dari Campuran Tepung Rumput Laut (*Euchepeuma Sp*), dengan Gliserol Dan Kitosan. Universitas Lampung.

Zulferiyenny, Marniza dan Sari E.N. 2014. Pengaruh Konsentrasi Gliserol dan Tapioka terhadap Karakteristik *Biodegradable Film* Berbasis Ampas Rumput Laut *Eucheuma cottonii*. Teknologi dan Industri Hasil Pertanian, 19(3), pp.257–273.

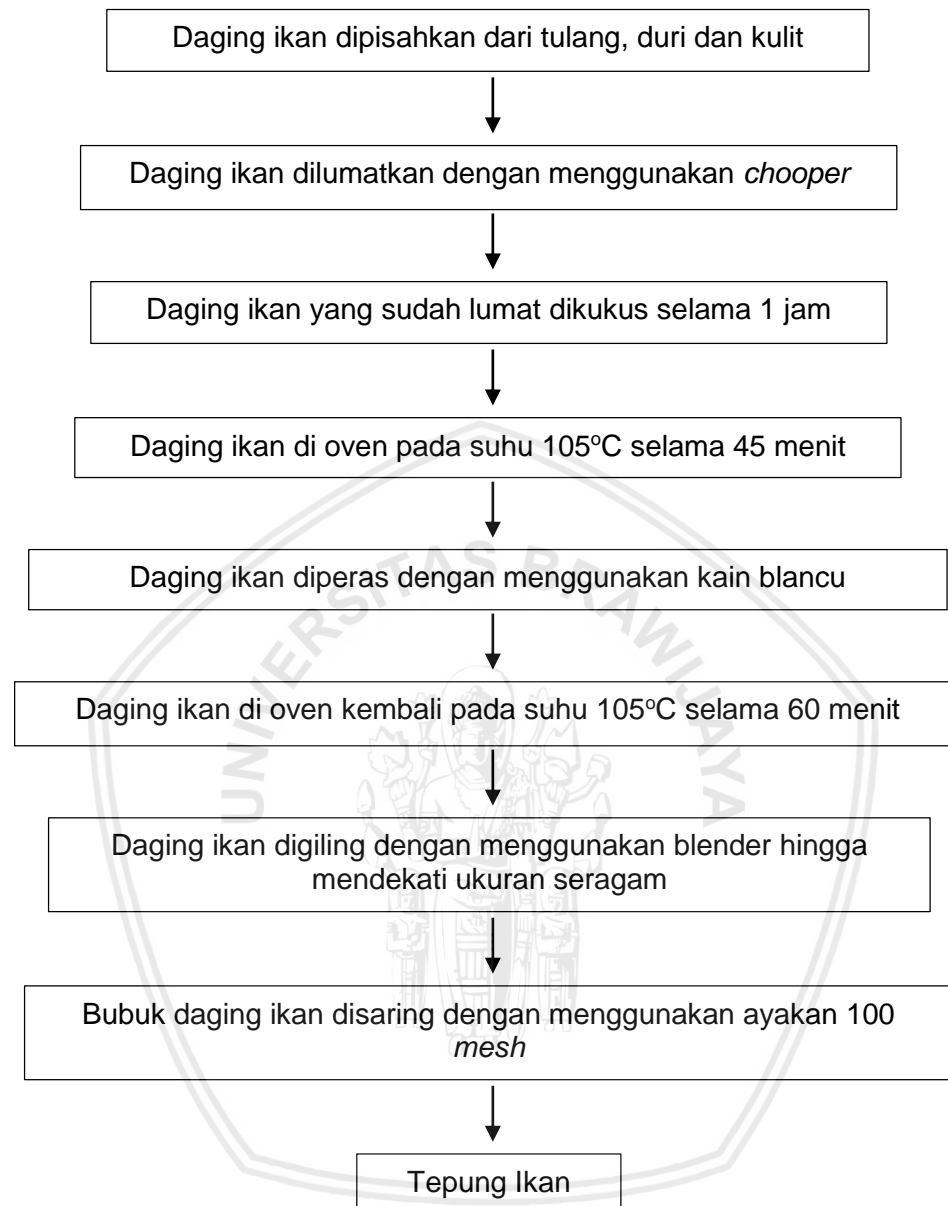


# LAMPIRAN

**LAMPIRAN****Lampiran 1. Diagram Alir Pembuatan Tahap Awal Sol Rumput Laut Kering**

Sumber: (Lubis et al., 2013)

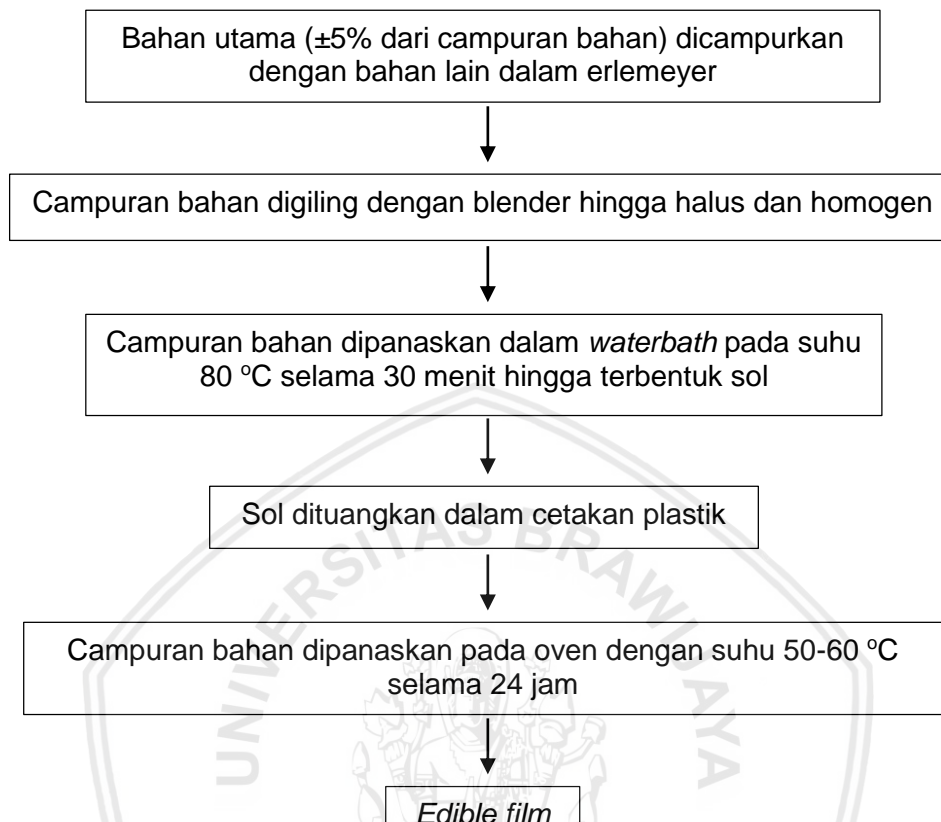
**Lampiran 2. Diagram Alir Pembuatan Tepung Ikan**



Sumber: (Pang *et al.*, 2013)

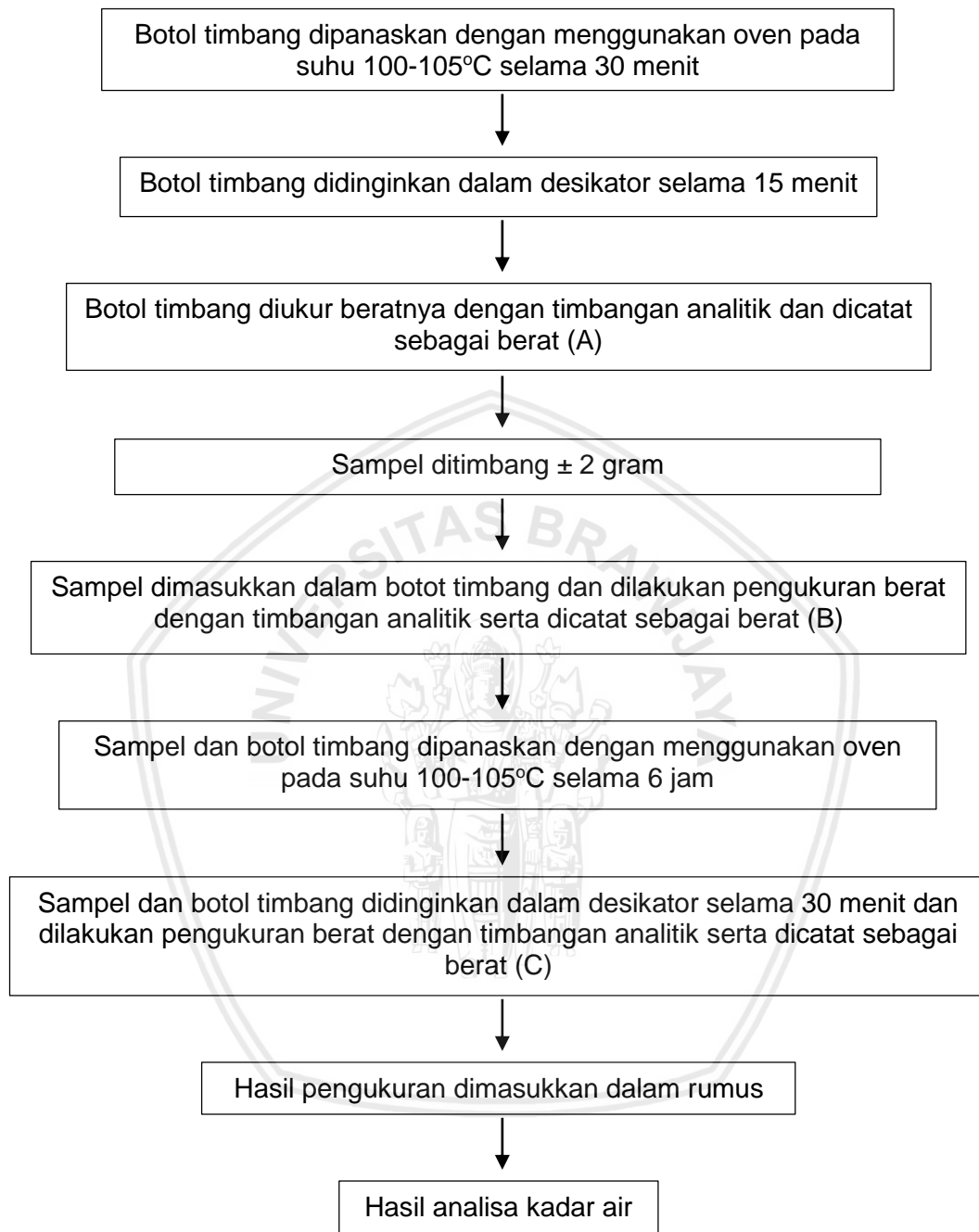


**Lampiran 3. Diagram Alir Pembuatan *Edible Film* Berbahan Campuran *Eucheuma cottoni*, *Eucheuma spinosum* dan Tepung Ikan Lele**

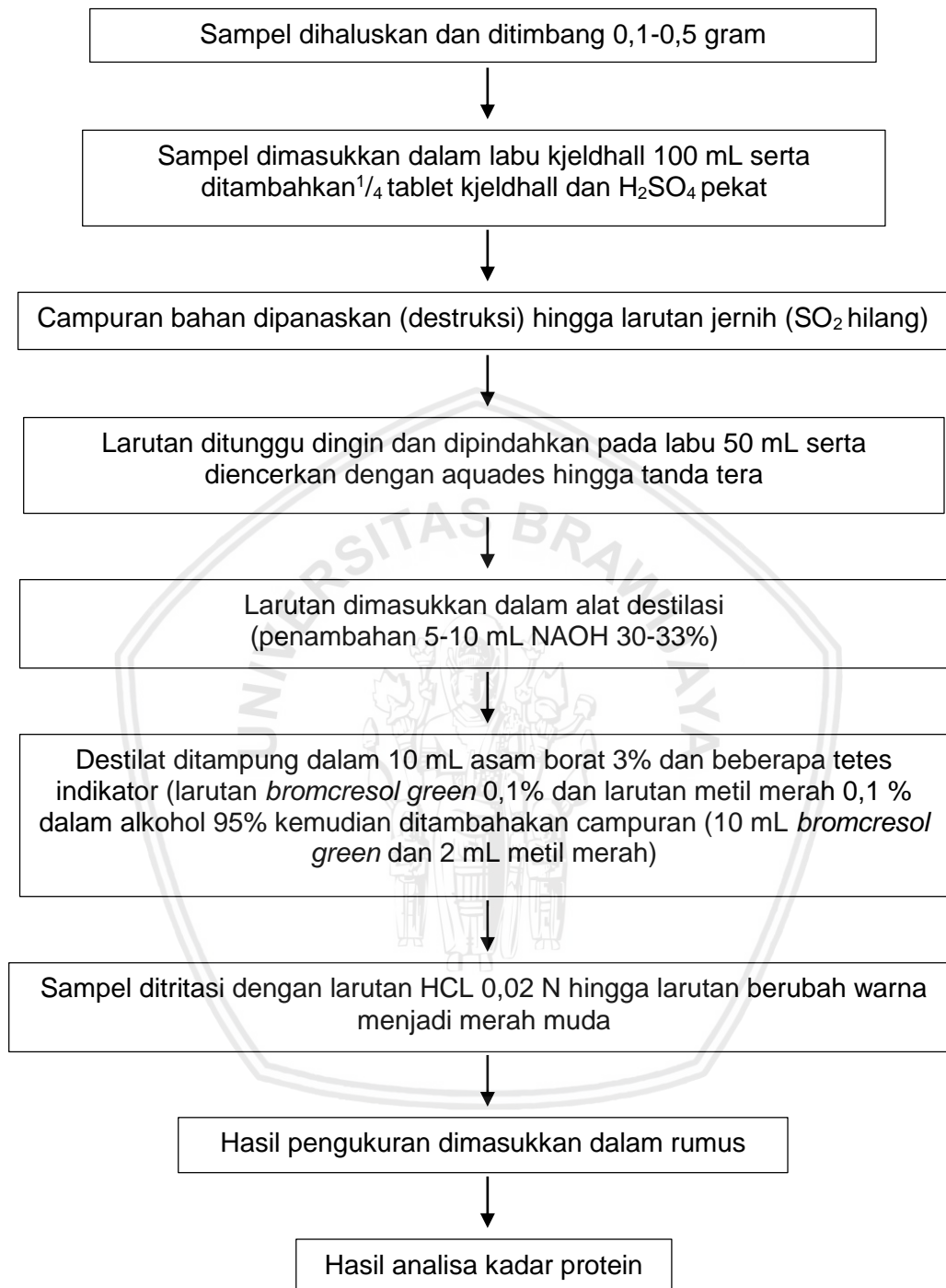


Sumber: (Sari et al., 2008)

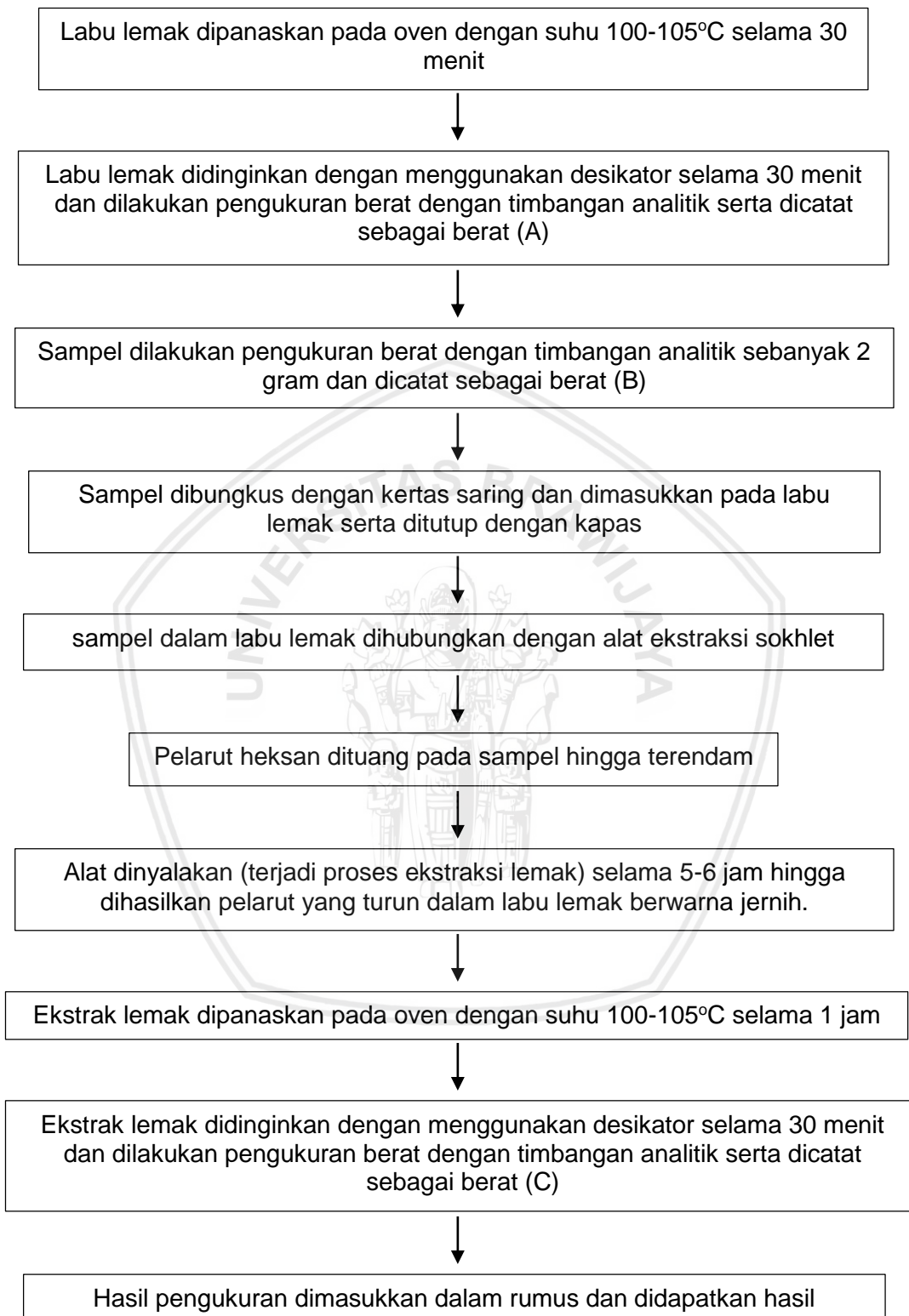
**Lampiran 4. Prosedur Analisa Pengujian Kadar Air (Nielsen, 2010)**

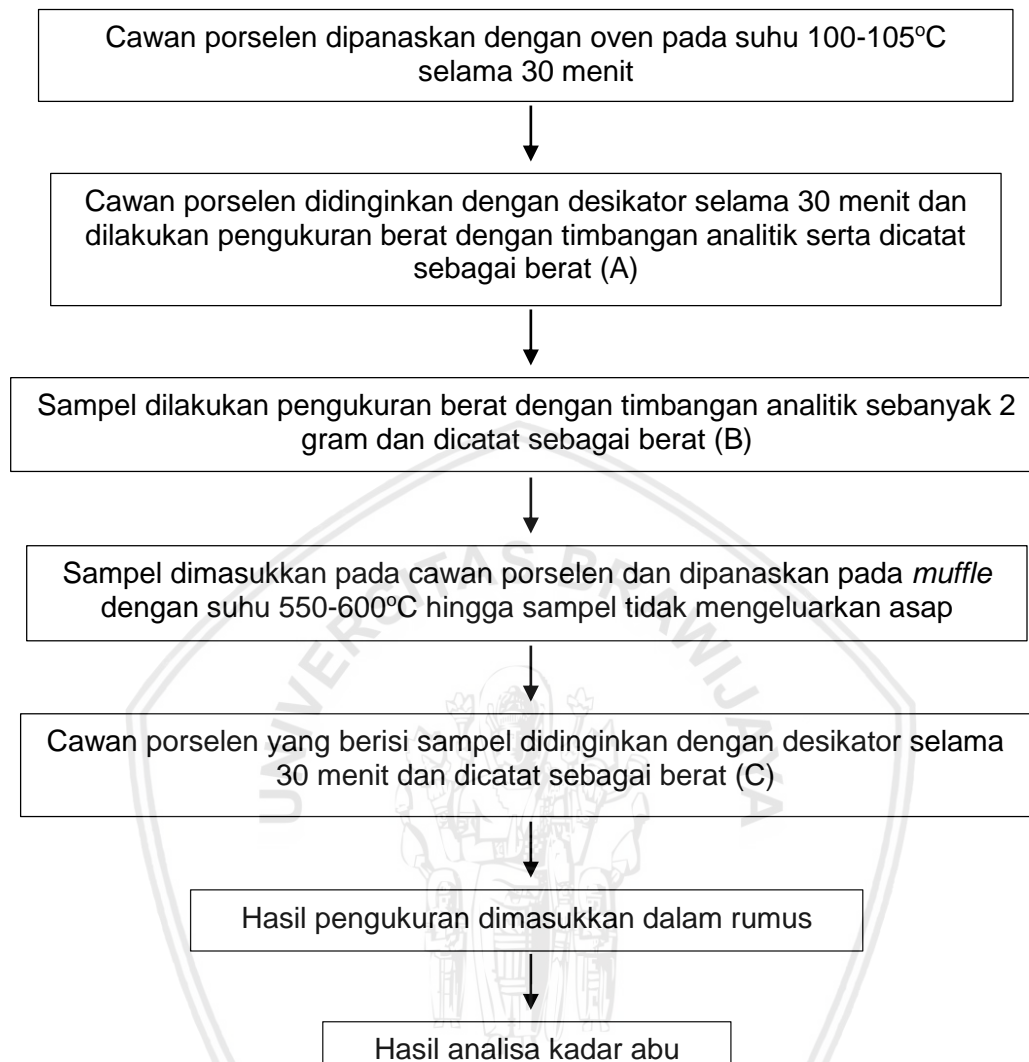


**Lampiran 5. Prosedur Analisa Pengujian Protein (AOAC, 2005)**



### Lampiran 6. Prosedur Analisa Pengujian Kadar Lemak (AOAC, 2005)



**Lampiran 7. Prosedur Analisa Pengujian Kadar Abu (AOAC, 2005)**

**Lampiran 8. Prosedur Analisa Pengujian Kadar Karbohidrat (Winarno, 2004)**

Hasil perhitungan analisa kadar air, kadar lemak, kadar abu dan kadar protein



Hasil dimasukkan dalam rumus



Hasil analisa kadar karbohidrat



**Lampiran 9. Prosedur Pengujian Ketebalan (Syarifuddin dan Yunianta., 2015)**

Sampel diukur ketebalannya dengan menggunakan micrometer digital pada ketelitian 0,01 um dengan perlakuan 3 titik berbeda

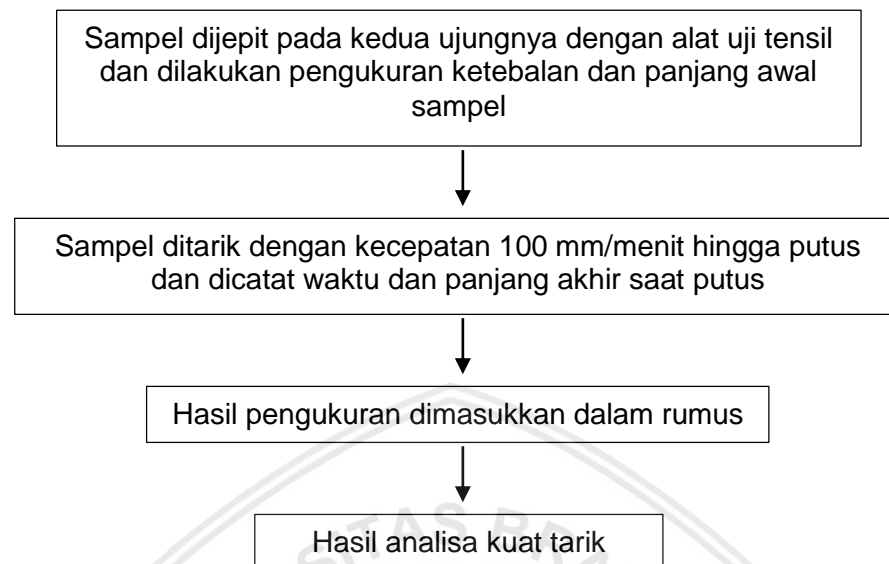


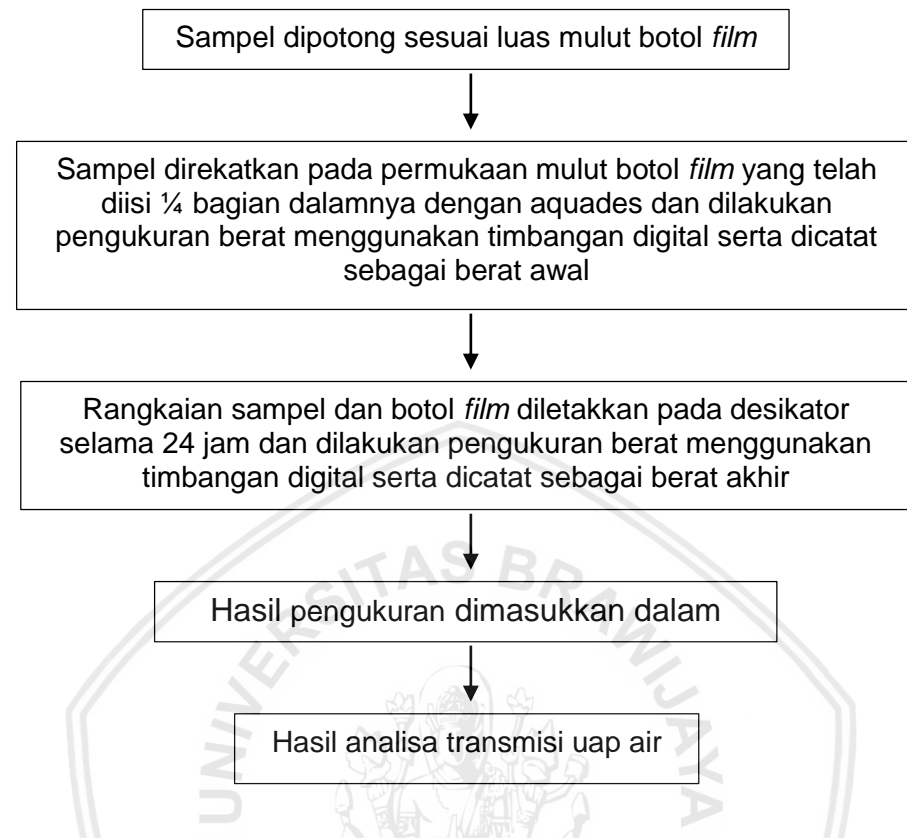
Hasil pengukuran dimasukkan dalam rumus

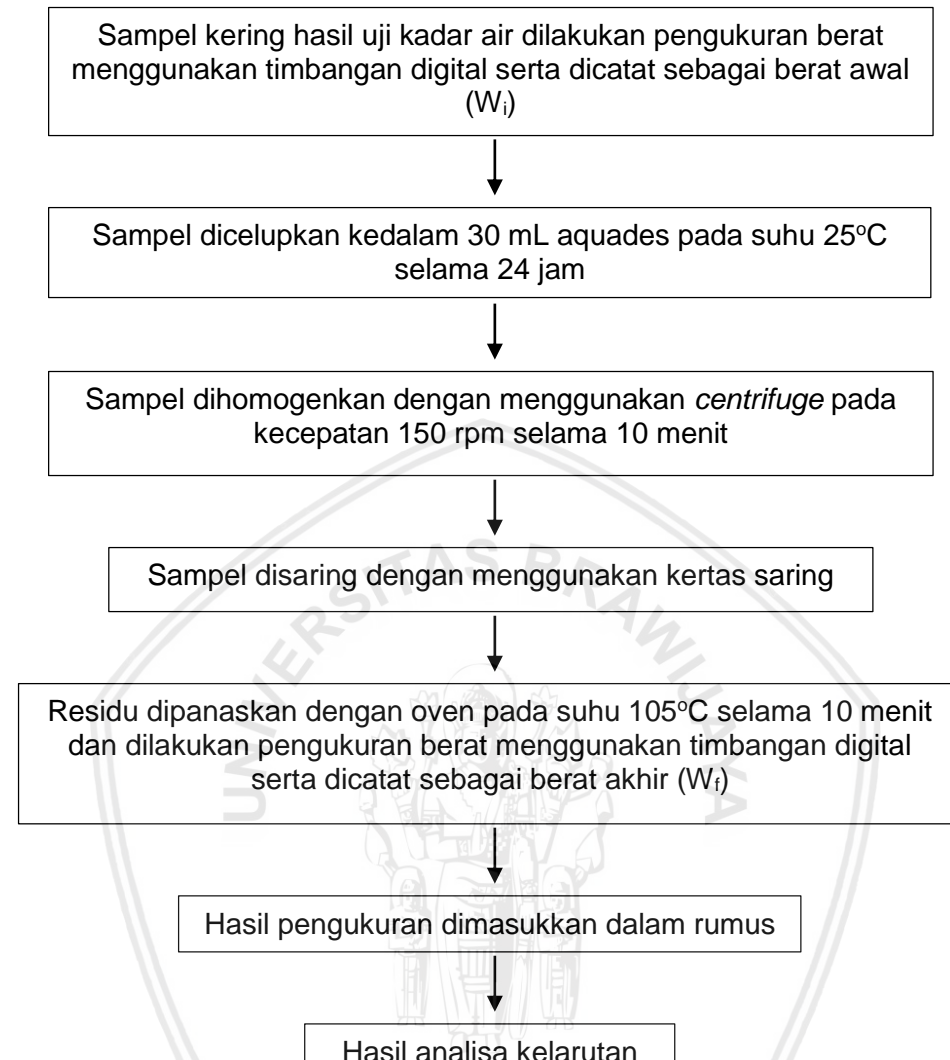


Hasil analisa ketebalan



**Lampiran 10. Prosedur Analisa Pengujian Kuat Tarik dan Elongasi (Setiani et al., 2013)**

**Lampiran 11. Prosedur Analisa Pengujian Transmisi Uap Air (ASTM E96)**

**Lampiran 12. Prosedur Analisa Pengujian Kelarutan (Dick et al., 2015)**

### Lampiran 13 . Perhitungan Ketebalan Penelitian Pendahuluan

#### Hasil Ketebalan (mm)

Sampel	Ulangan Ke-				Rata-Rata
	1	2	3	4	
Tepung ikan 0,5 gram	0.0592	0.0904	0.1096	0.1200	0.0948
Tepung ikan 1 gram	0.0931	0.0858	0.0821	0.1150	0.0940
Tepung ikan 1,5 gram	0.0981	0.0877	0.0956	0.1430	0.1061
Tepung ikan 2 gram	0.1010	0.1337	0.1320	0.1480	0.1287
Tepung ikan 2,5 gram	0.1250	0.1343	0.1084	0.1490	0.1292
Tepung ikan 3 gram	0.1647	0.1300	0.1193	0.1840	0.1495

Nilai analisa ketebalan maksimal *edible film* berdasarkan standard JIS (*Japanese Industrial Standard*) adalah 0,25 mm

#### Descriptives

PERLAKUAN			Statistic	Std. Error
Ketebalan	A1	Mean	.09480	.013357
		95% Confidence Interval for Mean	Lower Bound	.05229
				.13731
		5% Trimmed Mean	.09538	
		Median	.10000	
		Variance	.001	
		Std. Deviation	.026713	
		Minimum	.059	
		Maximum	.120	
		Range	.061	
	A2	Interquartile Range	.050	
		Skewness	-.908	1.014
		Kurtosis	-.030	2.619
		Mean	.09400	.007364
		95% Confidence Interval for Mean	Lower Bound	.07057
				.11743
		5% Trimmed Mean	.09349	
		Median	.08945	
		Variance	.000	
		Std. Deviation	.014727	
	A3	Minimum	.082	
		Maximum	.115	
		Range	.033	
		Interquartile Range	.027	
		Skewness	1.466	1.014
		Kurtosis	2.023	2.619
		Mean	.10610	.012498
		95% Confidence Interval for Mean	Lower Bound	.06633
				.14587
		5% Trimmed Mean	.10507	
		Median	.09685	

	Variance	.001	
	Std. Deviation	.024996	
	Minimum	.088	
	Maximum	.143	
	Range	.055	
	Interquartile Range	.042	
	Skewness	1.808	1.014
	Kurtosis	3.448	2.619
A4	Mean	.12868	.009898
	95% Confidence Interval for Mean		
	Lower Bound	.09717	
	Upper Bound	.16018	
	5% Trimmed Mean	.12914	
	Median	.13285	
	Variance	.000	
	Std. Deviation	.019796	
	Minimum	.101	
	Maximum	.148	
	Range	.047	
	Interquartile Range	.036	
	Skewness	-1.187	1.014
	Kurtosis	2.276	2.619
A5	Mean	.12917	.008507
	95% Confidence Interval for Mean		
	Lower Bound	.10210	
	Upper Bound	.15625	
	5% Trimmed Mean	.12923	
	Median	.12965	
	Variance	.000	
	Std. Deviation	.017013	
	Minimum	.108	
	Maximum	.149	
	Range	.041	
	Interquartile Range	.033	
	Skewness	-1.151	1.014
	Kurtosis	.097	2.619
A6	Mean	.14950	.015038
	95% Confidence Interval for Mean		
	Lower Bound	.10164	
	Upper Bound	.19736	
	5% Trimmed Mean	.14926	
	Median	.14735	
	Variance	.001	
	Std. Deviation	.030075	
	Minimum	.119	
	Maximum	.184	
	Range	.065	
	Interquartile Range	.057	
	Skewness	.236	1.014
	Kurtosis	-3.533	2.619

PERLAKUA N		Kolmogorov-Smirnov <sup>a</sup>			Shapiro-Wilk		
		Statistic	df	Sig.	Statistic	df	Sig.
Ketebalan	A1	.210	4	.	.945	4	.685
	A2	.274	4	.	.872	4	.307
	A3	.376	4	.	.788	4	.082
	A4	.317	4	.	.903	4	.447
	A5	.153	4	.	.999	4	.996
	A6	.242	4	.	.930	4	.595

#### Test of Homogeneity of Variances

Ketebalan

Levene Statistic	df1	df2	Sig.
.965	5	18	.465

#### ANOVA

Ketebalan

	Sum of Squares	df	Mean Square	F	Sig.
Between Groups	.010	5	.002	3.792	.016
Within Groups	.009	18	.001		
Total	.019	23			

### Multiple Comparisons

Ketebalan  
Tukey HSD

(I) Perlakuan	(J) Perlakuan	Mean Difference (I-J)	Std. Error	Sig.	95% Confidence Interval	
					Lower Bound	Upper Bound
A1	A2	.000800	.016179	1.000	-.05062	.05222
	A3	-.011300	.016179	.980	-.06272	.04012
	A4	-.033875	.016179	.333	-.08529	.01754
	A5	-.034375	.016179	.319	-.08579	.01704
	A6	-.054700*	.016179	.033	-.10612	-.00328
A2	A1	-.000800	.016179	1.000	-.05222	.05062
	A3	-.012100	.016179	.973	-.06352	.03932
	A4	-.034675	.016179	.310	-.08609	.01674
	A5	-.035175	.016179	.296	-.08659	.01624
	A6	-.055500*	.016179	.030	-.10692	-.00408
A3	A1	.011300	.016179	.980	-.04012	.06272
	A2	.012100	.016179	.973	-.03932	.06352
	A4	-.022575	.016179	.729	-.07399	.02884
	A5	-.023075	.016179	.712	-.07449	.02834
	A6	-.043400	.016179	.128	-.09482	.00802
A4	A1	.033875	.016179	.333	-.01754	.08529
	A2	.034675	.016179	.310	-.01674	.08609
	A3	.022575	.016179	.729	-.02884	.07399
	A5	-.000500	.016179	1.000	-.05192	.05092
	A6	-.020825	.016179	.788	-.07224	.03059
A5	A1	.034375	.016179	.319	-.01704	.08579
	A2	.035175	.016179	.296	-.01624	.08659
	A3	.023075	.016179	.712	-.02834	.07449
	A4	.000500	.016179	1.000	-.05092	.05192
	A6	-.020325	.016179	.804	-.07174	.03109
A6	A1	.054700*	.016179	.033	.00328	.10612
	A2	.055500*	.016179	.030	.00408	.10692
	A3	.043400	.016179	.128	-.00802	.09482
	A4	.020825	.016179	.788	-.03059	.07224
	A5	.020325	.016179	.804	-.03109	.07174

### Ketebalan

Tukey HSD

Perlakuan	N	Subset for alpha = 0.05	
		1	2
A2	4	.1007	
A1	4	.0948	
A3	4	.1061	.1061
A4	4	.1287	.1287
A5	4	.1292	.1292
A6	4		.14950
Sig.		.296	.128

### Lampiran 14 . Perhitungan Kuat Tarik Penelitian Utama

#### Hasil Kuat Tarik (kgf/cm<sup>2</sup>)

<b>Sampel</b>	<b>Ulangan Ke-</b>				<b>Rata-Rata</b>
	<b>1</b>	<b>2</b>	<b>3</b>	<b>4</b>	
Tepung ikan 0,5 gram	19.1987	19.4315	17.6486	17.8449	18.5309
Tepung ikan 1 gram	14.1243	13.0070	14.9735	14.5569	14.1654
Tepung ikan 1,5 gram	13.0305	13.9591	13.0920	14.7610	13.7107
Tepung ikan 2 gram	13.7280	13.8857	14.4247	13.1048	13.7858
Tepung ikan 2,5 gram	12.1082	11.7184	11.4983	12.7431	12.0170
Tepung ikan 3 gram	8.7532	9.0246	8.6715	9.6652	9.0286

Nilai analisa kuat tarik minimal *edible film* berdasarkan standard JIS (*Japanese Industrial Standard*) adalah 4 kgf/cm<sup>2</sup>

#### Descriptives

Perlakuan		Statistic	Std. Error
Hasil Analisa A1 Kuat Tarik dalam satuan MPa	Mean	1.85309	.456991
	95% Confidence Interval for Mean	Lower Bound	1.70766
		Upper Bound	1.99853
	5% Trimmed Mean	1.85299	
	Median	1.85218	
	Variance	.835	
	Std. Deviation	.913981	
	Minimum	17.649	
	Maximum	19.432	
	Range	1.783	
A2	Mean	1.41659	.423555
	95% Confidence Interval for Mean	Lower Bound	1.28179
		Upper Bound	1.55138
	5% Trimmed Mean	1.41853	
	Median	1.43406	
	Variance	.718	
	Std. Deviation	.847111	
	Minimum	13.007	
	Maximum	14.975	
	Range	1.968	
A3	Interquartile Range	1.584	
	Skewness	-1.060	1.014
	Kurtosis	1.105	2.619
	Mean	1.37106	.409298
	95% Confidence Interval for Mean	Lower Bound	1.24081



	Std. Deviation	.818595	
	Minimum	13.030	
	Maximum	14.761	
	Range	1.730	
	Interquartile Range	1.515	
	Skewness	.757	1.014
	Kurtosis	-1.761	2.619
A4	Mean	1.37858	.271612
	95% Confidence Interval for Mean	Lower Bound	1.29214
		Upper Bound	1.46502
	5% Trimmed Mean		1.37881
	Median		1.38068
	Variance		.295
	Std. Deviation		.543223
	Minimum		13.105
	Maximum		14.425
	Range		1.320
	Interquartile Range		1.029
	Skewness		-.226
	Kurtosis		1.115
A5	Mean	1.20156	.272762
	95% Confidence Interval for Mean	Lower Bound	1.11476
		Upper Bound	1.28837
	5% Trimmed Mean		1.20040
	Median		1.19106
	Variance		.298
	Std. Deviation		.545523
	Minimum		11.498
	Maximum		12.743
	Range		1.245
	Interquartile Range		1.030
	Skewness		.907
	Kurtosis		.032
A6	Mean	9.02862	.225211
	95% Confidence Interval for Mean	Lower Bound	8.31190
		Upper Bound	9.74535
	5% Trimmed Mean		9.01310
	Median		8.88890
	Variance		.203
	Std. Deviation		.450422
	Minimum		8.672
	Maximum		9.665
	Range		.994
	Interquartile Range		.813
	Skewness		1.397
	Kurtosis		1.582
			2.619

<b>Tests of Normality</b>							
	Perlakuan	Kolmogorov-Smirnov <sup>a</sup>			Shapiro-Wilk		
		Statistic	df	Sig.	Statistic	df	Sig.
Kuat Tarik	A1	.274	4	.	.840	4	.194
	A2	.230	4	.	.943	4	.672
	A3	.275	4	.	.885	4	.359
	A4	.208	4	.	.984	4	.925
	A5	.207	4	.	.947	4	.697
	A6	.254	4	.	.871	4	.301

**Test of Homogeneity of Variances**

Kuat Tarik

Levene Statistic	df1	df2	Sig.
1.313	5	18	.303

**ANOVA**

Kuat Tarik

	Sum of Squares	df	Mean Square	F	Sig.
Between Groups	192.267	5	38.453	76.432	.000
Within Groups	9.056	18	.503		
Total	201.323	23			

### Multiple Comparisons

Kuat Tarik  
Tukey HSD

(I) Perlakuan	(J) Perlakuan	Mean Difference (I-J)	Std. Error	Sig.	95% Confidence Interval	
					Lower Bound	Upper Bound
A1	A2	4.365050*	.501550	.000	2.77111	5.95899
	A3	4.820275*	.501550	.000	3.22633	6.41422
	A4	4.745125*	.501550	.000	3.15118	6.33907
	A5	6.515275*	.501550	.000	4.92133	8.10922
	A6	9.502300*	.501550	.000	7.90836	11.09624
A2	A1	-4.365050*	.501550	.000	-5.95899	-2.77111
	A3	.455225	.501550	.940	-1.13872	2.04917
	A4	.380075	.501550	.971	-1.21387	1.97402
	A5	2.150225*	.501550	.005	.55628	3.74417
	A6	5.137250*	.501550	.000	3.54331	6.73119
A3	A1	-4.820275*	.501550	.000	-6.41422	-3.22633
	A2	-.455225	.501550	.940	-2.04917	1.13872
	A4	-.075150	.501550	1.000	-1.66909	1.51879
	A5	1.695000*	.501550	.033	.10106	3.28894
	A6	4.682025*	.501550	.000	3.08808	6.27597
A4	A1	-4.745125*	.501550	.000	-6.33907	-3.15118
	A2	-.380075	.501550	.971	-1.97402	1.21387
	A3	.075150	.501550	1.000	-1.51879	1.66909
	A5	1.770150*	.501550	.025	.17621	3.36409
	A6	4.757175*	.501550	.000	3.16323	6.35112
A5	A1	-6.515275*	.501550	.000	-8.10922	-4.92133
	A2	-2.150225*	.501550	.005	-3.74417	-.55628
	A3	-1.695000*	.501550	.033	-3.28894	-.10106
	A4	-1.770150*	.501550	.025	-3.36409	-.17621
	A6	2.987025*	.501550	.000	1.39308	4.58097
A6	A1	-9.502300*	.501550	.000	-11.09624	-7.90836
	A2	-5.137250*	.501550	.000	-6.73119	-3.54331
	A3	-4.682025*	.501550	.000	-6.27597	-3.08808
	A4	-4.757175*	.501550	.000	-6.35112	-3.16323
	A5	-2.987025*	.501550	.000	-4.58097	-1.39308

### Kuat Tarik

Tukey HSD

Perlakuan	N	Subset for alpha = 0.05			
		1	2	3	4
A6	4	9.02862			
A5	4		12.0170		
A3	4			13.7107	
A4	4			13.7858	
A2	4			14.1659	
A1	4				18.5309
Sig.		1.000	1.000	.940	1.000

## Lampiran 15 . Perhitungan Elongasi Penelitian Utama

### Hasil Elongasi (%)

Sampel	Ulangan Ke-				Rata-Rata
	1	2	3	4	
Tepung ikan 0,5 gram	8.9545	8.3889	9.6071	8.8214	8.9430
Tepung ikan 1 gram	4.9045	5.8673	5.1390	5.4496	5.3401
Tepung ikan 1,5 gram	5.5556	4.9550	5.1111	5.7522	5.3435
Tepung ikan 2 gram	5.2778	4.6947	4.6786	5.3097	4.9902
Tepung ikan 2,5 gram	4.3812	4.3333	3.6906	4.6036	4.2522
Tepung ikan 3 gram	4.6667	4.8493	4.3453	4.5714	4.6082

Nilai analisa elongasi minimal *edible film* berdasarkan standard JIS (*Japanese Industrial Standard*) adalah 70 %

### Descriptives

Perlakuan				Statistic	Std. Error
Hasil Analisa Elongasi dalam satuan (%)	A1	Mean		8.94298	.252153
		95% Confidence Interval for Mean	Lower Bound	8.14051	
			Upper Bound	9.74544	
		5% Trimmed Mean		8.93686	
		Median		8.88795	
		Variance		.254	
		Std. Deviation		.504306	
		Minimum		8.389	
		Maximum		9.607	
		Range		1.218	
A2		Interquartile Range		.947	
		Skewness		.629	1.014
		Kurtosis		1.394	2.619
	A2	Mean		5.34010	.208190
		95% Confidence Interval for Mean	Lower Bound	4.67755	
			Upper Bound	6.00265	
		5% Trimmed Mean		5.33501	
		Median		5.29430	
		Variance		.173	
		Std. Deviation		.416381	
A3		Minimum		4.904	
		Maximum		5.867	
		Range		.963	
		Interquartile Range		.800	
		Skewness		.527	1.014
		Kurtosis		-.743	2.619
	A3	Mean		5.34348	.186405
		95% Confidence Interval for Mean	Lower Bound	4.75025	
			Upper Bound	5.93670	
		5% Trimmed Mean		5.34235	

	Std. Deviation	.372811	
	Minimum	4.955	
	Maximum	5.752	
	Range	.797	
	Interquartile Range	.709	
	Skewness	.086	1.014
	Kurtosis	-3.902	2.619
A4	Mean	4.99020	.175406
	95% Confidence Interval for Mean		
	Lower Bound	4.43198	
	Upper Bound	5.54842	
	5% Trimmed Mean	4.98976	
	Median	4.98625	
	Variance	.123	
	Std. Deviation	.350813	
	Minimum	4.679	
	Maximum	5.310	
	Range	.631	
	Interquartile Range	.619	
	Skewness	.005	1.014
	Kurtosis	-5.948	2.619
A5	Mean	4.25218	.196234
	95% Confidence Interval for Mean		
	Lower Bound	3.62767	
	Upper Bound	4.87668	
	5% Trimmed Mean	4.26385	
	Median	4.35725	
	Variance	.154	
	Std. Deviation	.392469	
	Minimum	3.691	
	Maximum	4.604	
	Range	.913	
	Interquartile Range	.697	
	Skewness	-1.445	1.014
	Kurtosis	2.661	2.619
A6	Mean	4.60818	.104890
	95% Confidence Interval for Mean		
	Lower Bound	4.27437	
	Upper Bound	4.94198	
	5% Trimmed Mean	4.60938	
	Median	4.61905	
	Variance	.044	
	Std. Deviation	.209779	
	Minimum	4.345	
	Maximum	4.849	
	Range	.504	
	Interquartile Range	.402	
	Skewness	-.289	1.014
	Kurtosis	.561	2.619

**Tests of Normality**

Perlakuan	Kolmogorov-Smirnov <sup>a</sup>			Shapiro-Wilk			
	Statistic	df	Sig.	Statistic	df	Sig.	
Elongasi	A1	.241	4	.	.968	4	.829
	A2	.185	4	.	.978	4	.893
	A3	.233	4	.	.927	4	.579
	A4	.300	4	.	.763	4	.051
	A5	.332	4	.	.874	4	.313
	A6	.180	4	.	.994	4	.976

**Test of Homogeneity of Variances**

Elongasi

Levene Statistic	df1	df2	Sig.
.519	5	18	.758

**ANOVA**

Elongasi					
	Sum of Squares	df	Mean Square	F	Sig.
Between Groups	57.914	5	11.583	78.280	.000
Within Groups	2.663	18	.148		
Total	60.577	23			

**Multiple Comparisons**Elongasi  
Tukey HSD

(I) Perlakuan	(J) Perlakuan	Mean Difference (I-J)	Std. Error	Sig.	95% Confidence Interval	
					Lower Bound	Upper Bound
A1	A2	3.6028750	.2719979	.000	2.738456	4.467294
	A3	3.5995000	.2719979	.000	2.735081	4.463919
	A4	3.9527750	.2719979	.000	3.088356	4.817194
	A5	4.6908000	.2719979	.000	3.826381	5.555219
	A6	4.3348000	.2719979	.000	3.470381	5.199219
	A2	-3.6028750	.2719979	.000	-4.467294	-2.738456
A2	A3	-.0033750	.2719979	1.000	-.867794	.861044
	A4	.3499000	.2719979	.788	-.514519	1.214319
	A5	1.0879250	.2719979	.009	.223506	1.952344
	A6	.7319250	.2719979	.126	-.132494	1.596344
	A3	-3.5995000	.2719979	.000	-4.463919	-2.735081
A3	A2	.0033750	.2719979	1.000	-.861044	.867794
	A4	.3532750	.2719979	.782	-.511144	1.217694
	A5	1.0913000	.2719979	.009	.226881	1.955719
	A6	.7353000	.2719979	.123	-.129119	1.599719
	A4	-3.9527750	.2719979	.000	-4.817194	-3.088356
A4	A1	-.3499000	.2719979	.788	-1.214319	.514519

A3		-.3532750	.2719979	.782	-1.217694	.511144
A5		.7380250	.2719979	.121	-.126394	1.602444
A6		.3820250	.2719979	.724	-.482394	1.246444
A5	A1	-4.6908000	.2719979	.000	-5.555219	-3.826381
	A2	-1.0879250	.2719979	.009	-1.952344	-.223506
	A3	-1.0913000	.2719979	.009	-1.955719	-.226881
	A4	-.7380250	.2719979	.121	-1.602444	.126394
	A6	-.3560000	.2719979	.777	-1.220419	.508419
	A6	-4.3348000	.2719979	.000	-5.199219	-3.470381
A6	A2	-.7319250	.2719979	.126	-1.596344	.132494
	A3	-.7353000	.2719979	.123	-1.599719	.129119
	A4	-.3820250	.2719979	.724	-1.246444	.482394
	A5	.3560000	.2719979	.777	-.508419	1.220419

**Elongasi**

Tukey HSD

Perlakuan	N	Subset for alpha = 0.05		
		1	2	3
A5	4	4.252175		
A6	4	4.608175	4.608175	
A4	4	4.990200	4.990200	
A2	4		5.340100	
A3	4		5.343475	
A1	4			8.942975
Sig.		.121	.123	1.000

**Lampiran 16. Perhitungan Tranmisi Uap Air Penelitian Utama****Hasil Transmisi Uap Air Air (g/m<sup>2</sup>.hari)**

Sampel	Ulangan Ke-				Rata-rata
	1	2	3	4	
Tepung ikan 0,5 gram	6.1983	6.1983	5.3719	5.5096	5.8196
Tepung ikan 1 gram	6.3512	5.6832	5.8719	5.2342	5.7851
Tepung ikan 1,5 gram	6.5758	5.6474	5.2342	6.0964	5.8884
Tepung ikan 2 gram	5.6116	4.9587	5.3719	5.8209	5.4408
Tepung ikan 2,5 gram	4.9587	4.9587	5.2342	5.0964	5.0620
Tepung ikan 3 gram	4.6832	3.9945	3.9945	4.9587	4.4077

Nilai analisa transmisi uap air maksimal *edible film* berdasarkan standard JIS (*Japanese Industrial Standard*) adalah 7 g/m<sup>2</sup>.hari

**Descriptives**

Perlakuan			Statistic	Std. Error
Transmisi Uap Air	A1	Mean	5.819525	.2204848
		95% Confidence Interval for Mean	Lower Bound	5.117844
			Upper Bound	6.521206
		5% Trimmed Mean		5.823350
		Median		5.853950
		Variance		.194
		Std. Deviation		.4409696

	Minimum		5.3719	
	Maximum		6.1983	
	Range		.8264	
	Interquartile Range		.7920	
	Skewness		-.084	1.014
	Kurtosis		-5.518	2.619
A2	Mean		5.785125	.2312787
	95% Confidence Interval for Mean	Lower Bound	5.049093	
		Upper Bound	6.521157	
	5% Trimmed Mean		5.784283	
	Median		5.777550	
	Variance		.214	
	Std. Deviation		.4625573	
	Minimum		5.2342	
	Maximum		6.3512	
	Range		1.1170	
	Interquartile Range		.8849	
	Skewness		.093	1.014
	Kurtosis		.697	2.619
A3	Mean		5.888450	.2889408
	95% Confidence Interval for Mean	Lower Bound	4.968911	
		Upper Bound	6.807989	
	5% Trimmed Mean		5.886611	
	Median		5.871900	
	Variance		.334	
	Std. Deviation		.5778816	
	Minimum		5.2342	
	Maximum		6.5758	
	Range		1.3416	
	Interquartile Range		1.1184	
	Skewness		.137	1.014
	Kurtosis		-1.195	2.619
A4	Mean		5.440775	.1850262
	95% Confidence Interval for Mean	Lower Bound	4.851939	
		Upper Bound	6.029611	
	5% Trimmed Mean		5.446439	
	Median		5.491750	
	Variance		.137	
	Std. Deviation		.3700524	
	Minimum		4.9587	
	Maximum		5.8209	
	Range		.8622	
	Interquartile Range		.7066	
	Skewness		-.690	1.014
	Kurtosis		-.033	2.619
A5	Mean		5.062000	.0659406
	95% Confidence Interval for Mean	Lower Bound	4.852148	

		Upper Bound	5.271852
	5% Trimmed Mean		5.058172
	Median		5.027550
	Variance		.017
	Std. Deviation		.1318812
	Minimum		4.9587
	Maximum		5.2342
	Range		.2755
	Interquartile Range		.2410
	Skewness		.855 1.014
	Kurtosis		-1.286 2.619
A6	Mean		4.407725 .2451139
	95% Confidence Interval for Mean	Lower Bound	3.627663
		Upper Bound	5.187787
	5% Trimmed Mean		4.400072
	Median		4.33885
	Variance		.240
	Std. Deviation		.4902277
	Minimum		3.9945
	Maximum		4.9587
	Range		.9642
	Interquartile Range		.8953
	Skewness		.266 1.014
	Kurtosis		-4.483 2.619

<b>Tests of Normality</b>							
	Perlakuan	Kolmogorov-Smirnov <sup>a</sup>			Shapiro-Wilk		
		Statistic	df	Sig.	Statistic	df	Sig.
Transmisi Uap Air	A1	.305	4	.	.799	4	.100
	A2	.176	4	.	.995	4	.980
	A3	.162	4	.	.992	4	.966
	A4	.178	4	.	.974	4	.864
	A5	.283	4	.	.863	4	.272
	A6	.300	4	.	.838	4	.189

**Test of Homogeneity of Variances**

Transmisi Uap Air

Levene Statistic	df1	df2	Sig.
1.919	5	18	.141

**ANOVA**

Transmisi Uap Air

	Sum of Squares	df	Mean Square	F	Sig.
Between Groups	6.654	5	1.331	7.022	.001
Within Groups	3.411	18	.190		
Total	10.065	23			

**Post Hoc Tests**

### Multiple Comparisons

Transmisi Uap Air  
Tukey HSD

(I) Perlakuan	(J) Perlakuan	Mean Difference (I-J)	Std. Error	Sig.	95% Confidence Interval	
					Lower Bound	Upper Bound
A1	A2	.034400	.307817	1.000	-.94385	1.01265
	A3	-.068925	.307817	1.000	-1.04718	.90933
	A4	.378750	.307817	.817	-.59950	1.35700
	A5	.757525	.307817	.188	-.22073	1.73578
	A6	1.411800*	.307817	.003	.43355	2.39005
A2	A1	-.034400	.307817	1.000	-1.01265	.94385
	A3	-.103325	.307817	.999	-1.08158	.87493
	A4	.344350	.307817	.867	-.63390	1.32260
	A5	.723125	.307817	.226	-.25513	1.70138
	A6	1.377400*	.307817	.003	.39915	2.35565
A3	A1	.068925	.307817	1.000	-.90933	1.04718
	A2	.103325	.307817	.999	-.87493	1.08158
	A4	.447675	.307817	.695	-.53058	1.42593
	A5	.826450	.307817	.127	-.15180	1.80470
	A6	1.480725*	.307817	.002	.50247	2.45898
A4	A1	-.378750	.307817	.817	-1.35700	.59950
	A2	-.344350	.307817	.867	-1.32260	.63390
	A3	-.447675	.307817	.695	-1.42593	.53058
	A5	.378775	.307817	.817	-.59948	1.35703
	A6	1.033050*	.307817	.035	.05480	2.01130
A5	A1	-.757525	.307817	.188	-1.73578	.22073
	A2	-.723125	.307817	.226	-1.70138	.25513
	A3	-.826450	.307817	.127	-1.80470	.15180
	A4	-.378775	.307817	.817	-1.35703	.59948
	A6	.654275	.307817	.318	-.32398	1.63253
A6	A1	-1.411800*	.307817	.003	-2.39005	-.43355
	A2	-1.377400*	.307817	.003	-2.35565	-.39915
	A3	-1.480725*	.307817	.002	-2.45898	-.50247
	A4	-1.033050*	.307817	.035	-2.01130	-.05480
	A5	-.654275	.307817	.318	-1.63253	.32398

### Transmisi Uap Air

Tukey HSD

Perlakuan	N	Subset for alpha = 0.05	
		1	2
A6	4	4.40772	
A5	4	5.06200	5.06200
A4	4		5.44078
A2	4		5.78513
A1	4		5.81952
A3	4		5.88845
Sig.		.318	.127

### Lampiran 17. Perhitungan Kadar Air Penelitian Utama

**Hasil Kadar Air (%)**

<b>Sampel</b>	<b>Ulangan Ke-</b>				<b>Rata-Rata</b>
	<b>1</b>	<b>2</b>	<b>3</b>	<b>4</b>	
Tepung ikan 0,5 gram	22.6951	23.8511	21.4229	22.1719	22.5353
Tepung ikan 1 gram	19.4746	20.7281	19.7815	21.6403	20.4061
Tepung ikan 1,5 gram	19.2735	18.7463	17.9649	17.0292	18.2535
Tepung ikan 2 gram	17.6334	17.3280	18.0102	19.4134	18.0963
Tepung ikan 2,5 gram	17.8691	16.0860	17.1551	18.2929	17.3508
Tepung ikan 3 gram	16.2480	14.8915	14.9522	18.0868	16.0446

Nilai analisa Kadar air *edible film* berdasarkan pendapat dari Syarifuddin dan Yunianta (2015) adalah semakin tinggi nilai kadar air maka semakin rendah kualitas produk

**Descriptives**

<b>Perlakuan</b>			<b>Statistic</b>	<b>Std. Error</b>
Hasil Analisa Kadar Air dalam satuan (%)	A1	Mean	2.25367	.509285
		95% Confidence Interval for Mean	Lower Bound	2.09160
			Upper Bound	2.41575
		5% Trimmed Mean		2.25253
		Median		2.24335
		Variance		1.037
		Std. Deviation		1.018569
		Minimum		21.429
		Maximum		23.851
		Range		2.422
A2		Interquartile Range		1.947
		Skewness		.546
		Kurtosis		1.014
		Mean	2.04062	2.619
		95% Confidence Interval for Mean	Lower Bound	.490117
			Upper Bound	1.88465
		5% Trimmed Mean		2.19660
		Median		2.02550
		Variance		.961
		Std. Deviation		.980234
A3		Minimum		19.475
		Maximum		21.640
		Range		2.165
		Interquartile Range		1.860
		Skewness		.609
		Kurtosis		1.014
		Mean	1.82535	2.619
		95% Confidence Interval for Mean	Lower Bound	.488758
			Upper Bound	1.66981

			Upper Bound	1.98089	
	5% Trimmed Mean			1.82648	
	Median			1.83555	
	Variance			.956	
	Std. Deviation			.977515	
	Minimum			17.029	
	Maximum			19.274	
	Range			2.245	
	Interquartile Range			1.879	
	Skewness			-.484	1.014
	Kurtosis			-1.093	2.619
A4	Mean			1.80962	.460681
	95% Confidence Interval for Mean	Lower Bound		1.66302	
		Upper Bound		1.95623	
	5% Trimmed Mean			1.80658	
	Median			1.78218	
	Variance			.849	
	Std. Deviation			.921363	
	Minimum			17.328	
	Maximum			19.413	
	Range			2.085	
	Interquartile Range			1.658	
	Skewness			1.476	1.014
	Kurtosis			2.246	2.619
A5	Mean			1.73508	.482546
	95% Confidence Interval for Mean	Lower Bound		1.58151	
		Upper Bound		1.88865	
	5% Trimmed Mean			1.73687	
	Median			1.75121	
	Variance			.931	
	Std. Deviation			.965092	
	Minimum			16.086	
	Maximum			18.293	
	Range			2.207	
	Interquartile Range			1.834	
	Skewness			-.783	1.014
	Kurtosis			-.357	2.619
A6	Mean			1.60446	.749162
	95% Confidence Interval for Mean	Lower Bound		1.36605	
		Upper Bound		1.84288	
	5% Trimmed Mean			1.59952	
	Median			1.56001	

Variance	2.245	
Std. Deviation	1.498325E0	
Minimum	14.892	
Maximum	18.087	
Range	3.195	
Interquartile Range	2.720	
Skewness	1.127	1.014
Kurtosis	.116	2.619

**Tests of Normality**

Perlakuan	Kolmogorov-Smirnov <sup>a</sup>			Shapiro-Wilk		
	Statistic	df	Sig.	Statistic	df	Sig.
Kadar Air	A1	.188	4	.986	4	.935
	A2	.238	4	.939	4	.649
	A3	.193	4	.976	4	.879
	A4	.287	4	.879	4	.333
	A5	.204	4	.957	4	.762
	A6	.267	4	.863	4	.273

**Test of Homogeneity of Variances**

Kadar Air

Levene Statistic	df1	df2	Sig.
.379	5	18	.857

**ANOVA**

Kadar Air	Sum of Squares		df	Mean Square	F	Sig.
	Between Groups	Within Groups				
Between Groups	108.110	20.937	5	21.622	18.588	.000
Within Groups			18		1.163	
Total	129.048		23			

**Multiple Comparisons**Kadar Air  
Tukey HSD

(I) Perlakuan	(J) Perlakuan	Mean Difference (I-J)	Std. Error	Sig.	95% Confidence Interval	
					Lower Bound	Upper Bound
A1	A2	2.130500	.762625	.104	-.29315	4.55415
	A3	4.283250	.762625	.000	1.85960	6.70690
	A4	4.440500	.762625	.000	2.01685	6.86415
	A5	5.185975	.762625	.000	2.76233	7.60962
	A6	6.492125	.762625	.000	4.06848	8.91577
	A2	-2.130500	.762625	.104	-4.55415	.29315
A2	A3	2.152750	.762625	.099	-.27090	4.57640
	A4	2.310000	.762625	.067	-.11365	4.73365
	A5	3.055475	.762625	.009	.63183	5.47912
	A6	4.361625	.762625	.000	1.93798	6.78527
	A3	-4.283250	.762625	.000	-6.70690	-1.85960
A3	A2	-2.152750	.762625	.099	-4.57640	.27090
	A4	.157250	.762625	1.000	-2.26640	2.58090

	A5	.902725	.762625	.839	-1.52092	3.32637
	A6	2.208875	.762625	.086	-.21477	4.63252
A4	A1	-4.440500	.762625	.000	-6.86415	-2.01685
	A2	-2.310000	.762625	.067	-4.73365	.11365
	A3	-.157250	.762625	1.000	-2.58090	2.26640
	A5	.745475	.762625	.919	-1.67817	3.16912
	A6	2.051625	.762625	.126	-.37202	4.47527
	A5	-5.185975	.762625	.000	-7.60962	-2.76233
A5	A2	-3.055475	.762625	.009	-5.47912	-.63183
	A3	-.902725	.762625	.839	-3.32637	1.52092
	A4	-.745475	.762625	.919	-3.16912	1.67817
	A6	1.306150	.762625	.541	-1.11750	3.72980
	A6	-6.492125	.762625	.000	-8.91577	-4.06848
A6	A2	-4.361625	.762625	.000	-6.78527	-1.93798
	A3	-2.208875	.762625	.086	-4.63252	.21477
	A4	-2.051625	.762625	.126	-4.47527	.37202
	A5	-1.306150	.762625	.541	-3.72980	1.11750

#### Kadar Air

Tukey HSD

Perlakuan	N	Subset for alpha = 0.05		
		1	2	3
A6	4	16.0446		
A5	4	17.3508		
A4	4	18.0962	18.0962	
A3	4	18.2535	18.2535	
A2	4		20.4061	20.4061
A1	4			22.5353
Sig.		.086	.067	.104

### Lampiran 18. Perhitungan Kelarutan Penelitian Utama

#### Hasil Kelarutan (%)

<b>Sampel</b>	<b>Ulangan Ke-</b>				<b>Rata-Rata</b>
	<b>1</b>	<b>2</b>	<b>3</b>	<b>4</b>	
Tepung ikan 0,5 gram	61.3718	69.4510	67.8739	59.1811	64.4695
Tepung ikan 1 gram	68.1322	64.3190	69.5487	70.7382	68.1845
Tepung ikan 1,5 gram	55.3433	60.2665	59.1112	59.2125	58.4834
Tepung ikan 2 gram	57.7825	58.4239	55.3671	61.6552	58.3072
Tepung ikan 2,5 gram	56.5580	66.1743	65.3177	57.8047	61.4636
Tepung ikan 3 gram	54.9349	62.4157	51.9655	52.7592	55.5188

Nilai analisa Kelarutan *edible film* berdasarkan pendapat dari Syarifuddin dan Yunianta (2015) adalah semakin tinggi nilai kelarutan maka semakin mudah produk untuk dikonsumsi.

#### Descriptives

Perlakuan			Statistic	Std. Error
Hasil Analisa Kelarutan dalam satuan persen (%)	A1	Mean	6.446945	2.4827438
		95% Confidence Interval for Mean	Lower Bound	5.656825
			Upper Bound	7.237065
		5% Trimmed Mean	6.448649	
		Median	6.462285	
		Variance	24.656	
		Std. Deviation	4.9654876	
		Minimum	59.1811	
		Maximum	69.4510	
		Range	10.2699	
A2		Interquartile Range	9.3280	
		Skewness	-.079	1.014
		Kurtosis	-4.593	2.619
	A2	Mean	6.818453	1.3942516
		95% Confidence Interval for Mean	Lower Bound	6.374739
			Upper Bound	7.262166
		5% Trimmed Mean	6.825741	
		Median	6.884045	
		Variance	7.776	
		Std. Deviation	2.7885032	
		Minimum	64.3190	
		Maximum	70.7382	
		Range	6.4192	
		Interquartile Range	5.1685	

	Skewness		-1.186	1.014
	Kurtosis		1.345	2.619
A3	Mean		5.848337	1.0787876
	95% Confidence Interval for Mean	Lower Bound	5.505019	
		Upper Bound	6.191656	
	5% Trimmed Mean		5.855876	
	Median		5.916185	
	Variance		4.655	
	Std. Deviation		2.1575753	
	Minimum		55.3433	
	Maximum		60.2665	
	Range		4.9232	
	Interquartile Range		3.7177	
	Skewness		-1.637	1.014
	Kurtosis		3.077	2.619
A4	Mean		5.830718E1	1.2955765
	95% Confidence Interval for Mean	Lower Bound	5.418407	
		Upper Bound	6.243028	
	5% Trimmed Mean		5.828451	
	Median		5.81032	
	Variance		6.714	
	Std. Deviation		2.591153	
	Minimum		55.3671	
	Maximum		61.6552	
	Range		6.2881	
	Interquartile Range		4.8764	
	Skewness		.459	1.014
A5	Kurtosis		1.322	2.619
	Mean		6.146368	2.4916066
	95% Confidence Interval for Mean	Lower Bound	5.353427	
		Upper Bound	6.939308	
	5% Trimmed Mean		6.147451	
	Median		6.156120	
	Variance		24.832	
	Std. Deviation		4.9832132	
	Minimum		56.5580	
	Maximum		66.1743	

	Range	9.6163	
	Interquartile Range	9.0905	
	Skewness	-.028	1.014
	Kurtosis	-5.546	2.619
A6	Mean	5.551882	2.3830915
	95% Confidence Interval for Mean		
	Lower Bound	4.793476	
	Upper Bound	6.310289	
	5% Trimmed Mean	5.533307	
	Median	5.384705	
	Variance	22.717	
	Std. Deviation	4.766183	
	Minimum	51.9655	
	Maximum	62.4157	
	Range	10.4502	
	Interquartile Range	8.3816	
	Skewness	1.613	1.014
	Kurtosis	2.520	2.619

Perlakuan	Kolmogorov-Smirnov <sup>a</sup>			Shapiro-Wilk		
	Statistic	df	Sig.	Statistic	df	Sig.
Kelarutan	.254	4	.	.896	4	.410
	.243	4	.	.926	4	.570
	.364	4	.	.828	4	.163
	.232	4	.	.974	4	.863
	.280	4	.	.829	4	.165
	.299	4	.	.835	4	.181

#### Test of Homogeneity of Variances

Kelarutan

Levene Statistic	df1	df2	Sig.
2.493	5	18	.070

#### ANOVA

Kelarutan

	Sum of Squares	Df	Mean Square	F	Sig.
Between Groups	429.868	5	85.974	5.647	.003
Within Groups	274.050	18	15.225		
Total	703.918	23			

### Multiple Comparisons

Kelarutan  
Tukey HSD

(I) Perlakuan	(J) Perlakuan	Mean Difference (I-J)	Std. Error	Sig.	95% Confidence Interval	
					Lower Bound	Upper Bound
A1	A2	-3.7150750	2.759075	.756	-12.483512	5.053362
	A3	5.9860750	2.759075	.298	-2.782362	14.754512
	A4	6.1622750	2.759075	.271	-2.606162	14.930712
	A5	3.0057750	2.759075	.879	-5.762662	11.774212
	A6	8.9506250*	2.759075	.044	.182188	17.719062
A2	A1	3.7150750	2.759075	.756	-5.053362	12.483512
	A3	9.7011500*	2.759075	.025	.932713	18.469587
	A4	9.8773500*	2.759075	.022	1.108913	18.645787
	A5	6.7208500	2.759075	.196	-2.047587	15.489287
	A6	12.6657000*	2.759075	.003	3.897263	21.434137
A3	A1	-5.9860750	2.759075	.298	-14.754512	2.782362
	A2	-9.7011500*	2.759075	.025	-18.469587	-.932713
	A4	.1762000	2.759075	1.000	-8.592237	8.944637
	A5	-2.9803000	2.7590750	.883	-11.748737	5.788137
	A6	2.9645500	2.759075	.885	-5.803887	11.732987
A4	A1	-6.1622750	2.759075	.271	-14.930712	2.606162
	A2	-9.8773500*	2.759075	.022	-18.645787	-1.108913
	A3	-.1762000	2.759075	1.000	-8.944637	8.592237
	A5	-3.1565000	2.759075	.857	-11.924937	5.611937
	A6	2.7883500	2.759075	.908	-5.980087	11.556787
A5	A1	-3.0057750	2.759075	.879	-11.774212	5.762662
	A2	-6.7208500	2.759075	.196	-15.489287	2.047587
	A3	2.9803000	2.759075	.883	-5.788137	11.748737
	A4	3.1565000	2.759075	.857	-5.611937	11.924937
	A6	5.9448500	2.759075	.305	-2.823587	14.713287
A6	A1	-8.9506250*	2.759075	.044	-17.719062	-.182188
	A2	-12.6657000*	2.759075	.003	-21.434137	-3.897263
	A3	-2.9645500	2.759075	.885	-11.732987	5.803887
	A4	-2.7883500	2.759075	.908	-11.556787	5.980087
	A5	-5.9448500	2.759075	.305	-14.713287	2.823587

**Kelarutan**

Tukey HSD

Perlakuan	N	Subset for alpha = 0.05		
		1	2	3
A6	4	55.5188		
A4	4	58.3072	58.3072	
A3	4	58.4834	58.4834	
A5	4	61.4636	61.4636	61.4636
A1	4		64.4695	64.4695
A2	4			68.1845
Sig.		.305	.271	.196